

**PERANCANGAN DAN PEMBUATAN PENGIRIM GAMBAR
DARI HELICOPTER MODEL YANG DIKONTROL OLEH
PERSONAL COMPUTER (PC)**

SKRIPSI



Disusun oleh :

ANGGA WIDYA OKTAVIAN

02. 17. 140

**MILIK
PERPUSTAKAAN
ITN MALANG**

**JURUSAN TEKNIK ELEKTRO S-1
KONSENTRASI TEKNIK ELEKTRONIKA
FAKULTAS TEKNOLOGI INDUSTRI
INSTITUT TEKNOLOGI NASIONAL
MALANG
2008**

MAHMOUD MURRAY PATAKIDIT HAD MAHMOUD
HAD MAHMOUD PATAKIDIT HAD MAHMOUD
(04) MAHMOUD MAHMOUD

MAHMOUD

MAHMOUD MAHMOUD
MAHMOUD MAHMOUD
MAHMOUD MAHMOUD

MAHMOUD MAHMOUD
MAHMOUD MAHMOUD
MAHMOUD MAHMOUD

MAHMOUD MAHMOUD
MAHMOUD MAHMOUD
MAHMOUD MAHMOUD
MAHMOUD MAHMOUD
MAHMOUD MAHMOUD

LEMBAR PERSETUJUAN

PERANCANGAN DAN PEMBUATAN PENGIRIM GAMBAR DARI HELICOPTER MODEL YANG DIKONTROL OLEH PERSONAL COMPUTER (PC)

SKRIPSI

*Diajukan Untuk Memenuhi salah satu Syarat Memperoleh Gelar Sarjana Teknik Pada
Jurusan Teknik Elektro S-1 Konsentrasi Teknik Elektronika*

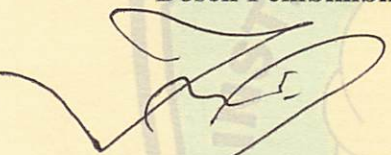
Oleh :

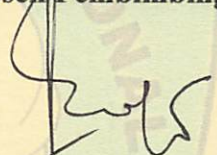
Angga Widya Oktavian
02 17 140

Diperiksa dan Disetujui,

Dosen Pembimbing I

Dosen Pembimbing II


I Komang Somawirata, ST, MT
NIP.P. 1030100361


Ir. Eko Nurcahyo
NIP.Y. 1028700172



Mengetahui,
Ketua Jurusan Teknik Elektro S-1


Ir. F. Yudi Limpraptono, MT
NIP. Y. 1039500274

**JURUSAN TEKNIK ELEKTRO S-1
KONSENTRASI TEKNIK ELEKTRONIKA
FAKULTAS TEKNOLOGI INDUSTRI
INSTITUT TEKNOLOGI NASIONAL
MALANG
2008**



**INSTITUT TEKNOLOGI NASIONAL MALANG
FAKULTAS TEKNOLOGI INDUSTRI
JURUSAN TEKNIK ELEKTRO S-1
KONSENTRASI TEKNIK ELEKTRONIKA**

**BERITA ACARA UJIAN SKRIPSI
FAKULTAS TEKNOLOGI INDUSTRI**

Nama Mahasiswa : Angga Widya Oktavian

NIM : 02.17.140

Jurusan : Teknik Elektro S-1

Konsentrasi : Teknik Elektronika

Judul Skripsi :
” PERANCANGAN DAN PEMBUATAN PENGIRIM
GAMBAR DARI HELICOPTER MODEL YANG
DIKONTROL OLEH PERSONAL COMPUTER (PC) ”

Dipertahankan dihadapan Tim Penguji Skripsi Jenjang Strata Satu (S-1) pada:

Hari : Selasa

Tanggal : 23 September 2008

Dengan Nilai : 80,8 (A) *By*



(Ir. Mochtar Asroni, MSME.)
NIP. Y. 1018100036

Panitia Ujian Skripsi

Sekretaris

(Ir. F. Yudi Limpraptono, MT.)
NIP. Y. 1039500274

Penguji Pertama

(Sotyojadi, ST, MSc.)
NIP. Y. 1039700309

Anggota Penguji

Penguji Kedua

(Ir. Mimien Mustikawati, MT.)
NIP. P. 1030000352

ABSTRACT

PERANCANGAN DAN PEMBUATAN PENGIRIM GAMBAR DARI HELICOPTER MODEL YANG DIKONTROL OLEH PERSONAL COMPUTER (PC)

Angga Widya Oktavian, 02 17 140, Electrical Engineering S.1/Electronica

Adviser I : I Komang Somawirata, ST. MT

Adviser II : Ir. Eko Nurcahyo

- **Keywords:** Remote Control (R/C) Helicopter Model, Mikrokontroller AT89s8252, TLP 434A, RLP 434A, Motor DC, Wireless CCTV, TV TUNER

Mengontrol sebuah helicopter dari jarak jauh bukanlah hal yang mustahil kita lakukan saat ini. Di saat teknologi elektronika berkembang pesat, mengontrol sebuah helicopter dari jarak jauh akan dapat terwujud. Secara umum system R/C terdiri dari sebuah *transmitter* atau lebih, *receiver* dan beberapa buah motor dc sebagai actuator. Baterai sebagai sumber daya diperlukan oleh bagian pemancar maupun bagian penerima *Transmitter* bertugas menerima perintah kendali dari orang yang mengendalikan dan merubahnya menjadi kode-kode elektronik dan mengirimkannya melalui gelombang radio ke udara. Bagian *receiver* bertugas menerima informasi gelombang radio, menerjemahkan kode-kode elektriknya menjadi perintah gerak yang dikirimkan ke motor dc, selanjutnya motor dc bertugas sebagai aktuator ke posisi tertentu yang diinginkan. Disini penulis mempunyai ide untuk merancang suatu alat yang dapat mengontrol remote control sebagai alat pemantau dari udara melalui media *wireless* (remote control) yang mungkin dapat digunakan untuk mengintai suatu hal yang mengancam hidup seseorang misalnya untuk mengamati suatu kejadian dimana manusia tidak memungkinkan atau berbahaya untuk mendekatinya, atau juga dapat digunakan sebagai alat intelejen. Helicopter remote control ini dirancang untuk mengurangi suatu resiko yang besar. Peralatan yang digunakan satu set PC (personal computer) kemudian data dipancarkan oleh TLP434A dan selanjutnya data diterima oleh RLP434A kemudian diteruskan ke mikrokontroller AT89S8252 sebagai inputan yang akan mengaktifkan motor dc (servo).

Abstract

Controlling a helicopter of long distance is not impossible matter of us do conduct in this time. In technological moment of electronics rapidly grow, controlling a helicopter of long distance will be able to form. In general R/C system consist of a transmitter or more, receiver and some motor fruit of dc as actuator. Battery as resource needed by part of shares and also transmitter receiver of transmitter undertake to accept command conduct from one who control and change it become electronic codes and delivering it pass through radio wave into the air. Part of receiver undertake to accept radio wave information, translating electrical code of him become command of delivered motion to motor of dc, hereinafter motor of dc undertake as actuator to certain position which wanted. Here writer have an idea to design an appliance able to control remote as a means of watcher from the air pass through media of wireless what possible can be used to peep an matter menacing someone life for example to perceive an occurrence where human being do not enable or dangerous to coming near it, or also can be used as by appliance of intelligent. this Remote control Helicopter is designed by lessen an big risk. used equipments a set of PC (personal of computer) later, then data transmitted by TLP434A and hereinafter

data accepted by RLP434A is later; then distribute to AT89S8252 microcontroller as inputting to activate motor of dc (servo).

KATA PENGANTAR

Alhamdulillah, puji syukur kehadiran-Mu Ya Allah yang telah memberikan rahmat dan hidayah-Nya, sehingga dapat menyelesaikan skripsi yang berjudul “Perancangan dan Pembuatan Pengirim Gambar Dari Helicopter Model Yang dikontrol Oleh Personal Computer (PC)” ini dengan lancar. Skripsi ini merupakan persyaratan kelulusan Studi di Jurusan Teknik Elektro S-1 Konsentrasi Teknik Elektronika ITN Malang dan untuk mencapai gelar Sarjana Teknik.

Keberhasilan penyelesaian laporan skripsi ini tidak lepas dari dukungan dan bantuan berbagai pihak. Untuk itu penyusun menyampaikan terima kasih kepada :

1. Bapak Ir. F. Yudi Limpraptono, MT selaku Ketua Jurusan Teknik Elektro S-1.
2. Bapak I Komang Somawirata, ST. MT selaku Dosen Pembimbing I.
3. Bapak Ir. Eko Nurcahyo selaku Dosen Pembimbing II.
4. Ayah dan Ibu serta keluarga besar yang telah memberikan do’a restu, dorongan, semangat, dan biaya.
5. Rekan-rekan mahasiswa/i Elektronika S-1.
6. Semua yang telah membantu dalam penyelesaian penyusunan skripsi ini.

Penyusun telah berusaha semaksimal mungkin dan menyadari sepenuhnya akan keterbatasan pengetahuan dalam menyelesaikan laporan ini. Untuk itu penyusun mengharapkan saran dan kritik yang membangun dari pembaca demi kesempurnaan laporan ini.

Harapan penyusun semoga laporan skripsi ini memberikan manfaat bagi perkembangan ilmu pengetahuan dan pembaca.

Malang, September 2008

Penyusun

DAFTAR ISI

LEMBAR PERSETUJUAN	i
ABSTRAKSI	ii
KATA PENGANTAR	iv
DAFTAR ISI	v
DAFTAR GAMBAR	ix
DAFTAR TABEL	xi
DAFTAR GRAFIK	xii
BAB I PENDAHULUAN	1
1.1. Latar Belakang	1
1.2. Rumusan Masalah	2
1.3. Tujuan	2
1.4. Batasan Masalah	3
1.5. Metodologi	3
1.5. Sistematika Penulisan	4
BAB II TEORI DASAR	5
2.1. Mikrokontroler AT 89S8252	5
2.1.1. Fitur Mikrokontroler AT 89S8252	5
2.1.2. Arsitektur Mikrokontroler AT 89S8252	6
2.1.3. Konfigurasi Pena-Pena Mikrokontroler AT 89S8252 ..	8
2.1.4. Organisasi memory.....	11
2.1.5. SFR (Special Fuction Register).....	12
2.1.6. Sistem Interupsi	14
2.2. Transmitter TLP434A dan <i>Reciever</i> RLP434A	15
2.2.1. <i>Transmitter</i>	16
2.2.2. <i>Receiver</i>	17
2.3. Motor DC	19
2.3.1. Pengendalian Arah Putaran Motor DC	24

2.4. Transistor	25
2.4.1. Arus Bias	25
2.4.2. Arus <i>Emitor</i>	25
2.4.3. <i>Alpha</i> (α)	26
2.4.4. <i>Beta</i> (β)	26
2.4.5. <i>Common Emitter</i> (CE)	27
2.4.6. Kurva <i>Base</i>	28
2.4.7. Kurva Kolektor	30
2.4.8. Daerah Aktif	30
2.4.9. Daerah Saturasi (Dalam Keadaan Jenuh)	31
2.4.10. Daerah <i>Cut-Off</i>	32
2.4.11. Daerah <i>Breakdown</i>	34
2.4.12. Perbandingan (<i>Comparator</i>).....	34
2.5. RS 232	35
2.5.1. Tegangan RS-232	37
2.5.2. Sinyal-sinyal RS-232	37
2.5.3. Antarmuka Serial RS-232 Pada IBM PC	38
2.6. Personal Komputer	40
2.6.1. Prosesor	40
2.6.2. Memori Utama	41
2.6.3. Memori Skunder	41
2.7. LED (<i>Light Emitting Dioda</i>)	42
2.8. Wireless Camera	43
BAB III PERANCANGAN DAN PEMBUATAN ALAT	44
3.1. Blok Diagram Keseluruhan Sistem	45
3.2. Perancangan Perangkat Keras (<i>Hardware</i>)	47
3.2.1. Perancangan Komunikasi Antara Alat Dengan PC	47
3.2.2. Perancangan TLP434A.....	48
3.2.3. Perancangan RLP434A.....	49
3.2.4. Perancangan Penguatan	49
3.2.5. Mikrokontroler AT 89S8252	51
3.2.5.1. Perancangan Rangkaian Clock.....	51

3.2.5.2. Perancangan Rangkaian Reset.....	51
3.2.5.3. Perancangan Penggunaan Port pada Mikrokontroler AT89S8252	53
3.2.6. Perancangan Komparator Tegangan	54
3.3. Perancangan Perangkat Lunak (<i>Software</i>)	55
3.4. FLOWCHART	56
BAB IV ANALISA DAN PENGUJIAN ALAT	59
4.1. Pengujian TLP434A dan RLP434A	59
4.1.1. Tujuan	59
4.1.2. Rangkaian Pengujian	60
4.1.3. Peralatan Yang Digunakan	61
4.1.4. Langkah Pengujian	61
4.1.5. Hasil Pengujian	62
4.1.5.1. Hasil Pengujian <i>Output</i> Gelombang.....	62
4.1.5.2. Hasil Pengujian Pengiriman Dan Penerimaan Data Tanpa Halangan.....	62
4.1.5.3. Hasil Pengujian Pengiriman Dan Penerimaan Data Dengan Halangan	63
4.2. Pengujian Rangkaian Driver Motor DC	64
4.2.1. Pengujian Rangkaian Driver Motor DC	64
4.2.1.1. Tujuan	64
4.2.1.2. Rangkaian pengujian	65
4.2.1.3. Peralatan Yang Digunakan	65
4.2.1.4. Langkah Pengujian	65
4.2.1.5. Hasil Pengujian	65
4.3. Pengujian Putaran Motor DC.....	66
4.3.1. Tujuan	66
4.3.2. Rangkaian percobaan	66
4.3.3. Peralatan Yang Digunakan	67
4.3.4. Langkah Pengujian	67
4.3.5. Hasil Pengujian	67
4.3.5.1. Hasil Pengujian Pada Oscilloscope	67

4.3.5.2. Hasil Pengujian Menggunakan Tachometer.....	70
4.4. Perancangan Putaran Motor DC	71
4.5. Pengujian review camera cctv	75
BAB V PENUTUP	75
5.1. Kesimpulan	75
5.2. Saran	76
DAFTAR PUSTAKA	77
LAMPIRAN-LAMPIRAN	

DAFTAR GAMBAR

2-1. Diagram Blok Mikrokontroler AT89s8252	7
2-2. Konfigurasi Pin-Pin AT89s8252.....	8
2-3. Osilator Eksternal AT89s8252.....	10
2-4. Modulasi ASK (<i>Amplitudo Syift Keying</i>).....	16
2-5. Modul dan Ukuran Dimensi TLP434A	17
2-6. Modul RLP 434A.....	18
2-7. Ukuran Fisik RLP 434A	18
2-8. Kaidah Tangan Kiri	19
2-9. Konduktor Berarus Listrik Dalam Medan Magnet.....	20
2-10. Bergeraknya Sebuah Motor	21
2-11. Kaidah Tangan Kanan Untuk Motor.....	22
2-12. Konstruksi Dasar Motor DC	23
2-13. Arah Putaran Motor DC	24
2-14. Arus Emitor.....	25
2-15. Rangkaian CE	27
2-16. Transistor Dalam Keadaan Saturasi.....	32
2-17. Transistor dalam Keadaan <i>Cutt Off</i> (Sumbat).....	33
2-18. Rangkaian <i>Driver</i> LED	33
2-19. Pembanding (<i>Comparator</i>).....	35
2-20. Konfigurasi Pin dan blok diagram RS 232.....	36
2-21. Tegangan Yang Mewakili Biner 0 dan 1	37
2-22. Skematik DB 9	40
2-23. Organisasi Komputer Sederhana Dengan CPU dan Peralatan.....	41
2-24. Lambang skematis dan contoh rangkaian dari LED	42
3-1. Diagram Blok Sistem	45
3-2. Perancangan Rangkaian RS 232	47
3-3. Rangkaian TLP434A.....	48
3-4. Rangkaian RLP 434A	49
3-5. Rangkaian Penguat Tak Membalik (<i>Non Inverting</i>)	49

3-6. Rangkaian Clock untuk MCU AT89S8252	51
3-7. Rangkaian Reset untuk MCU AT89S8252.....	52
3-8. Rangkaian MCU AT89S8252.....	53
3-9. Rangkaian Komparator Tegangan	54
3-19. Flowchart Sistem	56
4-1. Rangkaian Blok Pengiriman.....	60
4-2. Rangkaian Blok Penerimaan	60
4-3. Keluaran Sinyal TLP.....	62
4-4. Rangkaian Pengujian Motor DC.....	65
4-5. Kondisi Keluaran Port Mikrokontroller (a) High (b) Low.....	66
4-6. Rangkaian Pengujian Putaran Motor DC.....	66
4-7. PWM Dengan <i>Duty Cycle</i> 25%	69
4-8. PWM Dengan <i>Duty Cycle</i> 50%	69
4-9. PWM Dengan <i>Duty Cycle</i> 75%	69
4-10. Pengujian Putaran Motor DC (a) Pertama (b) Kedua.....	72
4-11. Review camera cctv	75

DAFTAR TABEL

2-1. Fungsi Khusus Pada Port 3	9
2-2. <i>Special Fucntion Register</i>	12
2-3. Alamat Sumber Interupsi.....	15
2-4. Konfigurasi Pin TLP434A	17
2-5. Konfigurasi Pin RLP 434A	18
2-6. Sinyal-Sinyal Untuk Konektor DB-9 Dan DB-25	38
2-7. Address Register RS-232	38
4-1. Hasil Pengujian Jarak Pengiriman dan Penerimaan Data Dengan TLP434A dan RLP434A Tanpa Halangan	62
4-2. Hasil Pengujian Jarak Pengiriman dan Penerimaan Data Dengan TLP434A dan RLP434A Dengan Halangan.....	63
4-3. Hasil Perhitungan Perancangan <i>Duty Cycle</i> Motor DC	67
4-4. Hasil Pengukuran Putaran Motor	70
4-5. Putaran Motor DC	71
4-6. Perbandingan Perhitungan Dan Pengukuran Putaran Motor DC.....	73

DAFTAR GRAFIK

2-1. Kurva $I_B - V_{BE}$	29
2-2. Kurva Kolektor	30
4-1. Pengukuran PWM Terhadap Putaran Motor DC	70
4-2. Perbandingan Pengukuran Dan Perhitungan PWM Terhadap Putaran Motor DC	73

BAB I

PENDAHULUAN

1.1 Latar Belakang

Pernahkah kita membayangkan jika itu ada di kehidupan nyata. Mengontrol sebuah helicopter dari jarak jauh bukanlah hal yang mustahil kita lakukan saat ini. Di saat teknologi elektronika berkembang pesat, disertai dengan kemudahan memperoleh peralatan-peralatan dengan biaya yang relative murah serta tersedianya buku-buku tutorial yang mendukung, mengontrol sebuah helicopter dari jarak jauh akan dapat terwujud.

Secara umum system R/C terdiri dari sebuah pemancar atau *transmitter*, sebuah atau lebih penerima atau *receiver* dan beberapa buah motor dc sebagai actuator(<http://www.geocities.yahoo.com/p=remote+control+system>).

Baterai sebagai sumber daya diperlukan oleh bagian pemancar maupun bagian penerima. Pemancar atau *transmitter* bertugas menerima perintah kendali dari orang yang mengendalikan dan merubahnya menjadi kode-kode elektronik dan mengirimkannya melalui gelombang radio ke udara. Bagian penerima atau *receiver* bertugas menerima informasi gelombang radio, menerjemahkan kode-kode elektriknya menjadi perintah gerak yang dikirimkan ke motor dc, selanjutnya motor dc bertugas sebagai aktuator ke posisi tertentu yang diinginkan.

Disini penulis mempunyai ide untuk merancang suatu alat yang dapat mengontrol remote control sebagai alat pemantau dari udara melalui media *wireless* (remote control) yang mungkin dapat digunakan untuk mengintai suatu

hal yang mengancam hidup seseorang misalnya untuk mengamati suatu kejadian dimana manusia tidak memungkinkan atau berbahaya untuk mendekatinya, atau juga dapat digunakan sebagai alat intelejen. Maka dari itu helicopter remote control ini dirancang untuk mengurangi suatu resiko yang besar. Peralatan yang digunakan satu set PC (personal computer) kemudian data dipancarkan oleh TLP434A dan selanjutnya data diterima oleh RLP434A kemudian diteruskan ke mikrokontroler AT89S8252 sebagai inputan yang akan mengaktifkan motor dc (servo).

1.2 Rumusan Masalah

Berdasarkan latar belakang yang telah diuraikan pada bagian sebelumnya, maka dapat dirumuskan beberapa masalah yang akan dibahas yaitu :

- Bagaimana merencanakan membuat instalasi hardware pada mikrokontroler AT89S8252
- Bagaimana system pengaturan remote control
- Bagaimana pengendalian motor dc menggunakan mikrokontroler

1.3 Tujuan

Tujuan dari skripsi ini adalah merancang dan membuat control pengendali helicopter model remote control (R/C) yang semula memakai hand control dirubah dengan menggunakan keyboard PC.

1.4 Batasan Masalah

Dalam menyusun skripsi ini diperlukan suatu batasan masalah agar tidak menyimpang dari ruang lingkup yang akan dibahas, batasan masalahnya meliputi:

- Tidak melakukan pembahasan pada pengiriman data secara wireless
- Pengendalian motor dc pada helicopter remote control menggunakan mikrokontroller AT89S8252
- Tidak membahas isi wireless tv tuner internal dan cctv
- Tidak membahas pengiriman gambar video

1.5 Metodologi

Metodologi yang dipakai dalam pembuatan skripsi ini adalah:

1. Studi Literatur

Dengan mencari referensi-referensi yang berhubungan dengan perencanaan dan pembuatan alat yang akan dibuat.

2. *Field Research*

Dengan melakukan penelitian secara langsung mengenai objek-objek yang berhubungan langsung dengan perencanaan alat yang akan dibuat.

3. *Design* dan Pembuatan Alat

Yaitu meliputi pembuatan, perakitan komponen serta penyolderan dan pembuatan perangkat lunak.

4. Pengujian Alat

Dengan melakukan pengujian perblok rangkaian dan kerja seluruh sistem pada alat tersebut.

1.6 Sistematika

Penulisan skripsi ini terbagi menjadi lima bab dengan sistematika sebagai berikut:

- **BAB I PENDAHULUAN**

Membahas tentang latar belakang, rumusan masalah, tujuan, batasan masalah, metodologi dan sistematika penulisan pada penulisan skripsi ini.

- **BAB II LANDASAN TEORI**

Berisikan tentang penjelasan dan teori-teori yang berhubungan dengan komponen-komponen yang digunakan dalam perancangan alat.

- **BAB III PERENCANAAN DAN PEMBUATAN ALAT**

Membahas tentang perancangan alat yang terdiri dari perancangan perangkat keras dan perancangan perangkat lunak.

- **BAB IV PENGUJIAN ALAT**

Membahas tentang pengujian peralatan secara keseluruhan dan analisa hasil pengujian.

- **BAB V PENUTUP**

Berisikan kesimpulan yang didapat selama perancangan dan pembuatan alat serta saran-saran.

BAB II

LANDASAN TEORI

Pada bab ini akan dibahas mengenai dasar-dasar teori yang dapat menunjang dalam merencanakan dan membuat sistem kendali motor dc pada helicopter model *remote control (R/C)* menggunakan mikrokontroller AT89s8252. Teori penunjang ini akan membahas komponen dan peralatan pendukung pada alat yang dibuat. Untuk dapat memahami alat yang akan dirancang, maka dalam bab ini akan dijelaskan mengenai teori dasar yang akan berkaitan dengan sistem.

Uraian teori-teori dalam bab ini meliputi:

- Mikrokontroller AT89s8252
- *Transmitter* TLP434A dan *Receiver* RLP434A
- Motor DC
- Transistor
- RS 232
- Personal Computer
- LED (*Light Emitting Dioda*)
- WIRELESS-CAMERA

2.1. Mikrokontroler AT89s8252

2.1.1. Fitur Mikrokontroler AT89s8252

Perbedaan mendasar antara mikrokontroler dan mikroprosesor adalah mikrokontroler selain memiliki CPU juga dilengkapi memori dan input output yang merupakan kelengkapan sebagai sistem minimum mikrokomputer sehingga

sebuah mikrokontroler dapat dikatakan sebagai mikrokomputer dalam keeping tunggal (*Single Chip Microcomputer*) yang dapat berdiri sendiri.

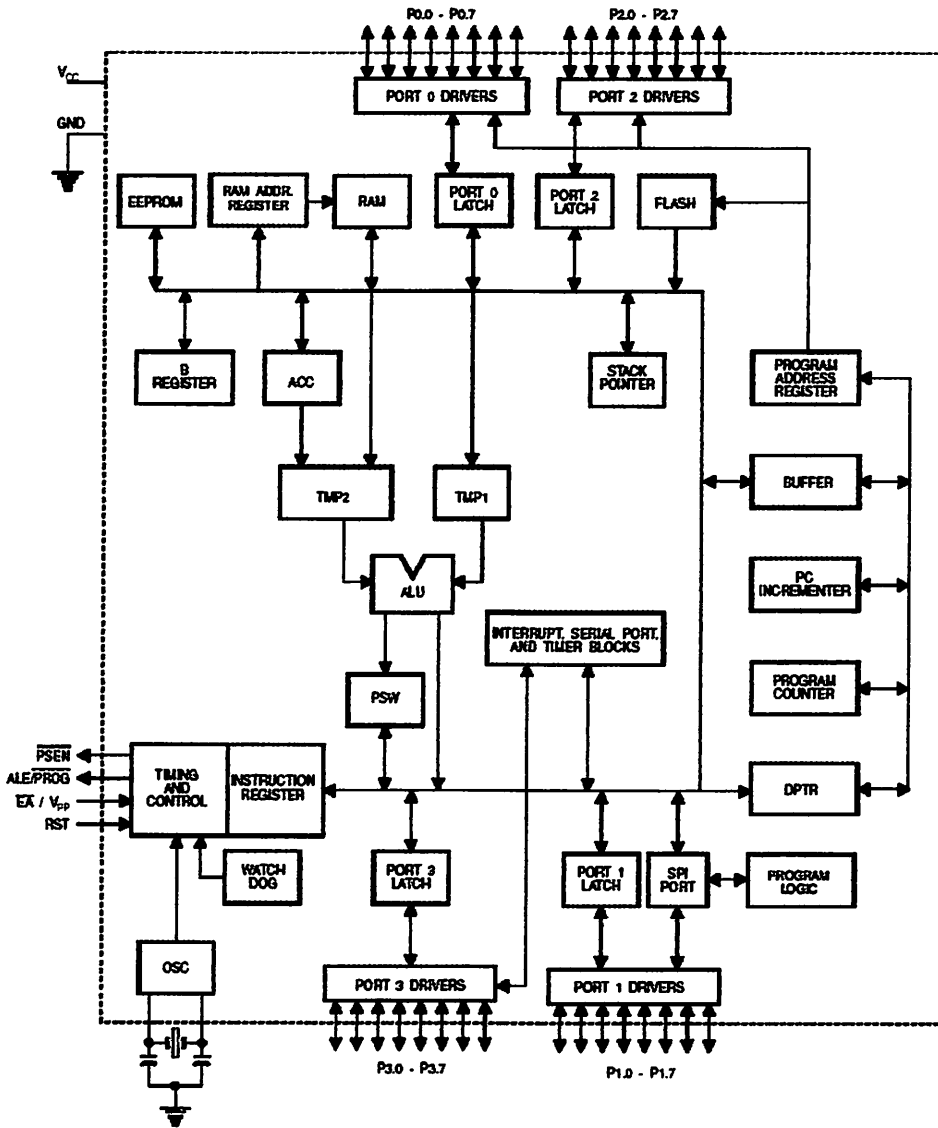
Mikrokontroler AT89s8252 adalah mikrokontroler ATMEL yang kompatibel penuh dengan Mikrokontroler keluarga MCS-51, membutuhkan daya rendah, memiliki performance yang tinggi dan merupakan mikrokomputer 8 bit yang dilengkapi dengan *8 Kilobyte Flash memori untuk program, 2 Kilobyte EEPROM (Electrical Eraseable And Programmable Read Only Memory) dan 256 Byte RAM internal*. Program memori yang dapat diprogram ulang dalam sistem atau menggunakan programmer nonvolatile Memori konvensional. Dalam system mikrokontroler terdapat dua hal mendasar yaitu: perangkat lunak dan perangkat keras yang keduanya saling terkait dan mendukung.

2.1.2 Arsitektur Mikrokontroler AT89s8252

Secara umum Mikrokontroler AT89s8252 memiliki :

- CPU 8 bit termasuk keluarga MCS-51
- 8 Kbyte *Flash* Memori
- 256 Byte *Internal* Memori
- 32 Port I/O, masing-masing terdiri atas 6 jalur I/O
- 3 *Timer/Counter* 16 Bit
- 2 *Serial Port Full Duplex*
- Kecepatan pelaksanaan instruksi per siklus 1 μ S pada frekuensi *clock* 12 Nhz
- 2 DPTR (*Data Pointer*)
- *Watchdog timer*
- Fleksibel ISP Programing

Dengan keistimewaan diatas pembuatan alat menggunakan AT89s8252 menjadi lebih sederhana dan tidak memerlukan IC pendukung yang banyak. Adapun blok diagram dari Mikrokontroler AT89s8252 adalah sebagai berikut :

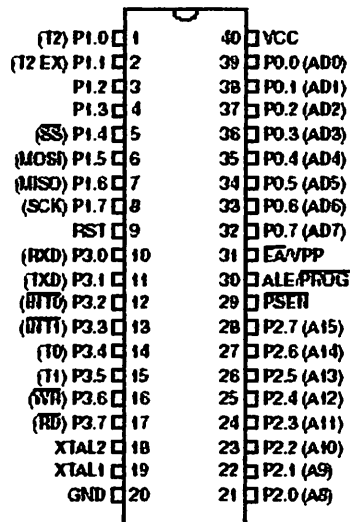


Gambar 2-1 Diagram Blok Mikrokontroler AT89s8252

(Sumber: Data Sheet Atmel AT89s8252)

2.1.3 Konfigurasi Pena-Pena Mikrokontroler AT89s8252

Mikrokontroler AT89s8252 terdiri dari 40 pin dengan konfigurasi sebagai berikut:



Gambar 2-2 Konfigurasi Pin-Pin AT89s8252

(Sumber: Data Sheet Atmel AT89s8252)

Fungsi-fungsi tiap pinnya adalah sebagai berikut:

- VCC (Supply tegangan), pin 40
- GND (Ground) , pin 20
- Port 0, pin 32-39

Merupakan port input-output dua arah, tanpa internal pull-up dan konfigurasi sebagai multipleks bus alamat rendah (A₀-A₇) dan data selain pengaksesan program memory dan data memory eksternal.

- Port 1, pin 1-8

Merupakan port input-output dua arah dengan internal pull-up.

- Port 2, pin 21-28

Merupakan port input-output dengan internal pull-up. Mengeluarkan alamat tinggi selama pengambilan program memori eksternal.

- Port 3, pin 10-17

Merupakan port input-output dengan internal pull-up, dimana port 3 juga memiliki fungsi khusus dan dapat dilihat pada table berikut:

Tabel 2-1 Fungsi Khusus Pada Port 3

Nama Penyemat	Fungsi Khusus
Port 3.0	RxD (Port Masukan khusus)
Port 3.1	TxD (Port Keluaran Khusus)
Port 3.2	/INT0 (Masukan Interupsi Eksternal 0)
Port 3.3	/INT1 (Masukan Interupsi Eksternal 1)
Port 3.4	T0 (Masukan Pewaktu Eksternal 0)
Port 3.5	T1 (Masukan Pewaktu Eksternal 1)
Port 3.6	/WR (Sinyal Tulis Memori Data Eksternal)
Port 3.7	/RD (Sinyal Baca Memori Data Eksternal)

(Sumber: Data Sheet Atmel AT89s8252)

- RST (Reset), pin 9

Input reset merupakan reset master untuk AT89s8252

- ALE /Prog (*Address Lacth Enable*), pin 30

Digunakan untuk menahan alamat memori eksternal selama pelaksanaan intruksi.

- PSEN (*Program Store Enable*), pin 29

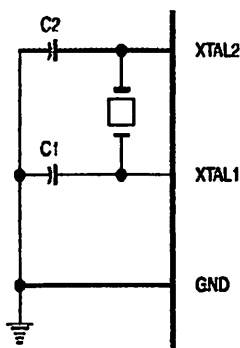
Merupakan sinyal pengontrol yang memperbolehkan program memori eksternal masuk ke dalam bus.

- EA/VPP (*External Access*), pin 31

Dapat diberikan logika rendah (Ground) atau logika tinggi (+5 Volt). Jika diberikan logika tinggi maka mikrokontroler akan mengakses program dari ROM internal (EEPROM/Flash Memori), dan jika diberikan logika rendah maka mikrokontroler akan mengakses program dari memori eksternal.

- X-TAL 1 dan X-TAL 2, pin 18,19

Pin ini dihubungkan dengan kristal bila menggunakan osilator internal. X-TAL 1 merupakan masukan ke rangkaian osilator internal sedangkan X-TAL 2 keluaran dari rangkaian osilator internal. Untuk keperluan ini diperlukan kapasitor penstabil sebesar 30 pF. Dan nilai dari X-TAL tersebut antara 4-24 Mhz. untuk lebih jelasnya dapat dilihat gambar pemasangan X-TAL serta kapasitor yang digunakannya.



Gambar 2-3 Osilator Eksternal AT89s8252

(Sumber: Data Sheet Atmel AT89s8252)

2.1.4 Organisasi Memory

Organisasi memori pada mikrokontroler AT89s8252 dapat dibagi menjadi dua bagian besar yaitu memori program dan memori data. Pembagian tersebut didasarkan atas fungsi dari penyimpanan data maupun program. Memori program digunakan untuk menyimpan instruksi-instruksi yang akan dijalankan oleh mikrokontroler, sedangkan memori data digunakan sebagai tempat yang sedang diolah mikrokontroler.

Program mikrokontroler disimpan dalam memori program berupa ROM. Mikrokontroler AT89s8252 dilengkapi dengan Rom internal, sehingga untuk menyimpan program tidak digunakan ROM Eksternal yang terpisah dari mikrokontroler. Agar tidak menggunakan memori program eksternal, penyemat /EA dihubungkan dengan Vcc (logika 1).

Memori program mikrokontroler menggunakan alamat 16 Bit mulai dari 0000_H – 0FFF_H sehingga kapasitas penyimpanan program maksimal adalah 4Kbyte. Sinyal /PSEN (*Program Store Enable*) tidak digunakan jika menggunakan memori program internal.

Selain program mikrokontroler AT89s8252 juga memiliki data internal sebesar 128 Byte dan mampu mengakses memori data eksternal sebesar 64 Kbyte. Semua memori data internal dapat dialamati dengan data langsung atau tidak langsung. Ciri dari pengalamatan langsung adalah *operand* adalah alamat register yang berisi alamat data yang akan diolah. Sebagian memori tersebut dapat dialamati dengan pengalamatan register, dan sebagian lagi dapat dialamati dengan memori satu bit. Untuk membaca data digunakan sinyal /RD sedangkan untuk menulis digunakan sinyal /WR.

2.1.5 SFR (*Special Fuction Register*)

Register Fungsi Khusus (*Special fuction Register*) terletak pada 128 byte bagian atas memori data internal dan berisi register-register untuk pelayanan latch port, timer, program status word (PSW), control peripheral dan sebagainya. Alamat register fungsi khusus ini ditunjukkan pada table 2-2.

Tabel 2-2 *Special Fuction Register*

Simbol	Nama Register	Alamat
ACC	Accumulator	E0 _H
B	Register B	F0 _H
PSW	Program Status Word	D0 _H
SP	Stack Pointer	81 _H
DPTR	Data Pointer 2 Byte	
DPL	Bit Rendah	82 _H
DPH	Bit Tinggi	83 _H
P0	Port 0	80 _H
P1	Port 1	90 _H
P2	Port 2	A0 _H
P3	Port 3	B0 _H
IP	Interup Periority Control	D8 _H
IE	Interup Enable Control	A8 _H
TMOD	Timer/Counter Mode	89 _H
TCON	Control	88 _H
TH0	Timer/Counter Control	8C _H

TL0	Timer/Counter 0 High	8A _H
TH1	Control	8D _H
TL1	Timer/Counter 0 Low	8B _H
SCON	Control	98 _H
SBUF	Timer/Counter 1 High	99 _H
PCON	Control	87 _H
	Timer/Counter 1 Low	
	Control	
	Serial Control	
	Serial Data Buffer	
	Power Control	

(Sumber: Data Sheet Atmel AT89s8252)

Beberapa macam register fungsi khusus yang sering digunakan adalah sebagai berikut :

- *Accumulator* (ACC) merupakan register untuk penambahan dan pengurangan, perintah Mnemonic untuk mengakses akumulator disederhanakan sebagai A.
- *Register B* merupakan register khusus yang berfungsi melayani operasi perkalian dan pembagian.
- *Stack Pointer* (SP) merupakan register 8 bit yang dapat diletakkan di alamat manapun pada RAM internal.

- *2 Data Pointer (DPTR)* terdiri atas dua register yaitu untuk byte tinggi (*data pointer high, DPH*) dan byte rendah (*data Pointer Low, DPL*) yang berfungsi untuk mengunci alamat 16 bit.
- *Port 0 sampai port 3* merupakan register yang berfungsi untuk membaca dan mengeluarkan data pada port 0,1,2,3. masing-masing register ini dapat dialamati per-byte maupun per-bit.
- *Control Register* terdiri dari register yang mempunyai fungsi control. Untuk mengontrol system interupsi, terdapat dua register khusus yaitu register IP (*Interrupt Priority*) dan register IE (*Interrupt Enable*). Untuk mengontrol pelayanan timer/counter terdapat register khusus yaitu register TCON (*Timer/Counter Control*) serta pelayanan port srial menggunakan register SCON (*Serial Port Control*).

2.1.6 Sistem Interupsi

Mikrokontroler AT89s8252 mempunyai 5 buah sumber interupsi yang dapat membangkitkan permintaan yaitu INT0, INT1, T1, T2 dan Port Serial.

Saat terjadinya interupsi mikrokontroler secara otomatis akan menuju ke subrutin pada alamat tersebut. Setelah interupsi selesai dikerjakan, mikrokontroler akan mengerjakan program semula. Tiap-tiap sumber interupsi dapat *enable* atau *disable* secara software.

Tingkat prioritas semua sumber interrupt dapat diprogram sendiri-sendiri dengan set atau clear bit pada (*interrupt priority*). Jika dua permintaan interupsi dengan tingkat prioritas yang berbeda diterima secara bersamaan akan dilakukan polling untuk menentukan mana yang akan dilayani.

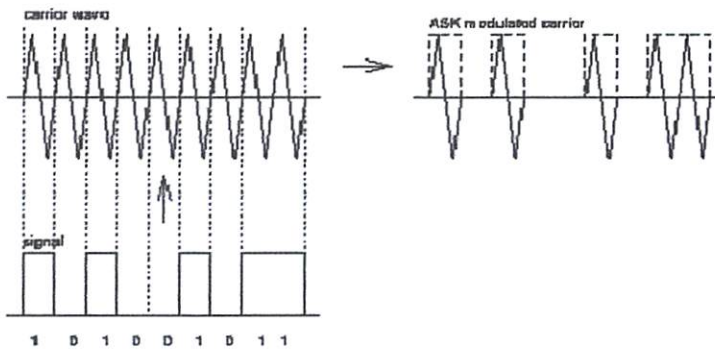
Tabel 2-3 Alamat Sumber Interupsi

Sumber Interupsi	Alamat Awal
Interrupt Luar 0 (INT 0)	03 _H
Pewaktu/Pencacah 0 (T0)	0B _H
Interrupt Luar 1 (INT 0)	13 _H
Pewaktu/Pencacah 0 (T0)	1B _H
Port Serial	23 _H

(Sumber: Data Sheet Atmel AT89s8252)

2.2. Transmitter TLP434A dan Receiver RLP434A

Transmitter TLP434A dan *receiver* RLP434A adalah sepasang modul pengiriman dan penerimaan data tanpa menggunakan kabel (*wireless*) yang bekerja pada frekuensi 434 MHz. Sistem modulasi yang digunakan adalah modulasi digital ASK (*Amplitudo Shift Keying*) yaitu modulasi yang menyatakan sinyal digital 1 sebagai suatu nilai tegangan tertentu (misalnya 1 volt) dan sinyal digital 0 sebagai sinyal digital dengan tegangan 0 volt. sinyal ini yang kemudian digunakan untuk menyalakan pemancar, kira-kira mirip sinyal morse (affan@itb.ac.id).



Gambar 2-4 Modulasi ASK (*Amplitudo Syift Keying*)

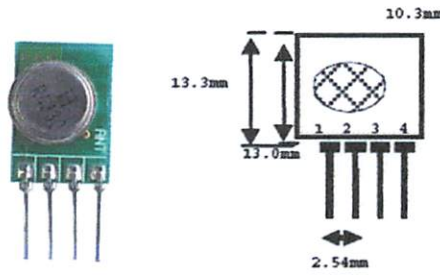
Sumber: Elektronika Komunikasi jilid 2

2.2.1. Transmitter

TLP 434A adalah suatu modul RF (*Radio Frekuensi*) dari Laipac Technology, Inc. yang biasa digunakan pada aplikasi *mobile robot*, alarm, *remote control*, dan transfer data. Jarak pancar yang mampu dijangkau tergantung dari berbagai faktor diantaranya faktor antena, kebisingan, tegangan kerja dari pemancar dan juga resistansi yang dimiliki suatu obyek penghalang. Jarak efektif kurang lebih 30 meter untuk pemakaian *indoor* dan 100 meter untuk pemakaian *outdoor* (www.futurlec.com dan Datasheet TLP/RLP434A).

Spesifikasi dan penjelasan dari *transmitter* TLP434A antara lain sebagai berikut:

- *Operation Voltage* antara 2-12 Volt DC
- Bekerja pada frekuensi 315, 418, dan 433,92 MHz
- *Case Temperature* = 25°C
- *Data Rate* sampai 4.8Kbps



Gambar 2-5 Modul dan Ukuran Dimensi TLP434A

(Sumber: Datasheet TLP/RLP434A)

Tabel 2-4 Konfigurasi Pin TLP434A

Pin 1	GND
Pin 2	Data in
Pin 3	Vcc
Pin 4	Antena (RF Output)

(Sumber: Datasheet TLP/RLP 434A)

2.2.2. Receiver

Receiver adalah suatu *hardware* yang berfungsi menerima sinyal informasi yang dikirim oleh suatu pemancar yang memiliki frekuensi yang sama dengan antara pemancar dan penerima. Spesifikasi dari RLP434A antara lain:

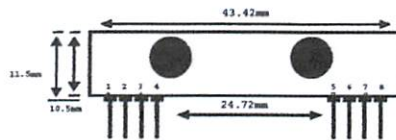
- *Operation voltage* 3,3 sampai 6,0 Volt DC
- Bekerja pada frekuensi 315, 418, dan 433,92 MHz
- *Operation temperature* antara -20°C sampai 80°C
- *Data Rate* sampai 4.8Kbps

Untuk ukuran fisiknya, RLP 434A memiliki dimensi yang lebih lebar dibandingkan dengan TLP 434A. Untuk lebih jelas dapat dilihat dari penjelasan berikut ini :



Gambar 2-6 Modul RLP 434A

(Sumber: *Datasheet TLP/RLP 434A*)



Gambar 2-7 Ukuran Fisik RLP 434A

(Sumber: *Datasheet TLP/RLP 434A*)

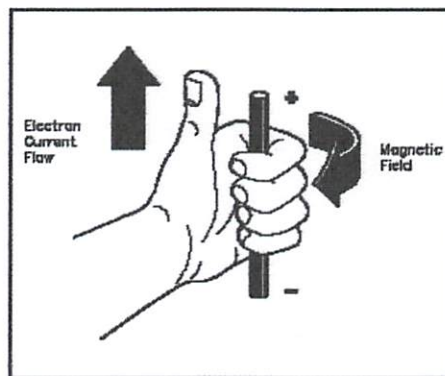
Tabel 2-5 Konfigurasi Pin RLP 434A

Pin 1	Ground
Pin 2	Digital Data Output
Pin 3	Linier Output/Test
Pin 4	Vcc
Pin 5	Vcc
Pin 6	Ground
Pin 7	Ground
Pin 8	Antena

(Sumber: *Datasheet TLP/RLP 434A*)

2.3. Motor DC

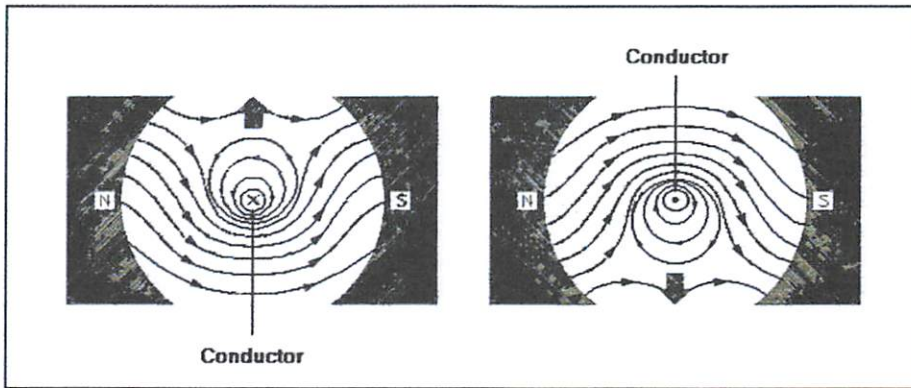
Setiap arus yang mengalir melalui sebuah konduktor akan menimbulkan medan magnet. Arah medan magnet dapat ditentukan dengan kaidah tangan kiri. Ibu jari tangan menunjukkan arah aliran arus listrik sedangkan jari-jari yang lain menunjukkan arah medan magnet yang timbul, seperti yang ditunjukkan oleh gambar 2-8 berikut ini.



Gambar 2-8 Kaidah Tangan Kiri

(Sumber: www.CoolCircuit.com)

Jika suatu konduktor yang dialiri arus listrik ditempatkan dalam sebuah medan magnet, kombinasi medan magnet akan ditunjukkan oleh gambar 2-9. Arah aliran arus listrik dalam konduktor ditunjukkan dengan tanda "x" atau ".". Tanda "x" menunjukkan arah arus listrik mengalir menjauhi pembaca gambar, tanda "." menunjukkan arah arus listrik mengalir mendekati pembaca gambar.

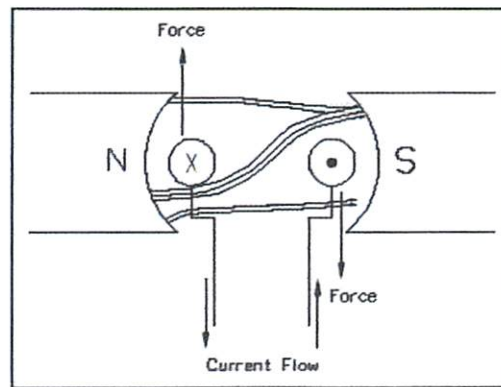


Gambar 2-9 Konduktor Berarus Listrik Dalam Medan Magnet

(Sumber: www.CoolCircuit.com)

Pada gambar sebelah kiri, arah medan magnet pada sisi atas yang dihasilkan oleh konduktor berlawanan dengan arah medan magnet yang dihasilkan oleh magnet permanen. Sementara pada sisi sebelah bawah, arah medan magnet yang dihasilkan oleh konduktor searah dengan arah medan magnet yang dihasilkan oleh magnet permanen. Dengan kata lain, pada sisi sebelah atas kerapatan *fluks* magnet lebih sedikit dari pada sisi sebelah bawah. Sebuah gaya dorong akan menyebabkan konduktor bergerak ke sisi sebelah atas. Pada gambar sebelah kanan, arah medan magnet pada sisi atas yang dihasilkan oleh konduktor searah dengan arah medan magnet yang dihasilkan oleh magnet permanen. Sementara pada sisi sebelah bawah, arah medan magnet yang dihasilkan oleh konduktor berlawanan dengan arah medan magnet yang dihasilkan oleh magnet permanen. Dengan kata lain, pada sisi sebelah bawah kerapatan *fluks* magnet lebih sedikit dari pada sisi sebelah atas. Sebuah gaya dorong akan menyebabkan konduktor bergerak ke sisi sebelah bawah. Pada

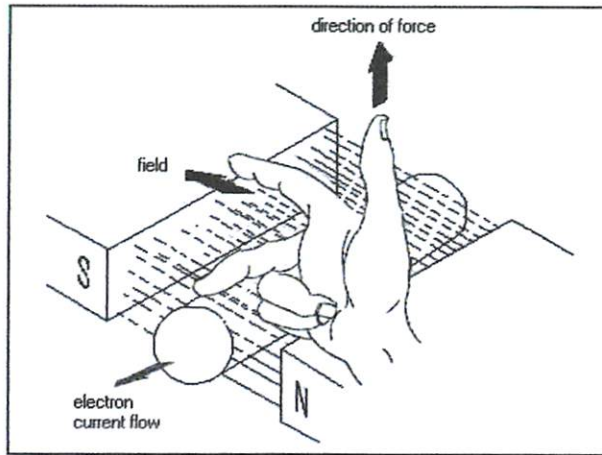
sebuah motor dc, konduktor dibentuk menjadi sebuah *loop* sehingga ada dua bagian konduktor yang berada didalam medan magnet pada saat yang sama, seperti diperlihatkan pada gambar 2-10. Konfigurasi konduktor seperti ini akan menghasilkan *distorsi* pada medan magnet utama dan menghasilkan gaya dorong pada masing-masing konduktor. Pada saat konduktor di tempatkan pada rotor, gaya dorong yang timbul akan menyebabkan rotor berputar searah dengan jarum jam, seperti diperlihatkan pada gambar 2-10.



Gambar 2-10 Bergeraknya Sebuah Motor

(Sumber: www.CoolCircuit.com)

Sebuah cara lagi untuk menunjukkan hubungan antara arus listrik yang mengalir didalam sebuah konduktor, medan magnet dan arah gerak, adalah kaidah tangan kanan untuk motor seperti yang diperlihatkan pada gambar 2-11.



Gambar 2-11 Kaidah Tangan Kanan Untuk Motor

(Sumber: www.CoolCircuit.com)

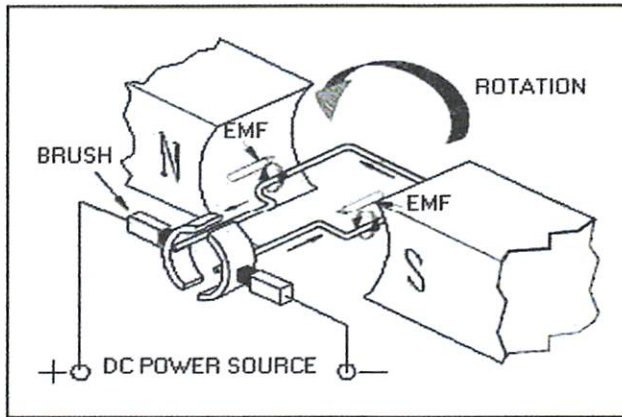
Kaidah tangan kanan untuk motor menunjukkan arah arus yang mengalir didalam sebuah konduktor yang berada dalam medan magnet. Jari tengah menunjukkan arah arus yang mengalir pada konduktor, jari telunjuk menunjukkan arah medan magnet dan ibu jari menunjukkan arah gaya putar. Adapun besarnya gaya yang bekerja pada konduktor tersebut dapat dirumuskan dengan :

$$F = B.L.I \quad (\text{Newton})$$

Dimana : B = kerapatan *fluks* magnet (weber)

L = panjang konduktor (meter)

I = arus listrik (ampere)



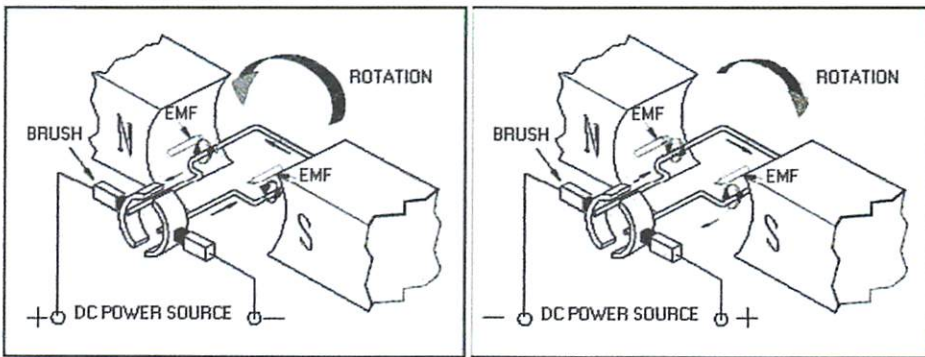
Gambar 2-12 Konstruksi Dasar Motor DC

(Sumber: www.CoolCircuit.com)

Pada gambar 2-12 diatas tampak sebuah konstruksi dasar motor dc, pada gambar diatas terlihat bahwa pada saat terminal motor diberi tegangan dc, maka arus elektron akan mengalir melalui konduktor dari terminal negatif menuju ke terminal positif. Karena konduktor berada diantara medan magnet, maka akan timbul medan magnet juga pada konduktor yang arahnya seperti terlihat pada gambar 2-12. diatas. Arah garis gaya medan magnet yang dihasilkan oleh magnet permanen adalah dari kutub utara menuju ke selatan. Sementara pada konduktor yang dekat dengan kutub selatan, arah garis gaya magnet disisi sebelah bawah searah dengan garis gaya magnet permanen sedangkan di sisi sebelah atas arah garis gaya magnet berlawanan arah dengan garis gaya magnet permanen. Ini menyebabkan medan magnet disisi sebelah bawah lebih rapat daripada sisi sebelah atas. Dengan demikian konduktor akan terdorong ke arah atas. Sementara pada konduktor yang dekat dengan kutub utara, arah garis gaya magnet disisi sebelah atas searah dengan garis gaya magnet permanen sedangkan di sisi sebelah

bawah arah garis gaya magnet berlawanan arah dengan garis gaya magnet permanen. Ini menyebabkan medan magnet disisi sebelah atas lebih rapat daripada sisi sebelah bawah. Dengan demikian konduktor akan terdorong ke arah bawah. Pada akhirnya konduktor akan membentuk gerakan berputar berlawanan dengan jarum jam seperti terlihat pada gambar 2-12 di atas.

2.3.1. Pengendalian Arah Putaran Motor DC



Gambar 2-13 Arah Putaran Motor DC

(Sumber: www.CoolCircuit.com)

Putaran motor dc sebenarnya dari kiri ke kanan, untuk mengubah putaran motor dari kiri ke kanan atau berbalik arah dari yang seharusnya dapat dilakukan dengan cara membalik arah arus motor tersebut dengan tegangan sumber, yaitu kutub positif pada tegangan sumber dan negatif pada motor disambungkan ke kutub positif pada tegangan sumber, maka motor akan berputar berlawanan dari arah sebenarnya yaitu dari kiri ke kanan.

2.4. Transistor

Prinsip kerja transistor adalah arus bias *base - emitter* yang kecil mengatur besar arus *colector - emitter*. Bagian penting berikutnya adalah bagaimana caranya memberi arus bias yang tepat sehingga transistor dapat bekerja optimal.

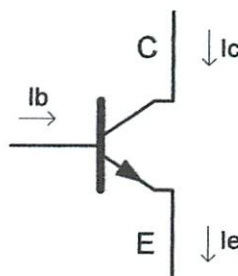
2.4.1. Arus Bias

Ada tiga cara yang umum untuk memberi arus bias pada transistor, yaitu rangkaian CE (*Common Emitter*), CC (*Common Colector*), CB (*Common Base*). Namun saat ini akan lebih detil jika dijelaskan bias transistor rangkaian CE. Dengan menganalisa rangkaian CE akan dapat diketahui beberapa parameter penting dan berguna, terutama untuk memilih transistor yang tepat untuk aplikasi tertentu. Misalnya untuk aplikasi pengolahan sinyal audio tentu saja tidak menggunakan transistor power.

2.4.2. Arus Emitter

Dari Hukum Kirchoff diketahui bahwa jumlah arus yang masuk ke satu titik akan sama dengan arus yang keluar. Jika teorema tersebut diaplikasikan pada transistor, maka hukum itu menjelaskan hubungan:

$$I_E = I_C + I_B$$



Gambar 2-14 Arus Emitter

(Sumber: www.electroniclab.com, rubrik elka analog, aswan hamonangan)

Persamaan di atas mengatakan arus emitor I_E adalah jumlah dari arus kolektor I_C dengan arus base I_B . karena arus I_B sangat kecil sekali atau disebutkan $I_B \ll I_C$, maka dapat dinyatakan :

$$I_E = I_C$$

2.4.3. Alpha (α)

Pada tabel data transistor (*databook*) sering dijumpai spesifikasi a_{dc} (alpha dc) yang tidak lain adalah :

$$a_{dc} = I_C / I_E$$

Definisinya adalah perbandingan arus kolektor terhadap arus emitor. Karena besar arus kolektor umumnya hampir sama dengan besar arus emitor, maka idealnya besarnya a_{dc} adalah = 1 (satu). Namun pada umumnya transistor yang ada memiliki a_{dc} kurang lebih antara 0,95 sampai 0,99.

2.4.4. Bheta (β)

Bheta didefinisikan sebagai besar perbandingan antara arus kolektor dengan arus base.

$$\beta = I_C / I_B$$

Dengan kata lain, β adalah parameter yang menunjukkan kemampuan penguatan arus (*current gain*) dari suatu transistor. Parameter ini ada tertera di *databook* transistor dan sangat membantu para perancang rangkaian elektronika dalam merencanakan rangkaiannya.

Misalnya jika suatu transistor diketahui besar $\beta = 250$ dan diinginkan arus kolektor sebesar 10 mA, maka berapakah arus bias base yang diperlukan. Tentu saja jawabannya sangat mudah, yaitu :

$$I_B = \frac{I_C}{b} = \frac{10\text{mA}}{250} = 40 \mu\text{A}$$

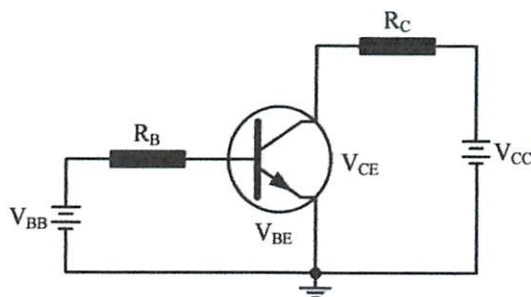
Arus yang terjadi pada kolektor transistor yang memiliki $b = 200$ jika diberi arus bias base sebesar $0,1 \text{ mA}$ adalah :

$$I_C = b \cdot I_B = 200 \times 0,1 \text{ mA} = 20 \text{ mA}$$

Dari rumusan di atas lebih terlihat definisi penguatan arus transistor, yang sekali lagi, arus base yang kecil menjadi arus kolektor yang lebih besar.

2.4.5. Common Emitter (CE)

Rangkaian CE adalah rangkaian yang paling sering digunakan untuk berbagai aplikasi yang menggunakan transistor. Dinamakan rangkaian CE sebab titik *ground* atau titik tegangan 0 Volt dihubungkan pada titik emitter.



Gambar 2-15 Rangkaian CE

(Sumber: www.electroniclab.com, rubrik elka analog, aswan hamonangan)

Sekilas tentang notasi, ada beberapa notasi yang sering digunakan untuk menunjukkan besar tegangan pada suatu titik maupun antar titik. Notasi dengan

satu *subscript* adalah untuk menunjukkan besar tegangan pada satu titik, misalnya V_C = tegangan kolektor, V_B = tegangan base, dan V_E = tegangan *emitter*.

Ada juga notasi dengan dua *subscript* yang dipakai untuk menunjukkan besar tegangan antar dua titik, yang disebut juga dengan tegangan jepit. Di antaranya adalah :

V_{CE} = tegangan jepit kolektor – emitor

V_{BE} = tegangan jepit base – emitor

V_{CB} = tegangan jepit kolektor base

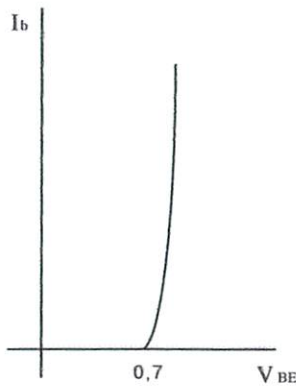
Notasi seperti V_{BB} , V_{CC} , V_{EE} berturut – turut adalah besar sumber tegangan yang masuk ke titik base, kolektor, dan emitor.

2.4.6. Kurva Base

Hubungan antara I_B dan V_{BE} tentu saja akan berupa kurva dioda. Karena memang telah diketahui bahwa *junction base – emitor* tidak lain adalah sebuah dioda. Jika hukum Ohm diterapkan pada loop base diketahui adalah :

$$I_B = \frac{(V_{BB} - V_{BE})}{R_B}$$

V_{BE} adalah tegangan jepit dioda *junction base – emitor*. Arus hanya akan mengalir jika tegangan antara base – emitor lebih besar dari V_{BE} . Sehingga arus I_B mulai aktif mengalir pada saat nilai V_{BE} tertentu.



Grafik 2-1 Kurva $I_B - V_{BE}$

(Sumber: www.electroniclab.com, rubrik elka dasar, aswan hamonangan)

Besar V_{BE} umumnya tercantum dalam *databook*, tetapi untuk penyederhanaan umumnya diketahui $V_{BE} = 0,7$ Volt untuk transistor silikon dan $V_{BE} = 0,3$ Volt untuk transistor germanium. Nilai ideal $V_{BE} = 0$ Volt.

Sampai disini akan sangat mudah mengetahui arus I_B dan arus I_C dari rangkaian berikut ini, jika diketahui besar $b = 200$. Misalnya yang digunakan adalah transistor yang dibuat dari bahan silikon.

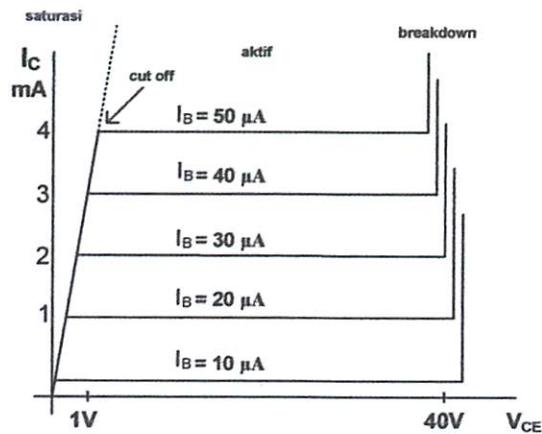
$$\begin{aligned}
 I_B &= \frac{(V_{BB} - V_{BE})}{R_B} \\
 &= \frac{(2V - 0,7V)}{100K\Omega} \\
 &= 13 \mu A
 \end{aligned}$$

Dengan $b = 200$, maka arus kolektor adalah :

$$\begin{aligned}
 I_C &= b \cdot I_B \\
 &= 200 \times 13\mu A \\
 &= 2,6 \text{ mA}
 \end{aligned}$$

2.4.7. Kurva Kolektor

Sekarang sudah diketahui konsep arus *base* dan arus kolektor, satu hal lain yang menarik adalah bagaimana hubungan arus base I_B , arus kolektor I_C , dan tegangan kolektor kolektor – *emitter* V_{CE} . Dengan menggunakan rangkaian-01, tegangan V_{BB} dan V_{CC} dapat diatur untuk memperoleh *plot* garis – garis kurva kolektor. Pada gambar berikut telah diplot beberapa kurva kolektor arus I_C terhadap V_{CE} dimana arus I_B dibuat konstan.



Grafik 2–2 Kurva Kolektor

(Sumber: www.electroniclab.com, rubrik elka dasar, aswan hamonangan)

Dari kurva ini dapat terlihat ada beberapa region yang menunjukkan daerah kerja transistor. Pertama adalah daerah saturasi, lalu daerah *cut-off*, kemudian daerah aktif, dan seterusnya adalah daerah *breakdown*.

2.4.8. Daerah Aktif

Daerah kerja transistor yang normal adalah pada daerah aktif, dimana arus I_C konstan terhadap berapapun nilai V_{CE} . Dari kurva ini diperlihatkan bahwa arus

I_C hanya bergantung pada besar arus I_B . daerah kerja ini biasa disebut juga daerah linear (*linear region*).

Jika Hukum Kirchoff mengenai tegangan dan arus diterapkan pada *loop* kolektor (rangkaiannya CE), maka dapat diperoleh hubungan :

$$V_{CE} = V_{CC} - I_C \cdot R_C$$

Dapat dihitung dissipasi daya transistor adalah :

$$P_D = V_{CE} \cdot I_C$$

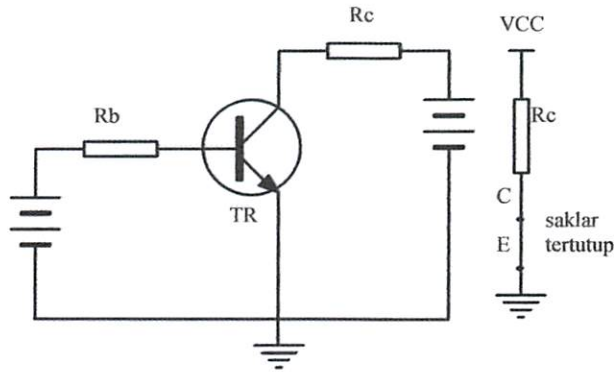
Rumus ini mengatakan jumlah dissipasi daya transistor adalah tegangan kolektor – *emitter* dikalikan dengan jumlah arus yang melewatinya. Dissipasi daya ini berupa panas yang menyebabkan naiknya temperatur transistor. Umumnya untuk transistor power sangat perlu untuk mengetahui spesifikasi P_{Dmax} . Spesifikasi ini menunjukkan temperatur kerja maksimum yang diperbolehkan agar transistor masih bekerja normal. Sebab jika transistor bekerja melebihi kapasitas daya P_{Dmax} , maka transistor dapat rusak atau terbakar.

2.4.9. Daerah Saturasi (Dalam Keadaan Jenuh)

Daerah Saturasi adalah mulai dari $V_{CE} = 0$ Volt sampai dengan kira - kira 0,7 Volt (transistor silikon), yaitu akibat dari efek dioda kolektor - base yang mana tegangan V_{CE} belum mencukupi untuk dapat menyebabkan aliran elektron.

Transistor dalam keadaan jenuh (saturasi), maka berlaku :

- Kuat arus (I_C) mencapai maksimum
- V_{ce} sama dengan 0 volt
- Tegangan pada beban sama dengan tegangan sumber ($V_{cc}=V_{Rc}$)



Gambar 2-16 Transistor Dalam Keadaan Saturasi

(Sumber: www.electroniclab.com, rubrik elka dasar, aswan hamonangan)

Untuk menghitung resistansi pada basis menggunakan rumus :

$$V_{CC} - I_C \cdot R_C - V_{CE} = 0$$

Karena keadaan saturasi $V_{ce} = 0$ maka rumusnya menjadi :

$$V_{CC} - I_C \cdot R_C = 0$$

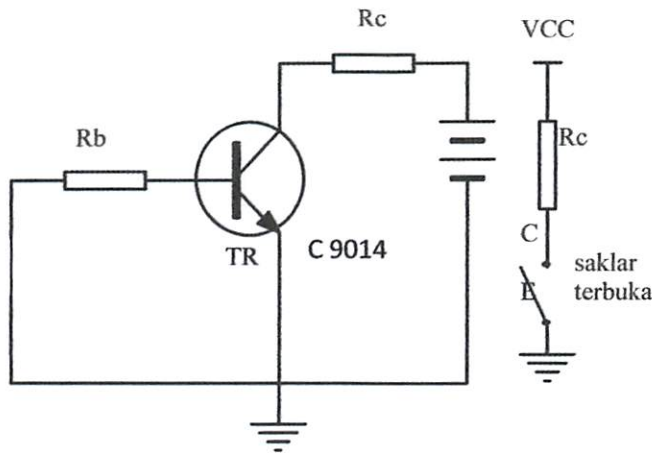
$$I_C = \beta_{dc} \cdot I_B$$

$$I_B = \frac{(V_{CC} - V_{BE})}{R_B}$$

2.4.10. Daerah *Cut-Off* (Sumbat)

Transistor dalam keadaan *cut off* (sumbat) berlaku hal-hal sebagai berikut :

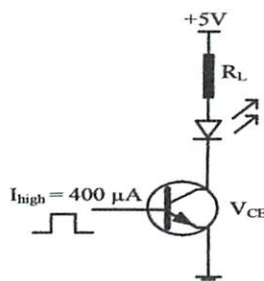
- Arus I_b sama dengan 0 volt
- Arus I_c sangat kecil sekali sehingga dapat diabaikan
- V_{cc} sama V_{ce}



Gambar 2–17 Transistor dalam Keadaan *Cutt Off* (Sumbat)

(Sumber: www.electroniclab.com, rubrik elka dasar, aswan hamonangan)

Jika kemudian tegangan V_{CC} dinaikkan perlahan - lahan sampai tegangan V_{CE} tertentu tiba - tiba arus I_C mulai konstan. Pada saat perubahan ini, daerah kerja transistor berada pada daerah *cut-off*, yaitu dari keadaan saturasi (OFF) lalu menjadi aktif (ON). Perubahan ini dipakai pada sistem digital yang hanya mengenal angka biner 0 dan 1 yang tidak lain dapat direpresentasikan oleh status transistor OFF dan ON.



Gambar 2–18 Rangkaian *Driver LED*

(Sumber: www.electroniclab.com, rubrik elka analog, aswan hamonangan)

Misalkan pada rangkaian *driver* LED di atas, transistor yang digunakan adalah transistor dengan $b = 50$. Penyalan LED diatur oleh sebuah gerbang logika (*logic gate*) dengan arus *output high* = $400 \mu\text{A}$ dan diketahui tegangan *forward* LED $V_{\text{LED}} = 2,4 \text{ Volt}$. Lalu pertanyaannya adalah berapakah seharusnya resistansi R_L yang dipakai?

$$\begin{aligned} I_C &= b \cdot I_B \\ &= 50 \times 400 \mu\text{A} \\ &= 20 \text{ mA} \end{aligned}$$

Arus sebesar ini cukup untuk menyalakan LED pada saat transistor *cut-off*. Tegangan V_{CE} pada saat *cut-off* idealnya = 0, dan aproksimasi ini sudah cukup untuk rangkaian ini.

$$\begin{aligned} R_L &= (V_{\text{CC}} - V_{\text{LED}} - V_{\text{CE}}) / I_C \\ &= (5 - 2,4 - 0) / 20 \text{ mA} \\ &= 2,6 \text{ V} / 20 \text{ mA} = 130 \text{ Ohm} \end{aligned}$$

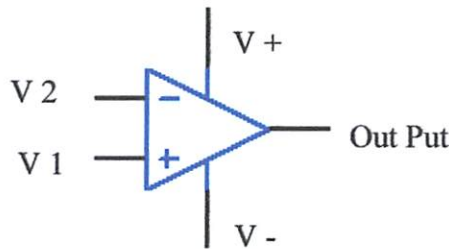
2.4.11. Daerah Breakdown

Dari kurva kolektor, terlihat jika tegangan V_{CE} lebih dari 40 V, arus I_C menanjak naik dengan cepat. Transistor pada daerah ini disebut berada pada daerah *breakdown*. Seharusnya transistor tidak boleh bekerja pada daerah ini, karena akan dapat merusak transistor tersebut. Untuk berbagai jenis transistor, nilai tegangan V_{CEmax} yang diperbolehkan sebelum *breakdown* bervariasi. V_{CEmax} pada *databook* transistor selalu dicantumkan juga.

2.4.12. Pemanding (*Comparator*)

Komparator adalah rangkaian yang membandingkan sinyal input tegangan V_1 dengan tegangan acuan V_2 . jika kondisi dimana tegangan tak membalik lebih

besar dari tegangan membalik komparator menghasilkan tegangan yang lebih tinggi, namun bila masukan tak membalik lebih kecil daripada masukan membalik maka nilai tegangan keluarannya rendah.



Gambar 2-19 Pembanding (Comparator)

(Sumber: www.labITB.com)

Dari gambar tersebut dapat dijelaskan keadaan sebagai berikut:

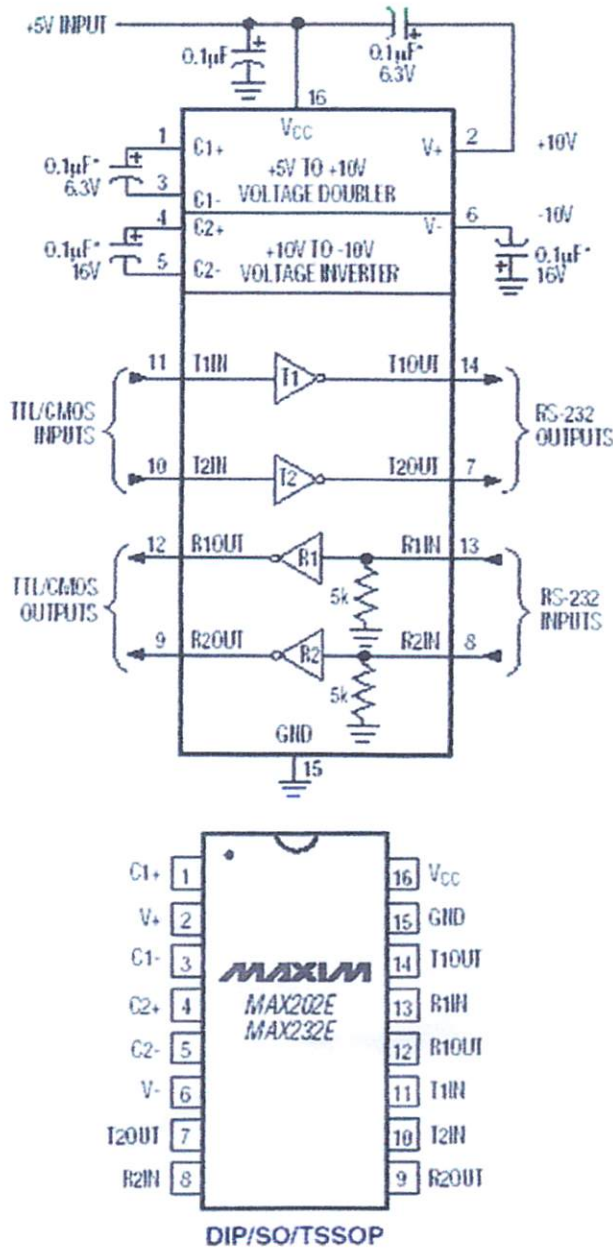
$V1 > V2$: maka $V0 = \text{High}$

$V1 < V2$: maka $V0 = \text{Low}$

2.5. RS 232

RS-232 (*Recommended Standard number 232*) adalah suatu standar antarmuka yang dipublikasikan oleh EISA (*Electronic Industries Association*), untuk interfece antara peralatan terminal data dan peralatan komunikasi data, dengan menggunakan data biner serial sebagai data yang ditransmisikan. IC Max 232 merupakan converter tegangan dari level-level TTL Cmos ke level RS 232. Max 232 ini mempunyai empat buah bagian converter yaitu dua buah driver receiver dan dua buah driver transmitter. Antarmuka RS-232 digunakan dalam banyak aplikasi komunikasi data. RS 232 merupakan salah satu jenis antarmuka (*interface*) dalam proses transfer data antar komputer dalam bentuk serial transfer.

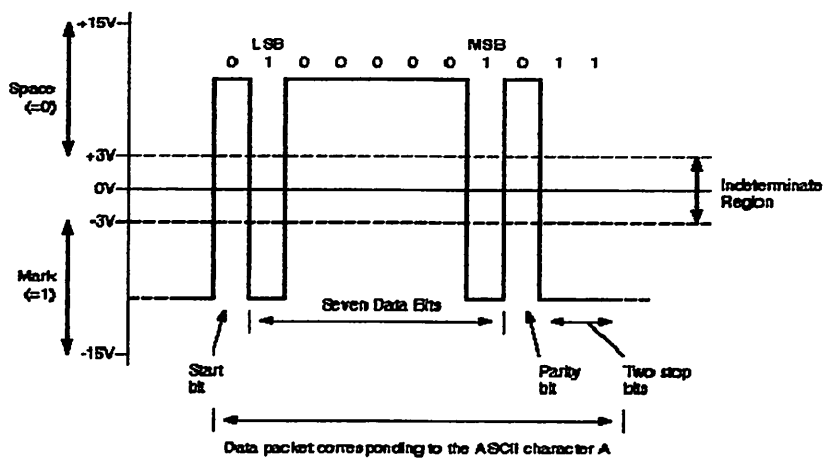
Hal-hal yang perlu diketahui dalam standar antarmuka RS232 antara lain: tegangan standar bagi data *biner* 0 dan 1, sinyal-sinyal yang dipergunakan, dan cara interkoneksi antar RS-232.



Gambar 2-20. Konfigurasi Pin dan blok diagram RS 232

2.5.1. Tegangan RS-232

Untuk menampilkan data biner dibutuhkan dua besaran tegangan. *Biner 1* atau disebut *mark* dinyatakan dengan tegangan antara -3 V sampai dengan -15 V , sedang biner 0 atau yang disebut *space* dinyatakan tegangan antara $+3\text{ V}$ sampai $+15\text{ V}$. tegangan antara -3 V sampai dengan $+3$ adalah tegangan *invalid*. Tegangan yang mewakili *biner nol* dan satu ditunjukkan dalam gambar 2-21 berikut ini:



Gambar 2-21
Tegangan Yang Mewakili Biner 0 dan 1.

2.5.2. Sinyal-sinyal RS-232

Standar antarmuka RS-232 mendefinisikan sinyal-sinyal yang dipakai baik untuk mentransmisikan/ menerima data maupun untuk proses jabat tangan (*handshaking*). Dalam aplikasi sinyal-sinyal RS-232 ini dihubungkan dengan konektor 25 pin (DB-25) atau 9 pin (DB-9). Pada tabel 2-4 berikut ini diberikan nama sinyal penting beserta hubungannya dengan konektor DB-9 maupun DB-25.

Tabel 2-6 Sinyal-Sinyal Untuk Konektor DB-9 Dan DB-25

Nomor Pin		Nama Sinyal
DB 9	DB 25	
1	8	DCD (<i>Data Carrier Detect</i>)
2	3	RD (<i>Receive Data</i>)
3	2	TD (<i>Transmit Data</i>)
4	20	DTR (<i>Data Terminal Ready</i>)
5	7	SG (<i>Signal Ground</i>)
6	6	DSR (<i>Data Set Ready</i>)
7	4	RTS (<i>Request To Send</i>)
8	5	CTS (<i>Clear To Send</i>)

2.5.3. Antarmuka Serial RS-232 Pada IBM PC

Pada IBM PC terdapat antarmuka serial yang mengikuti standar antarmuka RS-232. antarmuka ini menggunakan rangkaian terintegrasi UART (*Universal Asynchronous Receiver/ Transmitter*). IBM PC dapat mempunyai beberapa antarmuka serial, dua diantaranya yang paling penting adalah *primary asynchronous communication adaptor* yang disebut COM 1 dan *secondary asynchronous adaptor* yang disebut COM 2.

Tabel 2-7 Address Register RS-232

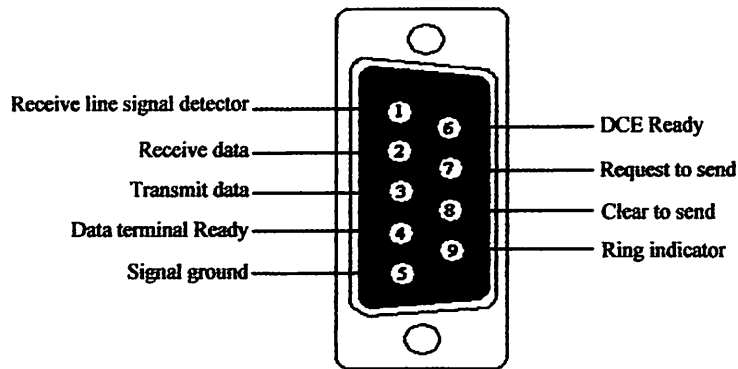
Nama Register	COM1	COM2
<i>TX Buffer (Transmit Buffer)</i>	03F8H	02F8H
<i>RX Buffer (Receive Buffer)</i>	03F8H	02F8H

<i>Baud rate divisor latch LSB</i>	03F8H	02F8H
<i>Baud rate divisor latch MSB</i>	03F9H	02F9H
<i>Interrupt Enable Register</i>	03F9H	02F9H
<i>Interrupt identification Register</i>	03FAH	02FAH
<i>Line Control Register</i>	03FBH	02FBH
<i>Modem Control Register</i>	03FCH	02FCH
<i>Line Status Register</i>	03FDH	02FDH
<i>Modem Status Register</i>	03FEH	02FEH

Fungsi dari beberapa register diantaranya adalah sebagai berikut:

- a) *TX buffer*: menampung dan menyimpan data yang akan dikirim keluar. Data ini dikirim oleh CPU ke *TX buffer* setelah mengecek kepastian tentang diperbolehkannya melakukan pengiriman.
- b) *RX buffer* : menampung dan menyimpan data yang diterima dari luar. Data itu harus dibaca oleh CPU setelah mengecek kepastian tentang masukannya data.
- c) *Baud rate divisor last significant bit*: menampung angka byte bobot rendah untuk pembagi clock yang akan dimasukkan agar didapat baud rate yang dipilih. Angka pembagi dapat dipilih antara 01H hingga FFH.
- d) *Baud rate divisor most significant bit*: menampung angka byte bobot tinggi untuk pembagi clock yang akan dimasukkan agar didapat baud rate yang dipilih. Angka pembagi dapat dipilih antara 00H hingga FFH.

e)



Gambar 2-22
Skematik DB 9.

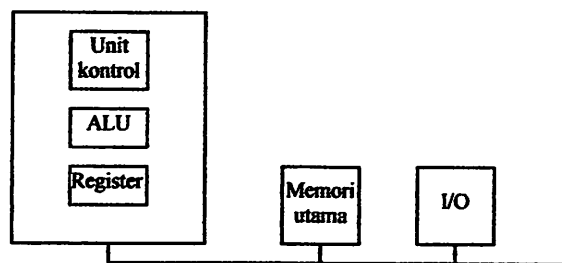
2.6. Personal Komputer

IBM PC mempunyai organisasi dan struktur yang sama dengan PC yang lainnya. Diantaranya prosesor, memori utama, memori skunder dan input/ output.

2.6.1. Prosesor

Organisasi sebuah komputer sederhana yang berorientasi pada bus ditampilkan pada gambar 2-23. *Central Processing Unit (CPU)* adalah "otak" dari sebuah komputer. Fungsi CPU adalah menjalankan program-program yang disimpan dalam memori' utama dengan cara mengambil instruksi-instruksi, menguji instruksi tersebut, dan kemudian menjalankannya satu demi satu. Komponen-komponen itu dihubungkan oleh sebuah bus, yaitu sekumpulan kabel kabel paralel untuk mentransmisikan alamat (address), data dan sinyal-sinyal kontrol. Bus dapat berada diluar CPU, yang menghubungkan CPU dengan memori dan peralatan I/O (input/output). CPU terdiri dari beberapa bagian berbeda. Unit kontrol bertanggung jawab mengambil instruksi-instruksi dari memori utama dan menentukan jenis instruksi tersebut. Unit logika aritmatik (ALU) menjalankan operasi-operasi seperti penjumlahan dan Boolean AND.

CPU juga berhasil sebuah memori kecil berkecepatan tinggi yang digunakan untuk menyimpan hasil-hasil sementara dan informasi kontrol tertentu. Memori ini terdiri dari sejumlah register, yang masing-masing memiliki ukuran dan fungsi tersendiri. Biasanya, seluruh register itu memiliki ukuran sama. Setiap register dapat menyimpan satu bilangan, hingga mencapai jumlah maksimum tertentu tergantung pada ukuran register tersebut. Register-register dapat dibaca dan ditulis dengan kecepatan tinggi karena berada dalam CPU. Register yang paling penting adalah Program Counter (PC), yang menunjuk ke instruksi berikutnya yang harus diambil untuk dijalankan. Fungsi penting lainnya adalah *Instruction Register (IR)*, yang menyimpan instruksi yang sedang dijalankan.



Gambar 2-23. Organisasi Komputer Sederhana Dengan CPU dan Peralatan

2.6.2. Memori Utama

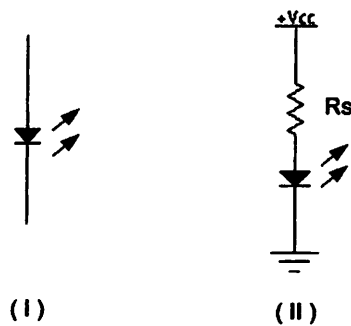
Memori adalah bagian dari komputer tempat program-program dan data data disimpan. Tanpa sebuah memori sebagai tempat untuk mendapatkan informasi guna dibaca dan ditulis oleh mikroprosesor, maka tidak akan ada komputer-komputer digital dengan sistem penyimpanan program.

2.6.3. Memori Skunder

Memori skunder terdiri dari disk magnetik, floppy disk, disk-disk IDE, disk-disk SCSI, RAID, CD-ROM, CD-RW, DVD dan banyak lagi yang lainnya.

2.7. LED (*Light Emitting Diode*)

Dioda pancar cahaya (*light Emitting Diode* = LED) adalah dioda semikonduktor khusus yang dirancang untuk memancarkan cahaya apabila arus melaluinya. Apabila diberi bias maju, energi elektron yang mengalir diubah menjadi energi cahaya. LED harus dioperasikan di dalam ukuran kerja tegangan dan arus tertentu untuk mencegah kerusakan. Sebagian besar LED membutuhkan 1,2 V sampai 2,5 V dan arus diantara 20 mA sampai 50 mA. Keuntungan utama penggunaan LED sebagai sumber cahaya dibandingkan dengan bola lampu cahaya biasa adalah penggunaan daya yang jauh lebih rendah, jauh lebih lama umurnya, dan beroperasi dengan kecepatan tinggi. Dioda konvensional mengubah energi menjadi panas. Dioda *arsenide gallium* mengubah energi menjadi panas dan sinar inframerah.



Gambar 2-24

Lambang skematis dan contoh rangkaian dari LED

Sumber: Malvino, 1985: 97

Cara mengendalikan LED yaitu dengan memperhitungkan arus dan tegangan sumber. Besar arus LED yang diberikan dalam contoh rangkaian Gambar 2.19 adalah (Malvino, 1985:97):

$$I = \frac{V_{cc} - V_{IR}}{R_s} \dots\dots\dots 2-17$$

$$R_s = \frac{V_{cc} - V_{IR}}{I} \dots\dots\dots 2-18$$

2.7. WIRELESS-CAMERA

Kamera disini berfungsi untuk mengambil gambar dengan spesifikasi seperti berikut:

- TV system : NTSC / EIA
- Frekwensi : 900 MHz, 1200 MHz, 2400 MHz
- Minimal illumination : 2 LUX
- Output power : 200 mW
- Camera power : DC +8V 200 mA
- Reciver power : DC +9V 500 mA
- Image Pickup : 1/3, ¼
- Scan Frequency : NTSC/EIA: 60Hz

BAB III

PERENCANAAN DAN PEMBUATAN ALAT

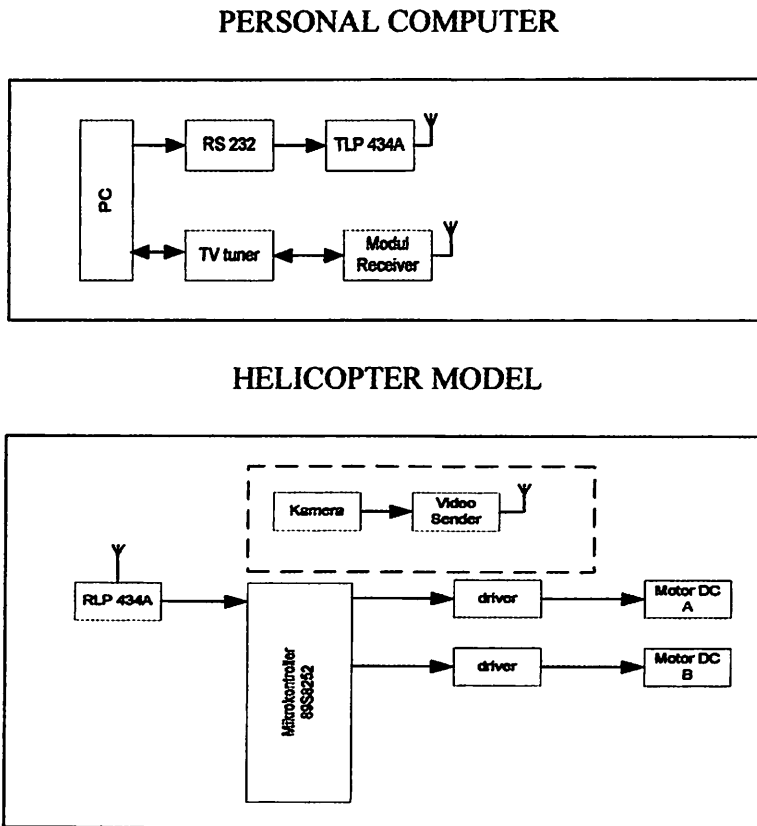
Dalam bab ini akan dibahas perancangan dan pembuatan alat. Pembahasan akan dilakukan pada setiap blok rangkaian, cara kerja masing-masing blok rangkaian, perhitungan dan fungsi masing-masing blok rangkaian tersebut. Secara garis besar terdapat dua bagian perangkat yang ada yaitu :

- Perancangan perangkat keras (*Hardware*).
- Perancangan perangkat lunak (*Software*).

Pada perancangan perangkat keras akan meliputi seluruh *peripheral* yang digunakan pada sistem ini. Pada perancangan perangkat lunak akan meliputi diagram alir dan *software* secara umum, akan tetapi kedua perangkat ini dalam kerjanya akan saling menunjang satu sama lain.

Peralatan yang digunakan adalah satu set PC (personal computer) ketika kita menekan keyboard untuk memasukkan data sebagai inputan, maka kemudian data akan dipancarkan oleh TLP434A sebagai transmitter dan selanjutnya data diterima oleh RLP434A sebagai receiver dan kemudian akan diteruskan ke mikrokontroler AT89S8252 untuk diproses sebagai inputan yang akan mengaktifkan motor dc.

3.1. Blok Diagram Keseluruhan Sistem



Gambar 3-1 Diagram Blok Sistem

Keterangan Blok Diagram Sistem:

➤ *Keyboard PC*

Alat pengendali gerak helicopter (kemudi helicopter) dari jauh.

➤ TLP434A

Berfungsi sebagai pengirim data melalui frekuensi tertentu radio frekuensi (433,92 MHz). Digunakan *hardware* TLP434A dengan spesifikasi, 4 pin dengan fungsi yaitu 1 pin sebagai *Vcc*, 1 pin sebagai *ground*, 1 pin sebagai data digital *input* dan 1 pin sebagai *RF output*.

➤ RLP434A

Berfungsi sebagai penerima data melalui frekuensi tertentu (433,92 MHz). Digunakan *hardware* RLP434A dengan spesifikasi, 8 pin dengan fungsi yaitu 2 pin sebagai Vcc, 3 pin sebagai *ground*, 1 pin sebagai data *digital output*, 1 pin *linear output*, dan 1 pin untuk antena.

➤ IC HT648L

IC Decoder yang berfungsi memproses 1 inputan data menjadi beberapa data outputan dari *receiver*. Digunakan *Decoder* HT648L.

➤ MIKROKONTROLLER AT89S8252

Berfungsi sebagai pengontrol semua system yang memiliki spesifikasi 8Kbytes PEROM 256bytes RAM internal,32 Programmable I/O lines,@Kbytes EEPROM dan 3 buah timer counter 16 bit.

➤ *Driver*

Rangkaian untuk mengendalikan motor dc.

➤ Motor DC (A/PRIMER)

Sebagai penggerak baling-baling atas helicopter dengan berbagai versi kecepatan untuk bergerak atas dan bawah.

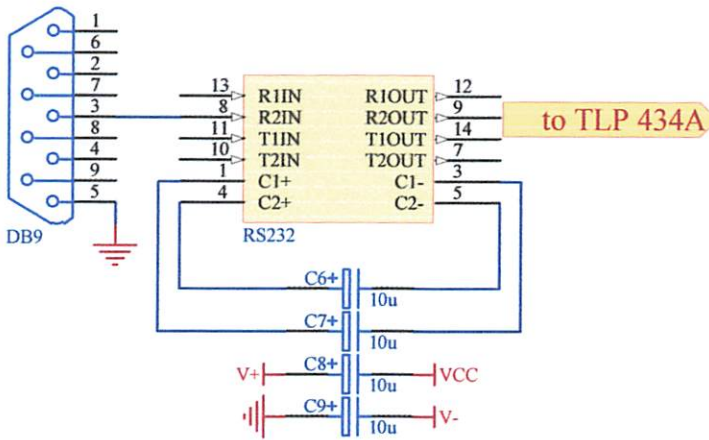
➤ Motor DC (B/SECONDARY)

Sebagai penggerak baling-baling belakang yang hanya dapat berbelok ke kanan atau ke kiri dan sebagai penyeimbang.

3.2. Perancangan Perangkat Keras (Hardware)

3.2.1. Perancangan Komunikasi Antara Alat Dengan PC

Komunikasi antara alat dengan PC akan dilakukan secara serial menggunakan *port* serial (*Com*) dari PC. Komunikasi tersebut dirancang menggunakan *baud rate* 9600 bps tanpa paritas, 1 bit start, 8 bit data, dan satu bit stop. Dikarenakan standart komunikasi serial dari PC menggunakan *standart* komunikasi RS232 yang memiliki *range* logika tinggi (H) adalah sebesar -15 Volt sampai -3 Volt, dan logika rendah (L) sebesar 3 Volt sampai 15 Volt. Sedangkan mikrokontroller menggunakan logika TTL yang memiliki logika tinggi (H) sebesar 3 volt sampai 5 volt, dan logika rendah (L) 0 volt sampai 0,45 volt, maka dibutuhkan rangkaian penyesuai kedua kondisi logika tersebut. Perangkat utama dari rangkaian penyesuai kondisi logika RS232 dengan kondisi logika TTL adalah IC MAX 232. Perancangan rangkaian selengkapnya ditetapkan pada *data sheet* seperti pada gambar di bawah ini:

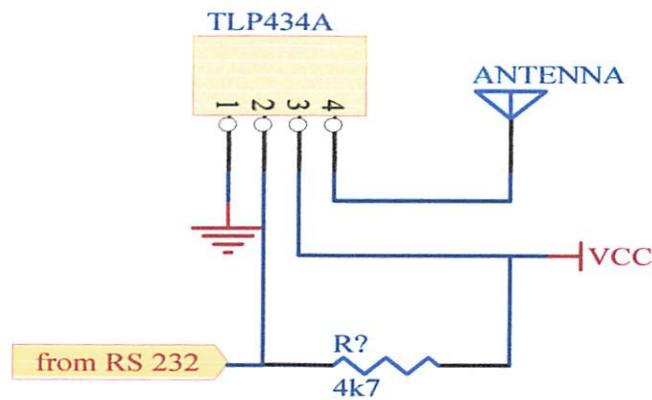


Gambar 3-2
Perancangan Rangkaian RS 232

3.2. 2. Perancangan TLP434A

Untuk pengiriman data digunakan TLP434A yang bekerja melalui gelombang yang mempunyai frekuensi 433.99MHz. Alat ini sangat mudah digunakan karena tidak banyak membutuhkan banyak komponen pendukung, serta membutuhkan tegangan yang relatif kecil yaitu 2-5 Volt. Konfigurasi pin – pin TLP434A dalam perancangan adalah :

1. Kaki 1 dihubungkan dengan *ground*
2. Kaki 2 dihubungkan dengan pin R2_{OUT} dari RS232 sebagai data *input*
3. Kaki 3 dihubungkan dengan sumber tegangan
4. Kaki 4 dihubungkan dengan antenna

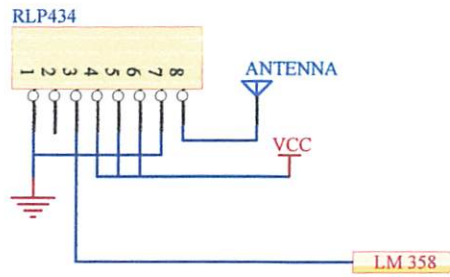


Gambar 3-3 Rangkaian TLP434A

3.2.3. Perancangan RLP434A

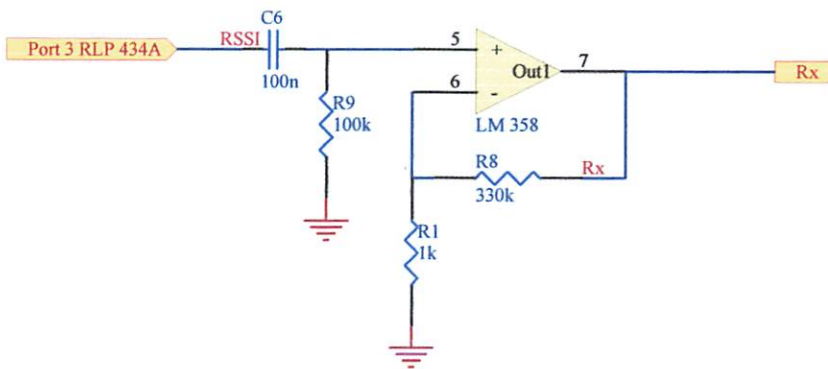
Konfigurasi perancangan pin-pin RLP434A adalah :

1. Kaki 1 dan 7 dihubungkan dengan *ground*
2. Kaki 2 sebagai *output* ke mikrokontroller
3. Kaki 3 yaitu pin RSSI dihubungkan dengan pin comparator
4. Kaki 4, 5, dan 6 dihubungkan dengan *Vcc*
5. Kaki 8 dihubungkan dengan antena.



Gambar 3-4 Rangkaian RLP 434A

3.2.4. Perancangan Penguatan



Gambar 3-5 Rangkaian Penguat Tak Membalik (*Non Inverting*)

Keluaran dari receiver RLP 434A diumpankan ke penguat non inverting. Fungsi dari penguatan ini adalah untuk menguatkan amplitudo sinyal keluaran receiver RLP 434A.

Dalam perancangan ini besar penguatan yang dibutuhkan adalah 331 kali, maka untuk mencari nilai RF jika nilai R1 sudah ditentukan sebesar 1K Ω adalah:

$$A = \frac{V_{out}}{V_{in}} = \left[\left(\frac{R_f}{R_1} \right) + 1 \right]$$

$$A = \left[\left(\frac{330k}{1k} \right) + 1 \right]$$

$$= 331$$

$$A_v = \frac{R_f}{R_1} + 1$$

$$331 = \frac{R_f}{1K} + 1$$

$$331 = \frac{R_f}{1K} + \frac{1K}{1K}$$

$$331 = \frac{R_f + 1K}{1K}$$

$$331K = R_f + 1K$$

$$R_f = 331K - 1K$$

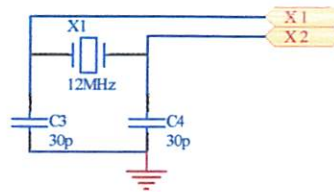
$$= 330 K\Omega$$

3.2.5. Mikrokontroler AT89S8252

3.2.5.1. Perancangan Rangkaian Clock

Kecepatan proses yang dilakukan oleh mikrokontroler ditentukan oleh sumber *clock* yang mengendalikan mikrokontroler tersebut. Sistem yang dirancang ini menggunakan osilator internal yang telah tersedia dalam *chip* AT89S8252. Untuk menentukan frekuensi osilatornya cukup dengan menghubungkan kristal dalam pin 19 (X1) dan pin 18 (X2) serta dua buah kapasitor ke *ground*.

Besarnya kapasitansinya disesuaikan dengan spesifikasi dalam lembar data AT89S8252 yaitu 33pF. Kristal yang digunakan adalah 12 MHz. gambar 3-8 memperlihatkan rangkaian *clock* yang dirancang.

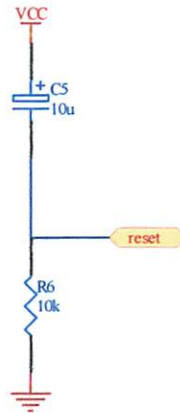


Gambar 3-6 Rangkaian Clock untuk MCU AT89S8252

Dalam sistem ini, rangkaian terdiri dari dua buah kapasitor sebesar 33 pF dan sebuah kristal sebesar 12 MHz.

3.2.5.2 Perancangan Rangkaian Reset

Pin reset pada mikrokontroler merupakan masukan aktif high (1). Pulsa transisi dari low (0) dan high (1) akan mereset mikrokontroler menuju alamat 0000H. pin reset dihubungkan dengan rangkaian power on reset yang diperlihatkan pada gambar 3-9 berikut ini:



Gambar 3-7 Rangkaian Reset untuk MCU AT89S8252

Karena kristal yang digunakan mempunyai frekuensi sebesar 11,0592 MHz maka satu periode membutuhkan waktu sebesar:

$$\begin{aligned}
 T &= \frac{1}{f_{XTAL}} \\
 &= \frac{1}{11,0592 \text{ MHz}} \text{ S} \\
 &= 9,042 \times 10^{-8} \text{ S}
 \end{aligned}$$

Sehingga waktu minimal logika tinggi yang dibutuhkan untuk me-reset mikrokontroler adalah:

$$\begin{aligned}
 \text{Reset (min)} &= T \times \text{periode yang dibutuhkan} \\
 &= 9,042 \times 10^{-8} \times 24 \\
 &= 2,17 \mu\text{S}
 \end{aligned}$$

Mikrokontroler membutuhkan waktu minimal 2,17 μS untuk me-reset. Waktu minimal inilah yang dijadikan pedoman untuk menentukan nilai R dan C. dari persamaan diatas dengan menentukan nilai R = 10 K Ω dan C = 10 μF , maka:

$$T = 0,357 * R * C$$

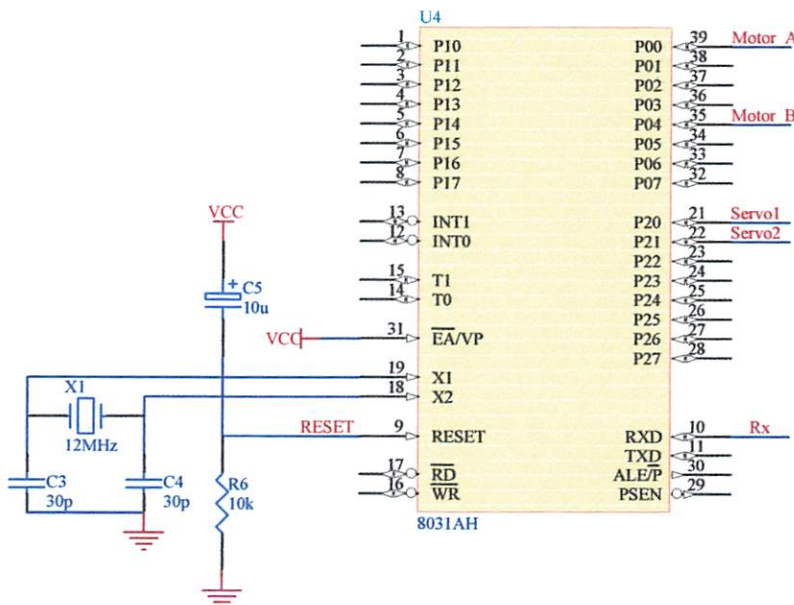
$$= 0,357 * 10 \times 10^6 \Omega * 10 \times 10^{-6}$$

$$= 35,7 \text{ mS.}$$

Jadi dengan nilai komponen $R = 10 \text{ K}\Omega$ dan $C = 10 \mu\text{F}$ dapat memenuhi syarat minimal untuk waktu yang dibutuhkan oleh mikrokontroler.

3.2.5.3 Perancangan Penggunaan Port pada Mikrokontroler AT89S8252

Dalam perancangan dan pembuatan rangkaian pada alat pengirim gambar dari helicopter model yang dikontrol oleh personal computer ini menggunakan mikrokontroler AT89S8252 bertujuan untuk mendapatkan rangkaian yang praktis dan ringkas. IC mikrokontroler AT89S8252 ini sendiri memiliki fasilitas EEPROM sebagai memory program, sehingga sistem alat menjadi lebih sederhana. Adapun aplikasi mikrokontroler AT89S8252 dalam perancangan ini adalah sebagai berikut:

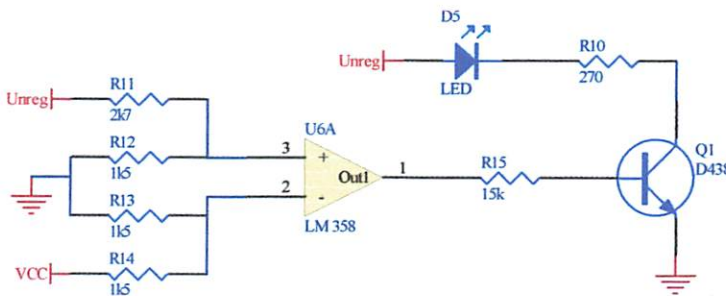


Gambar 3-8 Rangkaian MCU AT89S8252

Mikrokontroller AT89S8252 memiliki 4 port paralel yang masing-masing digunakan sebagai berikut:

- Port 0 (P0.0) digunakan sebagai port data untuk pengendali kecepatan motor A.
- Port 0 (P0.4) digunakan sebagai port data untuk pengendali kecepatan motor B.
- Port 2.0 digunakan sebagai port untuk pengendali gerak servo 1.
- Port 2.1 digunakan sebagai port untuk pengendali gerak servo 1.
- Port 3.0 (RXD) digunakan untuk receiver RLP 434A.

3.2.6. Perancangan Komparator Tegangan



Gambar 3-9 Rangkaian Komparator Tegangan

Comparator disini berfungsi untuk membandingkan masukan positif (+) dan negatif (-).

Jika positif lebih besar dari negatif ($+ > -$) maka keluaran akan terjadi saturasi positif (+), dan sebaliknya, jika positif lebih kecil dari negatif ($+ < -$) maka keluaran akan terjadi saturasi negatif (-)

$$V_b = \frac{R_2}{R_1 + R_2} \cdot V_a$$

$$\therefore V_{i.1} = V_{i.2}$$

$$V_{i.1} = \frac{1,5 \cdot 10^3}{1,5 \cdot 10^3 + 1,5 \cdot 10} \cdot V_{cc}$$

$$2,5 = 0,36 \cdot V_{bat}$$

$$= 330 \text{ K}\Omega$$

$$V_{bat} = \frac{2,5}{0,36}$$

$$V_{i.1} = \frac{1,5 \cdot 10^3}{1,5 \cdot 10^3 + 2,7 \cdot 10} \cdot V_{bat}$$

$$= 6,94 \text{ V}$$

$$= 0,36 \text{ Vbat}$$

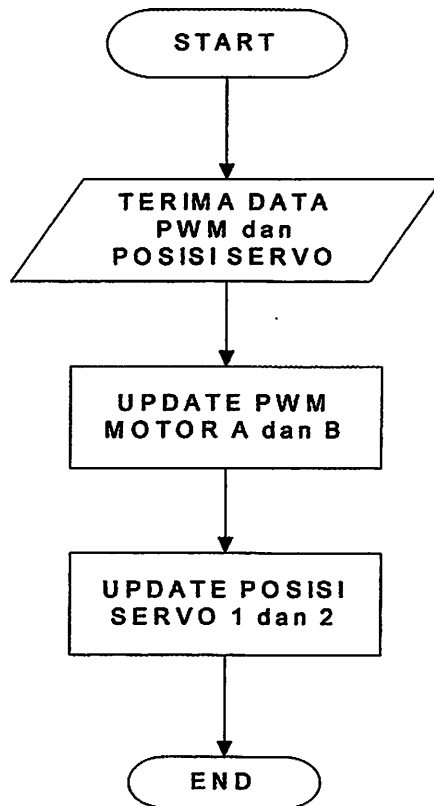
3.3. Perancangan Perangkat Lunak (Software)

Untuk mendukung agar perangkat keras berfungsi sesuai dengan perencanaan, maka diperlukan perangkat lunak sebagai penunjangnya. Perangkat lunak ini sendiri maksudnya adalah suatu program yang kita buat yang nantinya akan ditanam kedalam mikrokontroller AT89S8252. setelah mikrokontroller tersebut diprogram, maka akan diketahui apakah program yang telah kita buat bekerja sesuai dengan yang kita rencanakan atautkah masih memiliki kesalahan.

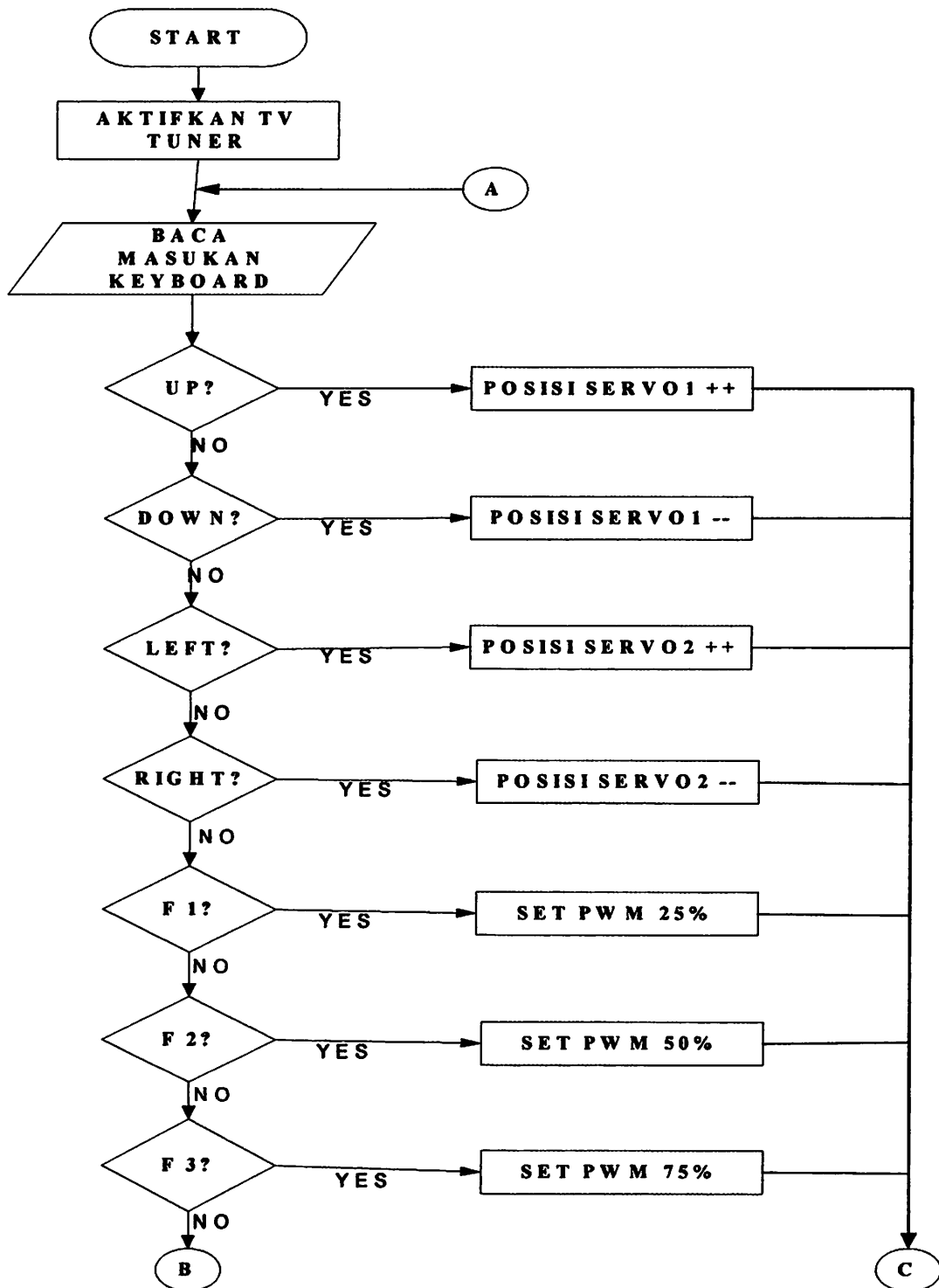
Sistem aplikasi mikrokontroller AT89S8252 ini dapat mengatur dan mengendalikan keseluruhan sistem apabila ada urutan instruksi yang mendefinisikan secara jelas urutan tugas yang harus dikerjakan. Urutan instruksi ini sangat penting untuk didefinisikan, karena mikrokontroller dapat bekerja secara pasti sesuai dengan instruksi yang telah dibuat.

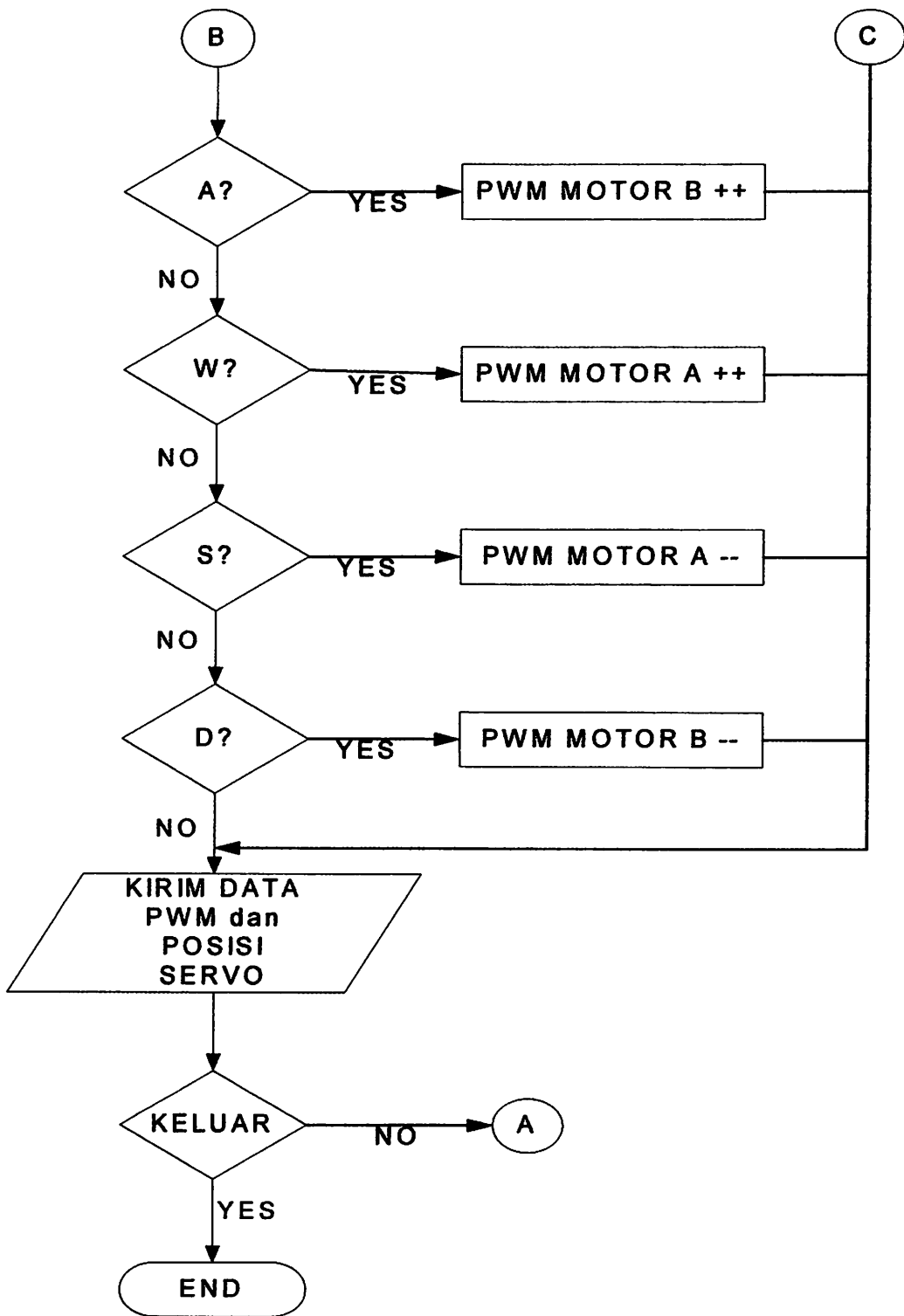
3.4. FLOWCHART

- ✓ Flowchart program microcontroller



✓ Flowchart pada PC





BAB IV

ANALISA DAN PENGUJIAN ALAT

Pada bab ini membahas cara pengujian dan analisa dari alat yang dirancang, sehingga dapat diketahui apakah alat tersebut dapat bekerja sesuai dengan yang telah direncanakan. Dalam rangka pengujian alat tersebut diuraikan percobaan yang dilakukan untuk mengetahui respon dari keseluruhan alat yang telah dirancang.

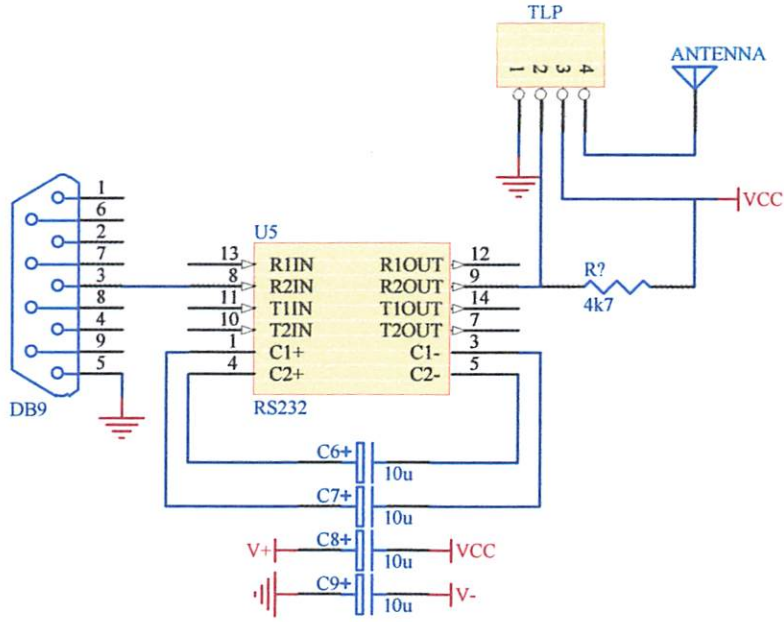
Untuk mengetahui kemampuan alat dan sistem kerja sesuai dengan program yang telah dibuat maka dilakukan pengujian pada alat dan sistem kerja alat dengan prosedur pengujian perblok.

4.1. Pengujian TLP434A dan RLP434A

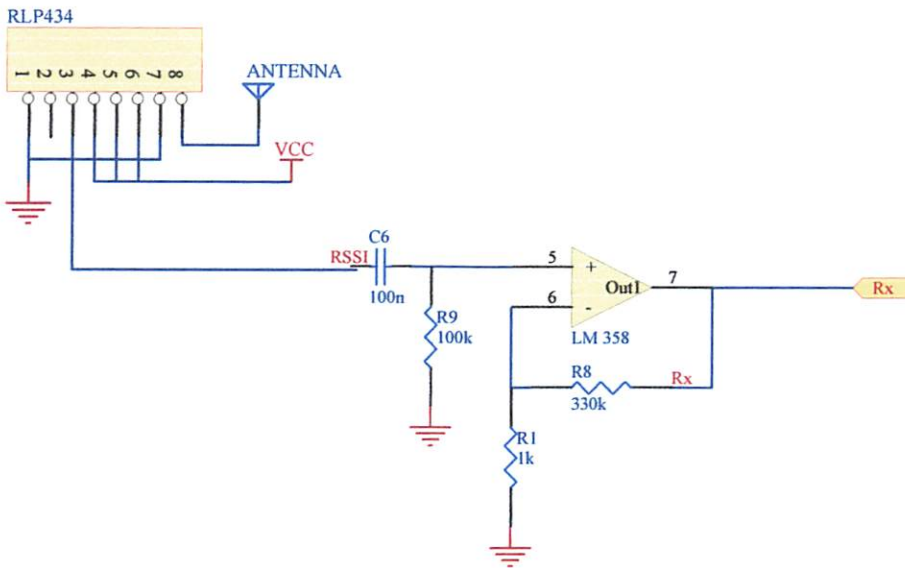
4.1.1. Tujuan

Tujuan pengujian TLP434A dan RLP434A adalah untuk melihat apakah kedua komponen ini memiliki keadaan yang baik untuk mentransfer data dan untuk mengetahui bentuk gelombang yang dihasilkan dengan menggunakan bantuan osiloscope. Pada pengujian ini dilakukan pengiriman data dan melihat outputannya. Dilakukan juga pengujian terhadap jarak yang mampu dicapai oleh TLP434A dan RLP434A dengan halangan maupun tanpa halangan.

4.1.2. Rangkaian Pengujian



Gambar 4-1 Rangkaian Blok Pengiriman



Gambar 4-2 Rangkaian Blok Penerimaan

4.1.3. Peralatan Yang Digunakan

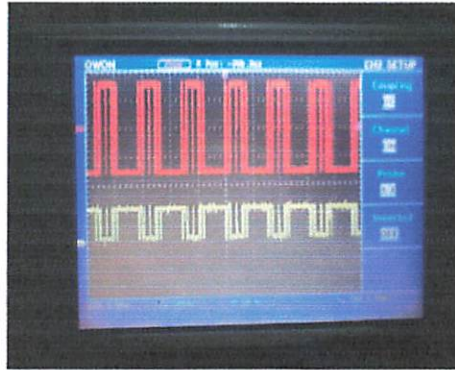
1. Sumber tegangan 5V
2. Rangkaian pengujian
3. Multimeter Digital
4. Oscilloscope

4.1.4. Langkah-Langkah Pengujian

1. Hubungkan pin *Vcc* dan *Ground* pada rangkaian pengujian dengan sumber tegangan 5 volt.
2. Memberikan inputan pada *keyboard* melihat outputannya pada pin data TLP 434A dan RLP434A.
3. Melihat bentuk gelombang keluaran pada oscilloscope.
4. Memisahkan blok pengirim dan blok penerima dengan jarak yang telah ditentukan di ruang terbuka (tanpa halangan).
5. Memisahkan blok pengirim dan blok penerima dengan jarak yang telah ditentukan di ruang tertutup (dengan halangan).
6. Mencatat hasil pengamatan pada tabel.

4.1.5. Hasil Pengujian

4.1.5.1. Hasil Pengujian *Output* Gelombang



Ket : Sinyal Merah = Output dari Pc/RS 232

Sinyal Kuning = input TLP434A

Gambar 4-3 Keluaran Sinyal TLP

4.1.5.2. Hasil Pengujian Pengiriman dan Penerimaan Tanpa Halangan

Tabel 4-1 Hasil Pengujian Jarak Pengiriman dan Penerimaan Data Dengan TLP434A dan RLP434A Tanpa Halangan

Tombol	Jarak (m)				
	1-10	11-20	21-30	31-40	41-50
W	sukses	sukses	sukses	sukses	gagal
S	sukses	sukses	sukses	sukses	gagal
D	sukses	sukses	sukses	sukses	gagal
A	sukses	sukses	sukses	sukses	gagal
F1	sukses	sukses	sukses	sukses	gagal
F2	sukses	sukses	sukses	sukses	gagal
F3	sukses	sukses	sukses	sukses	gagal
☺	sukses	sukses	sukses	sukses	gagal
☺&W	sukses	sukses	sukses	sukses	gagal
☺&S	sukses	sukses	sukses	sukses	gagal

C&D	sukses	sukses	sukses	sukses	gagal
C&A	sukses	sukses	sukses	sukses	gagal
☉&W	sukses	sukses	sukses	sukses	gagal
☉&S	sukses	sukses	sukses	sukses	gagal
☉&D	sukses	sukses	sukses	sukses	gagal
☉&A	sukses	sukses	sukses	sukses	gagal

Keterangan:

Sukses : data yang dikirim berhasil atau terdeteksi oleh penerima dan *driver* bergerak sesuai dengan yang direncanakan.

Gagal : data yang dikirim tidak terdeteksi oleh penerima.

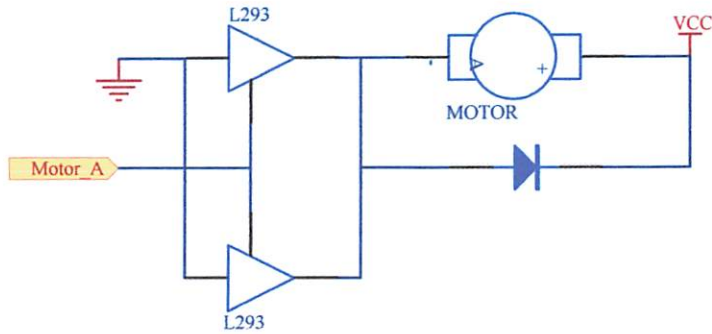
Dari hasil pengujian jarak pengiriman dan penerimaan tanpa halangan dapat di simpulkan bahwa jarak maksimal yang dicapai adalah ± 40 meter dengan kondisi baterai terisi penuh dan antena (tembaga) panjang ± 18 cm dan diameter $\pm 0,5$ mm.

4.1.5.3. Hasil Pengujian Pengiriman dan Penerimaan Dengan Halangan

Tabel 4-2 Hasil Pengujian Jarak Pengiriman dan Penerimaan Data Dengan TLP434A dan RLP434A Dengan Halangan

Tombol	Jarak (m)		
	1-10	11-20	21-22
W	sukses	sukses	gagal
S	sukses	sukses	gagal
D	sukses	sukses	gagal
A	sukses	sukses	gagal
F1	sukses	sukses	gagal
F2	sukses	sukses	gagal
F3	sukses	sukses	gagal

4.2.1.2. Rangkaian Pengujian



Gambar 4-4 Rangkaian Pengujian Motor DC

4.2.1.3. Peralatan yang digunakan

Peralatan yang digunakan adalah:

- *Power supply* 5 volt DC dan 12 volt DC
- *Digital* multimeter
- Rangkaian *driver* motor DC (A)

4.2.1.4. Langkah Pengujian

Langkah-langkah pengujian antara lain:

- Rangkaian diberi catu daya 5 volt DC
- Motor DC diberi catu daya 12 volt DC
- Dilakukan pengukuran tegangan pada rangkaian pengujian *driver* motor DC menggunakan multimeter digital.

4.2.1.5. Hasil Pengujian

Besar tegangan *output* pada mikrokontroler dengan keluaran *low* dan *high* dapat dilihat pada gambar dibawah ini:



(a)



(b)

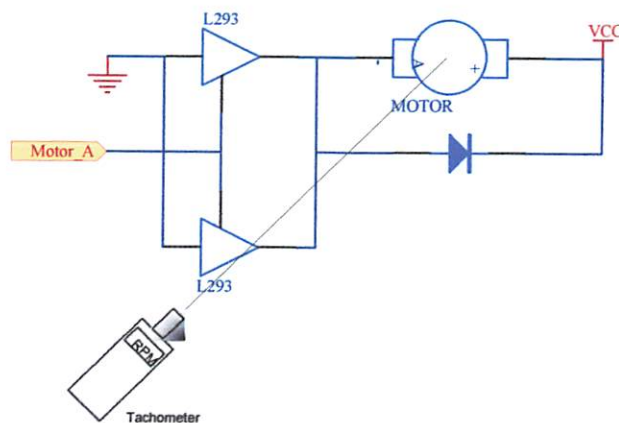
Gambar 4-5 Kondisi Keluaran Port Mikrokontroller
(a) High, (b) Low

4.3. Pengujian Putaran Motor DC

4.3.1. Tujuan

Pengujian ini bertujuan untuk mengetahui putaran pada motor dc dan mengetahui bentuk gelombang dari PWM.

4.3.2. Rangkaian Percobaan



Gambar 4-6 Rangkaian Pengujian Putaran Motor DC

C&D	sukses	sukses	sukses	sukses	gagal
C&A	sukses	sukses	sukses	sukses	gagal
⊕&W	sukses	sukses	sukses	sukses	gagal
⊕&S	sukses	sukses	sukses	sukses	gagal
⊕&D	sukses	sukses	sukses	sukses	gagal
⊕&A	sukses	sukses	sukses	sukses	gagal

Keterangan:

Sukses : data yang dikirim berhasil atau terdeteksi oleh penerima dan *driver* bergerak sesuai dengan yang direncanakan.

Gagal : data yang dikirim tidak terdeteksi oleh penerima.

Dari hasil pengujian jarak pengiriman dan penerimaan tanpa halangan dapat di simpulkan bahwa jarak maksimal yang dicapai adalah ± 40 meter dengan kondisi baterai terisi penuh dan antena (tembaga) panjang ± 18 cm dan diameter $\pm 0,5$ mm.

4.1.5.3. Hasil Pengujian Pengiriman dan Penerimaan Dengan Halangan

Tabel 4-2 Hasil Pengujian Jarak Pengiriman dan Penerimaan Data Dengan TLP434A dan RLP434A Dengan Halangan

Tombol	Jarak (m)		
	1-10	11-20	21-22
W	sukses	sukses	gagal
S	sukses	sukses	gagal
D	sukses	sukses	gagal
A	sukses	sukses	gagal
F1	sukses	sukses	gagal
F2	sukses	sukses	gagal
F3	sukses	sukses	gagal

C&W	sukses	sukses	gagal
C&S	sukses	sukses	gagal
C&D	sukses	sukses	gagal
C&A	sukses	sukses	gagal
⊃&W	sukses	sukses	gagal
⊃&S	sukses	sukses	gagal
⊃&D	sukses	sukses	gagal
⊃&A	sukses	sukses	gagal

Keterangan:

Sukses : data yang dikirim berhasil atau terdeteksi oleh penerima dan *driver* bergerak sesuai dengan yang direncanakan.

Gagal : data yang dikirim tidak terdeteksi oleh penerima.

Dari hasil pengujian jarak pengiriman dan penerimaan dengan halangan dapat di simpulkan bahwa jarak maksimal yang dicapai adalah ± 20 meter dengan kondisi baterai terisi penuh.

4.2. Pengujian Rangkaian *Driver* Motor DC

4.2.1. Pengujian Rangkaian *Driver* Motor DC

4.2.1.1. Tujuan

Mengetahui apakah *driver* Motor DC dapat bekerja dengan baik sesuai yang diharapkan dan mengetahui nilai tegangan pada rangkaian *driver* motor DC.

4.3.3. Peralatan yang digunakan

Peralatan yang digunakan adalah:

- *Power supply* 5 volt DC dan 8,4 volt DC
- Rangkaian *driver* motor dc
- Digital Hand Optical Tachometer
- Oscilloscope

4.3.4. Langkah Pengujian

Langkah-langkah pengujian antara lain:

- Rangkaian diberi catu daya 5 volt DC
- Motor DC diberi catu daya 8,4 Volt DC
- Melakukan pengukuran putaran motor dc dengan Tachometer
- Melihat bentuk keluaran gelombang dengan oscilloscope

4.3.5. Hasil Pengujian

4.3.5.1. Hasil Pengujian Pada Oscilloscope

Hasil pengujian putaran Motor DC pada oscilloscope adalah sebagai berikut:

Tabel 4-3 Hasil Perhitungan Perancangan *Duty Cycle* Motor DC

Tombol	Duty Cycle (%)	Sinyal Analog (V)
F1	25%	6
F2	50%	4,1
F3	75%	2,42

Sinyal analog diatas merupakan tegangan yang dihasilkan dari besarnya *duty cycle* dalam 1 periode, besarnya tegangan tersebut dapat dicari dengan menggunakan perhitungan sebagai berikut:

$$V = \frac{t_1 \cdot V_1 + t_2 \cdot V_2}{t_1 + t_2}$$

Diketahui Vdd adalah 8,4 Volt, maka;

- Untuk tombol “F①”, $V = \frac{(25\% \cdot 0) + (75\% \cdot 8,4)}{25\% + 75\%}$
= 6,3 volt
- Untuk tombol “F②”, $V = \frac{(50\% \cdot 0) + (50\% \cdot 8,4)}{50\% + 50\%}$
= 4,2 volt
- Untuk tombol “F③”, $V = \frac{(75\% \cdot 0) + (25\% \cdot 8,4)}{75\% + 25\%}$
= 2,1 volt



Gambar 4-7 PWM Dengan *Duty Cycle* 25%



Gambar 4-8 PWM Dengan *Duty Cycle* 50%



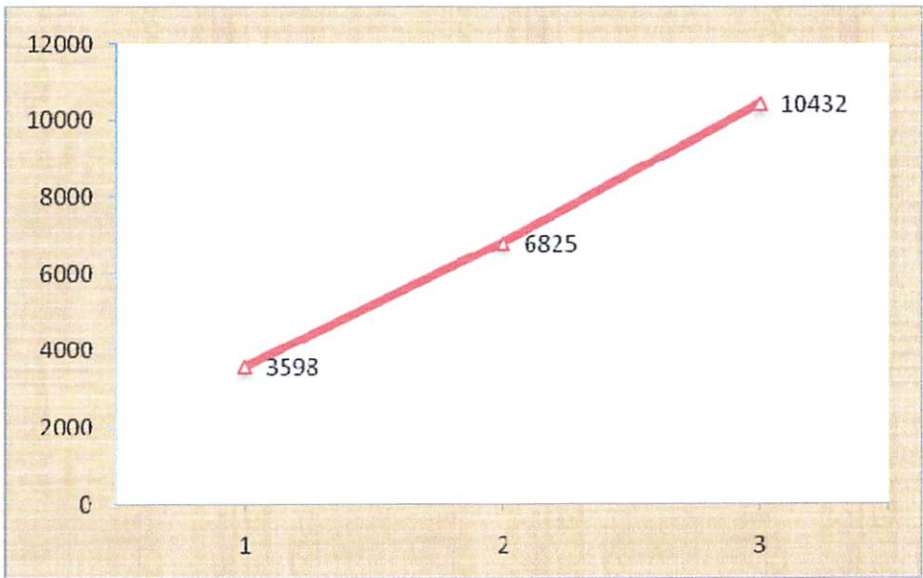
Gambar 4-9 PWM Dengan *Duty Cycle* 75%

4.3.5.2. Hasil Pengujian Menggunakan Tachometer

Pada pengujian putaran motor dc menggunakan Digital Stroboskop Tachometer di dapat hasil sebagai berikut:

Tabel 4-4 Hasil Pengukuran Putaran Motor

Tombol	PWM (%)	Percobaan Pengukuran Putaran Motor DC (rpm)					Rata-rata (rpm)
		Pertama	Kedua	Ketiga	Keempat	Kelima	
F1	25	3598	3597	3598	3599	3598	3598
F2	50	6825	6826	6826	6825	6825	6825
F3	75	10432	10422	10435	10432	10432	10432



Grafik 4-1 Pengukuran PWM Terhadap Putaran Motor DC

4.4. Perancangan Putaran Motor DC

Motor DC mempunyai putaran (rpm) yang bervariasi. Dalam perancangan ini, terdapat tiga kondisi putaran motor dc yang sesuai dengan penekanan tombol masing-masing. Sebelumnya, harus mengetahui putaran maksimal motor dc yang ditentukan dengan melakukan percobaan dengan peralatan sebagai berikut:

- Catu daya (Baterai 8,4V)
- Rangkaian *Driver* Motor DC
- Motor DC
- Digital Stroboskop Tachometer *range* 20-20.000rpm

Tabel 4-5 Putaran Motor DC

Percobaan	Putaran motor DC (rpm)
1	14056
2	13755
3	14064
4	13856
5	14125
Jumlah	69856

Jadi rata rata putaran maksimal motor dc (B) adalah sebagai berikut:

$$\begin{aligned} \text{rata - rata} &= \frac{\text{jumlah hasil percobaan}}{\text{jumlah percobaan}} \\ &= \frac{69856}{5} \\ &= 13971 \text{ rpm} \end{aligned}$$

Jika kecepatan putaran maksimum motor dc adalah 13971 rpm, maka putaran motor dc masing-masing tombol dapat dicari dengan rumus:

$$D = \frac{rpm}{rpm \text{ (max)}} \times 100\%$$

$$rpm = D * rpm \text{ (max)}$$

- Tombol “F①” *Duty Cycle* 25%, rpm yang dihasilkan adalah:

$$Rpm_{25\%} = 0,25 \times 13971$$

$$= 3492 \text{ rpm}$$

- Tombol “F②” *Duty Cycle* 50%, rpm yang dihasilkan adalah:

$$rpm_{50\%} = 0,5 \times 13971$$

$$= 6985 \text{ rpm}$$

- Tombol “F③” *Duty Cycle* 75%, rpm yang dihasilkan adalah:

$$Rpm_{75\%} = 0,75 \times 13971$$

$$= 10478 \text{ rpm}$$



(a)



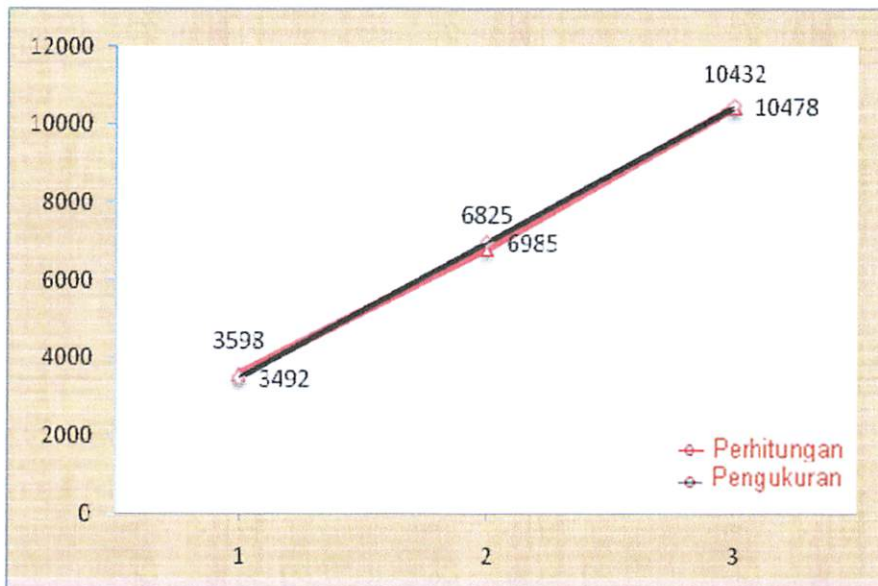
(b)

Gambar 4-10 Pengujian Putaran Motor DC
(a) Pengujian Pertama (b) Pengujian Kedua

Hasil pengukuran putaran motor dc tidak sesuai dengan hasil perhitungan. Ini dikarenakan kondisi baterai sudah lemah yang mengakibatkan konsumsi daya motor dc kurang, Akurasi tachometer, dan kesalahan pengujian.

Tabel 4-6 Perbandingan Perhitungan Dan Pengukuran Putaran Motor DC

Tombol	Putaran Motor DC (rpm)		Error (%)
	Perhitungan	Pengukuran	
F1	3492	3598	3
F2	6985	6825	2,2
F3	10478	10432	0,4
Total	20955	21855	4,2



Grafik 4-2 Perbandingan Pengukuran Dan Perhitungan
PWM Terhadap Putaran Motor DC

Dari percobaan dapat di ambil kesimpulan, semakin besar PWM yang diberikan maka semakin besar pula putaran motor dc yang dihasilkan.

Penyimpangan dari pengambilan data diperoleh dari besarnya selisih antara hasil penunjukan alat ukur yang diuji dengan hasil perhitungan. Jadi besarnya penyimpangan adalah :

$$E = Fu - Fs$$

Dimana : E = Hasil Penyimpangan (Error)

Fu = Hasil Perhitungan.

Fs = Hasil Pengukuran.

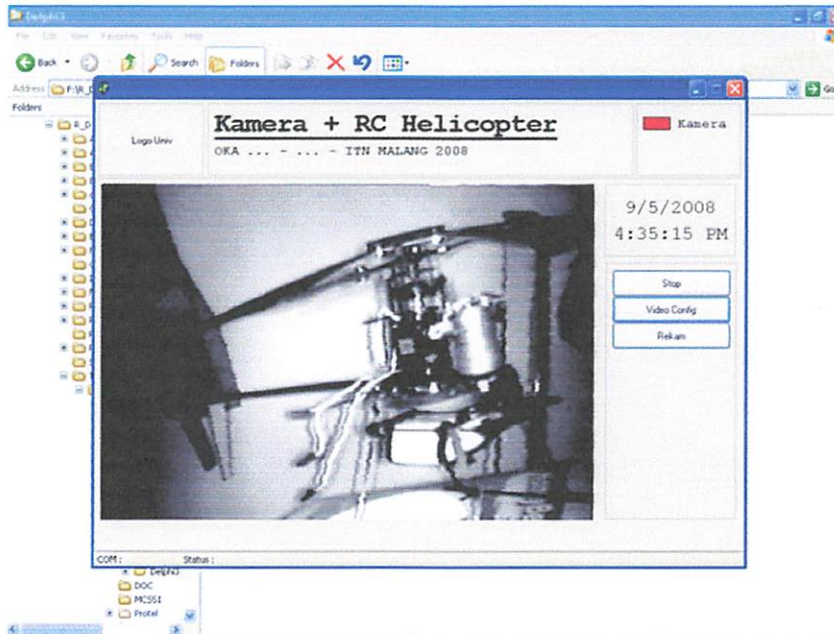
Sedangkan penyimpangan (error) total terhadap perhitungan dalam bentuk persen diperoleh dari :

$$\begin{aligned}\sum \% Penyimpangan &= \frac{\sum Fu - \sum Fs}{\sum Fu} \times 100\% \\ &= \frac{20955 - 21855}{20955} \times 100\% \\ &= 4,2 \%\end{aligned}$$

Sedangkan untuk persentase ketelitian dalam persen diperoleh perhitungan sebagai berikut :

$$\begin{aligned}\sum \% Ketelitian &= 100\% - \sum \% Penyimpangan \\ &= 100\% - 4,2 \%\end{aligned}$$
$$= 95,8 \%$$

4.5. Pengujian review camera cctv



Gambar 4-11 Review camera cctv

BAB V

PENUTUP

5.1. Kesimpulan

Setelah dilakukan pengujian, pengamatan, dan penganalisaan alat berdasarkan *literature*, maka penulis mengambil beberapa kesimpulan:

- Secara keseluruhan sistem pengendalian motor dc pada helicopter model *remote control (R/C)* menggunakan mikrokontroller AT89s8252 telah bekerja dengan baik.
- Jarak maksimal pengiriman dan penerimaan dengan halangan (*indoor*) adalah $\pm 15\text{m}$, untuk kamera adalah $\pm 20\text{ m}$.
- Gerakan yang dapat dilakukan adalah naik ke atas, turun, maju, mundur, belok kanan dan kiri.
- Semakin besar PWM yang diberikan maka semakin besar pula putaran motor dc yang dihasilkan.
- Hasil pengukuran putaran motor dc tidak sesuai dengan hasil perhitungan. Ini dikarenakan kondisi baterai sudah lemah yang mengakibatkan konsumsi daya motor dc kurang, Akurasi tachometer, dan kesalahan pengujian.
- Penyimpangan (*error*) total terhadap perhitungan dalam bentuk persen diperoleh dari :

$$\sum \% \text{Penyimpangan} = \frac{\sum F_u - \sum F_s}{\sum F_u} \times 100\%$$

$$\begin{aligned}
 &= \frac{20955 - 21855}{20955} \times 100\% \\
 &= 4,2\%
 \end{aligned}$$

Sedangkan untuk persentase ketelitian dalam persen diperoleh perhitungan sebagai berikut :

$$\begin{aligned}
 \sum \%Ketelitian &= 100\% - \sum \%Penyimpangan \\
 &= 100\% - 4,2\% \\
 &= 95,8\%
 \end{aligned}$$

5.2. Saran

Beberapa tambahan yang diperlukan dalam meningkatkan kemampuan alat ini adalah:

- Untuk menambah jarak jangkauan dapat diganti dengan pemancar dan antena yang lebih baik.
- Untuk mendapatkan gambar yang lebih baik dapat di ganti dengan kamera yang lebih baik kualitasnya.

DAFTAR PUSTAKA

Budiharto, Widodo. 2006. *Belajar Sendiri Membuat Robot Cerdas*. Jakarta:

Elex Media Koputindo

Budiharto, Widodo. 2005. *Interfacing Komputer dan Mikrokontroler*. Jakarta:

Elex Media Komputindo

Data Sheet, *TLP434A & RLP434A*. Lapiac Teknologi.Inc

www.electroniclab.com, rubrik elka dasar, aswan hamonangan

www.futurlec.com

www.CoolCircuit.com

www.geocities.com

www.holteksemiconductor.com.tw

www.lapiac.com

www.digiware.com

www.datasheet.com

www.delta-electronic.com

www.robotik.com



ભવશાલમ્ભવૃ

PERSEMBAHAN DARI HATI UNTUK HATI

Syukur yang tak terhingga ku ucap kepada pemilik hidup hamba, ALLAH SWT, dan junjungan hamba, Nabi besar MUHAMMAD SAW. Di dalam lindunganNya hamba mampu menyelesaikan satu babak dalam perjalanan hidup hamba, dan dalam gengamanNya hamba berserah dalam ikhtiar untuk masa depan hamba.

Tunduk hormat kepada Ayah Dedy Soeharno & Bunda Tri Punjungwati untuk kesabaran, cinta, kasih sayang & kepercayaan yang diberikan kepada hamba. "Semoga anakmu ini mampu selalu membanggakan ayah&bunda"

De' Yudha, terima kasih untuk cinta, kasih sayang dan game2 yang ente install di computer, bisa ngilangin stress...(kuliahu cepet selesain yo le...)

Gemblong, makasih untuk keceriaannya dan sms kangennya slalu bikin semangat pengen cepet2 selesain skripsi biar bias cepet pulang.

"Semoga mase bisa jadi ka2k yang baik buat kalian"

Ovan & Hepi makasih untuk keceriaannya.

Makasih untuk seluruh keluarga yang selalu ada dibelakangku, mensupport tanpa lelah, My deepest love, My wife (Mama Aminila Sari), My Lil' Sons (Kakak Moshi-moshi, kakak Muhammad Faisal Raisya Waldani & Ade' Zahratus Shita), kalian adalah lentera jiwaku cahaya hidupku, kalian adalah keluarga kecil papa, cinta dalam hidup papa.

For all my friends, agus danny, ongly, pipie, ponchos, mupid, bigshow, dan semuanya pokok wes arek elka 4 (suwun atas pertemanan & supportnya... lets make some noise guys), anak2 DS, BG dan seluruh temen di villa sengkaling, makasih banyak bro untuk semuanya... anak2 SENGKALING GYM (makasih bikin ane sehat..hehehe...), tedjo, grandong, pak budi ndut, andro (enak yo mumet skripsi?hehe...), Kenyob, Poncol, Jack, Dona, Sari. (Ayo SEMANGAAAAT...), Mas Ruri suwun yo mas tak repoti terus...

Para dosen2 yang ku banggakan, terimakasih so much untuk ilmu yang ada di otakku. Dan semua temen2 yang ga bisa terucap, ane terima kasih banyak untuk pertemanan ini.

With Love...

ANGGA WIDYA OKTAVIAN



INSTITUT TEKNOLOGI NASIONAL
Jl. Raya Karanglo Km 2
MALANG

FORMULIR BIMBINGAN SKRIPSI

Nama : ANGGA WIDYA OKTAVIAN
NIM : 02.17.140
Masa Bimbingan : 15 Desember 2007 s/d 15 Juni 2008
Judul Skripsi : Perancangan dan Pembuatan Pengirim Gambar Dari Helikopter Model Yang Dikontrol Oleh Personal Komputer (PC)

NO	TANGGAL	URAIAN	PARAF PEMBIMBING
1	16/07 /07	proposal skripsi	
2	25/08 /07	Komulturni Bab I & II Revisi	
3	29/08 /07	Revisi Bab I & II dilanjutkan ke Bab berikutnya!	
4	1/09 /07	Komulturni Bab III untuk kesempurnaan bab tersebut	
5		Revisi perolehan bab III	
6	3/09 /07	Komulturni Bab IV & V lanjutan ke masalah skripsi selanjutnya!	
7	27/09 /07	Revisi skripsi	
8			
9			
10			

Malang,
Dosen Pembimbing

(I Komang Sontawirata, ST, MT)
NIP.P. 1030100361

Form S-4



INSTITUT TEKNOLOGI NASIONAL
Jl. Raya Karanglo Km 2
MALANG

FORMULIR BIMBINGAN SKRIPSI

Nama : ANGGA WIDYA OKTAVIAN
NIM : 02.17.140
Masa Bimbingan : 15 Desember 2007 s/d 15 Juni 2008
Judul Skripsi : Perancangan dan Pembuatan Pengirim Gambar Dari Helikopter Model Yang Dikontrol Oleh Personal Komputer (PC)

No	Tanggal	Uraian	Paraf Pembimbing
1	15-12-2007	Proposal Skripsi (acc)	
2	17-07-2008	Bab I dan bab II (revisi)	
3	21-07-2008	Bab II (acc) , Bab III (revisi)	
4	4-08-2008	Bab III (acc) , Bab IV (revisi)	
5	21-08-2008	Bab IV (acc) , Bab V (acc)	
6	13-09-2008	Makalah Seminar Hasil (revisi)	
7	15-09-2008	Makalah Seminar Hasil (acc)	
8	20-09-2008	Ujian skripsi	
9			
10			

Malang,
Dosen Pembimbing

(Ir. Eko Nurcahyo)
NIP.Y. 1028700172

Form S-4



PERMOHONAN PERSETUJUAN SKRIPSI

Yang betanda tangan dibawah ini :


Nama : ANEEA WIDYA OKTAVIAN
NIM : 02.17.140
Semester : 10
Fakultas : Teknologi Industri
Jurusan : Teknik Elektro S-1
Konsentrasi : Teknik Elektronika / Teknik Energi Listrik
Alamat : ULLA SENGALING D-5

Dengan ini kami mengajukan permohonan untuk mendapatkan persetujuan untuk membuat **SKRIPSI Tingkat Sarjana**. Untuk melengkapi permohonan tersebut, bersama kami lampirkan persyaratan-persyaratan yang harus dipenuhi. Adapun persyaratan-persyaratan pengambilan **SKRIPSI** adalah sebagai berikut :

1. Telah melaksanakan semua praktikum sesuai dengan konsentrasinya (.....)
2. Telah lulus dan menyerahkan Laporan Praktek Kerja (.....)
3. Telah lulus seluruh mata kuliah keahlian (MKB) sesuai konsentrasinya (.....)
4. Telah menempuh mata kuliah ≥ 134 sks dengan IPK ≥ 2 dan tidak ada nilai E (.....)
5. Telah mengikuti secara aktif kegiatan seminar skripsi yang diadakan Jurusan (.....)
6. Memenuhi persyaratan administrasi (.....)

Demikian permohonan ini untuk mendapatkan penyelesaian lebih lanjut dan atas perhatiannya kami ucapkan terima kasih.

Telah diteliti kebenaran data tersebut diatas
Recording Teknik Elektro



(Irma Handayani)

Malang, 25 Mei2007

Remohon


(ANEEA WIDYA OKTAVIAN)

Disetujui
Ketua Jurusan Teknik Elektro


Ir. F. Yudi Limpraptono, MT
NIP. P. 1039500274

Mengetahui
Dosen Wali


(Ir. Yusuf Jemari Nakhoda, MT)

Catatan :

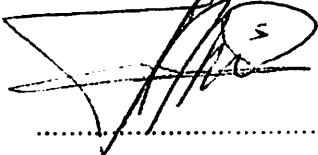

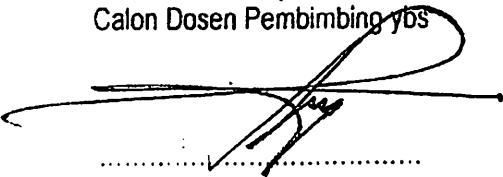
Bagi mahasiswa yang telah memenuhi persyaratan mengambil SKRIPSI agar membuat proposal dan mendapat persetujuan dari Ketua Jurusan/Sekretaris Jurusan T. Elektro S-1

- 1 $IPK = \frac{3568}{135} = 2.64$
- 2 Mata kuliah baru : SISTEM INSTRUMENTASI ELEKTRONIKA
- 3 Praktikum : D.S.K ; SISTEM ; KENDALI INDUSTRI



BERITA ACARA SEMINAR PROPOSAL SKRIPSI JURUSAN TEKNIK ELEKTRO S-1

Konsentrasi : Teknik Energi Listrik/Teknik Elektronika*)

1.	Nama Mahasiswa: <u>ANGGA WIJAYA CETAVIDAN</u>	Nim: <u>C2 17 14 C</u>
2.	Keterangan	Tanggal
	Pelaksanaan	Waktu
Tempat		
Ruang:		
Spesifikasi Judul (berilah tanda silang)**)		
3.	a. Sistem Tenaga Elektrik	<input checked="" type="checkbox"/> e. Elektronika & Komponen
	b. Energi & Konversi Energi	f. Elektronika Digital & Komputer
	c. Tegangan Tinggi & Pengukuran	g. Elektronika Komunikasi
	d. Sistem Kendali Industri	h. lainnya
4.	Judul Proposal yang diseminarkan Mahasiswa	<u>PERANCANGAN DAN PEMBUATAN FENEFILM GAMBAR DARI HELICOPTER MODEL YANG DIKONTROL OLEH PERSONAL COMPUTER (PC)</u>
5.	Perubahan Judul yang diusulkan oleh Kelompok Dosen Keahlian
6.	Catatan:	<u>1). Kurang menguasai konsep pengendalian dr helikopter</u>
Catatan:		
Persetujuan Judul Skripsi		
7.	Disetujui, Dosen Keahlian I	Disetujui, Dosen Keahlian II
	
Mengetahui, Ketua Jurusan.		Disetujui, Calon Dosen Pembimbing jbs
		
<u>Dr. F. Yudi Limpraptono, MT</u> NIP. P. 1039500274	

Perhatian:

1. Keterangan: *) Coret yang tidak perlu
- **) dilingkari a, b, c, atau g sesuai bidang keahlian



SURAT PERMOHONAN

Dengan Hormat,

Yang bertandatangan sebagai pemohon, saya mahasiswa dengan Identitas sebagai berikut :

Nama : Angga Widya Oktavian
 Nim : 02.17.140
 Jurusan : Teknik Elektronika S-1
 Fakultas : Fakultas Teknologi Industri
 Keperluan : Pengukuran Rpm Putaran motor, Untuk Pengujian Alat Tugas Akhir
 Waktu : Tgl 16 - 20 Agt 2008

Mengajukan permohonan peminjaman dan penggunaan alat untuk keperluan sebagaimana yang tercantum diatas.

Daftar Peralatan Yang Dipinjam

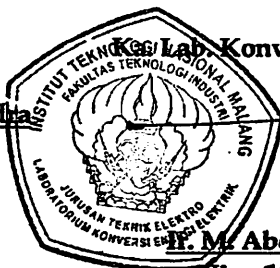
No	Kode Alat	Nama Alat	Trade Mark
1	DL 2239A	DIGITAL STROBOSKOPE TACHOMETER	DE LORENZO INSTRUMENTS
2			
3			
4			
5			
6			
7			
8			
9			
10			

Catatan : 1. Sanguap mentaati tata tertib Laboratorium Konversi Energi Elektrik
 2. Apabila terjadi kerusakan pada alat yang digunakan saya sanguap mengganti.

Demikian surat permohonan ini saya buat dengan sebenarnya dan dapat dipertanggung jawabkan, Terima Kasih.

Asisten Pendamping

Andik Sandya
03.12.078



Kes Lab. Konversi Energi Elektrik

M. Abdul Hamid, MT
Nip . 101 880 00188

Pemohon

Angga Widya O
02.17.140

//=====

/* Helicopter + Camera

ITM - MALANG 2008

Oka

0217140

Hardware :

- AT89S8252

- L293

- Komunikasi Data via TLP RLP 434 */

//=====

// Port-map of the MCU : =

// P0_0 -> EnaMotUt =

// P0_1 -> MotUt =

// P0_2 -> unused =

// P0_3 -> unused =

// P0_4 -> EnaMotEk =

// P0_5 -> MotEk =

// P0_6 -> unused =

// P0_7 -> unused =

// P2_0 -> Signal Servo 0 =

// P2_1 -> Signal Servo 1 =

// P3_0 -> [RXD] =

//=====

```
##include <at89s8252.h> // Definitions of registers, SFRs and Bits
```

```
#include <8052.h> // Definitions of registers, SFRs and Bits
```

```
#include <string.h>
```

```
#define Servo1 P2_0 // Motor Servo 1
```

```
#define Servo2 P2_1 // Motor Servo 2
```

```
#define EnaMotUt P0_0 // Enable Motor Utama
```

```
#define MotUt P0_1 // Motor Utama 2
```

```
#define EnaMotEk P0_4 // Enable Motor Ekor
```

```
#define MotEk P0_5 // Motor Ekor
```

```
void Serial_ISR(void) interrupt 4 using 1;
```

```
void init_MCU(void);
```

```
unsigned char last,arser[10],Add,itrMotUt,itrMotEk;
```

```
bit fSerial;
```

```
unsigned int hitServo1,hitServo2,hitMotUt,hitMotEk,hitdelay;
```

```
void Serial_ISR(void) interrupt 4 using 1
```

```
{
```

```
if(RI){ last = SBUF;
```

```
if (Add==0){if(last & 0x80){arser[Add]=last;Add++;}}
```

```
else {if (Add>3){Add=0;fSerial=1;}
```

```
else {arser[Add]=last;Add++;}};
```

```
// if (Add>0){if (Add>3){ES = 0;Add=0;fSerial=1;}
```



```
//          else {arser[Add]=last;Add++;}}}  
//  else {if (last & 0x80) {arser[0]=last;Add=1;}}};  
    RI =0;}  
  
return;  
}
```

```
void init_MCU(void)
```

```
{  
EA = ET0 = ET1 = ES = TR0 = TR1 = 0;  
P1 = P3 = 0xFF;  
TL0 = 0x00;  
TH0 = 0x70; // 20 ms Tick / Reload PWM  
TL1 = TH1 = 0xF4; // 2400 bps @ 11.0592 MHz  
//TL1 = TH1 = 0xE8; // 1200 bps @ 11.0594 MHz  
TMOD = 0x21;  
SM1 = 1;  
SM0 = 0;  
REN = 1;  
RI = TI = 0;  
TR0 = 0;
```

AT89S8252 In-System Programming

Introduction

This application note illustrates the in-system programmability of the Atmel AT89S8252 (S-series) microcontroller.

A method is shown by which an AT89S8252 in an application may be programmed remotely over a standard telephone line.

Software for this application note can be obtained by downloading from: AT&T BBS (408) 436-4309 or website: <http://www.atmel.com>

Example Application

The application shown in Figure 1 is a simple implementation of a moving display. This application was selected for its simplicity and ability to show graphical results of in-system programming. The text to be displayed is programmed into the AT89S8252 microcontroller as part of its firmware, and can be changed by programming the device.

The displayed text is presented in one of four modes, selected by a switch. In the scroll mode, one character at a time scrolls the display from the right and disappears quickly to the left through each character of the display to its final position in the assembled message. In the scroll mode, the message moves through the display, from right to left, with the display acting as a window onto the message. This mode is familiar as the mode often used in displays of stock prices.

The text is displayed on four DL1414T, 16-element, 17-segment alphanumeric displays with integral decoders and drivers. This yields 16 total display elements, each capable of displaying digits, the upper case alphabet, and punctuation characters. The displayable character codes are ASCII 20-5F (hexadecimal).

A power-on reset circuit and a 6-MHz crystal complete the application. Neither external program memory nor external data memory is used.

Modifications to the Application to Support In-System Programming

The AT89S8252 microcontroller features an SPI port, through which on-chip Flash memory and EEPROM may be programmed. To program the microcontroller, RST is held high while commands, addresses and data are applied to the SPI port. For command format and timing requirements, refer to the Atmel AT89S8252 Microcontroller data sheet.

Figure 2 shows the example application modified for in-system programming. The microcontroller reset circuit has been eliminated and RST is controlled by the programmer. The absence of a reset circuit requires that the programmer reset the microcontroller when power is first applied to the application. An optional connection (SHUTDOWN) to an AT89S8252 interrupt input has been provided to allow the programmer to signal the microcontroller prior to programming. The resident firmware responds to the interrupt by displaying a message ("PROGRAMMING") indicating that programming is in progress.

A simple latch, composed of four OR gates, has been added between the outputs of the microcontroller and the display control inputs. The latch holds the display control signals inactive when RST is asserted, eliminating erratic operation of the displays during programming. No isolation of the display address or data inputs is required, since these inputs are ignored by the displays when the control signals are inactive. After programming, when RST is deasserted, the microcontroller I/O ports are high as



Microcontroller

Application Note

0898A-A-12/97



the latch becomes transparent. Since the display control outputs are inactive high, the display contents are not disturbed until the new firmware writes the displays. Although not essential in this application, it might be imperative in some applications that the state of the peripheral circuitry not be disturbed during programming.

Finally, programmer access has been provided to three AT89S8252 SPI port pins: P1.5/MOSI, P1.6/MISO and P1.7/SCK. SPI port pin P1.4/ \overline{SS} is not used during programming. In the example application, the SPI port pins are

available for use in programming the microcontroller. Applications which utilize the SPI port pins must be modified by the addition of circuitry which will isolate the SPI port when RST is asserted, freeing the pins for use in programming the microcontroller. Circuitry which is added to support programming must appear transparent to the application during normal operation.

The code for the modified display application is shown in Appendix 2.

Figure 1. AT89S8252 Moving Display Application Example

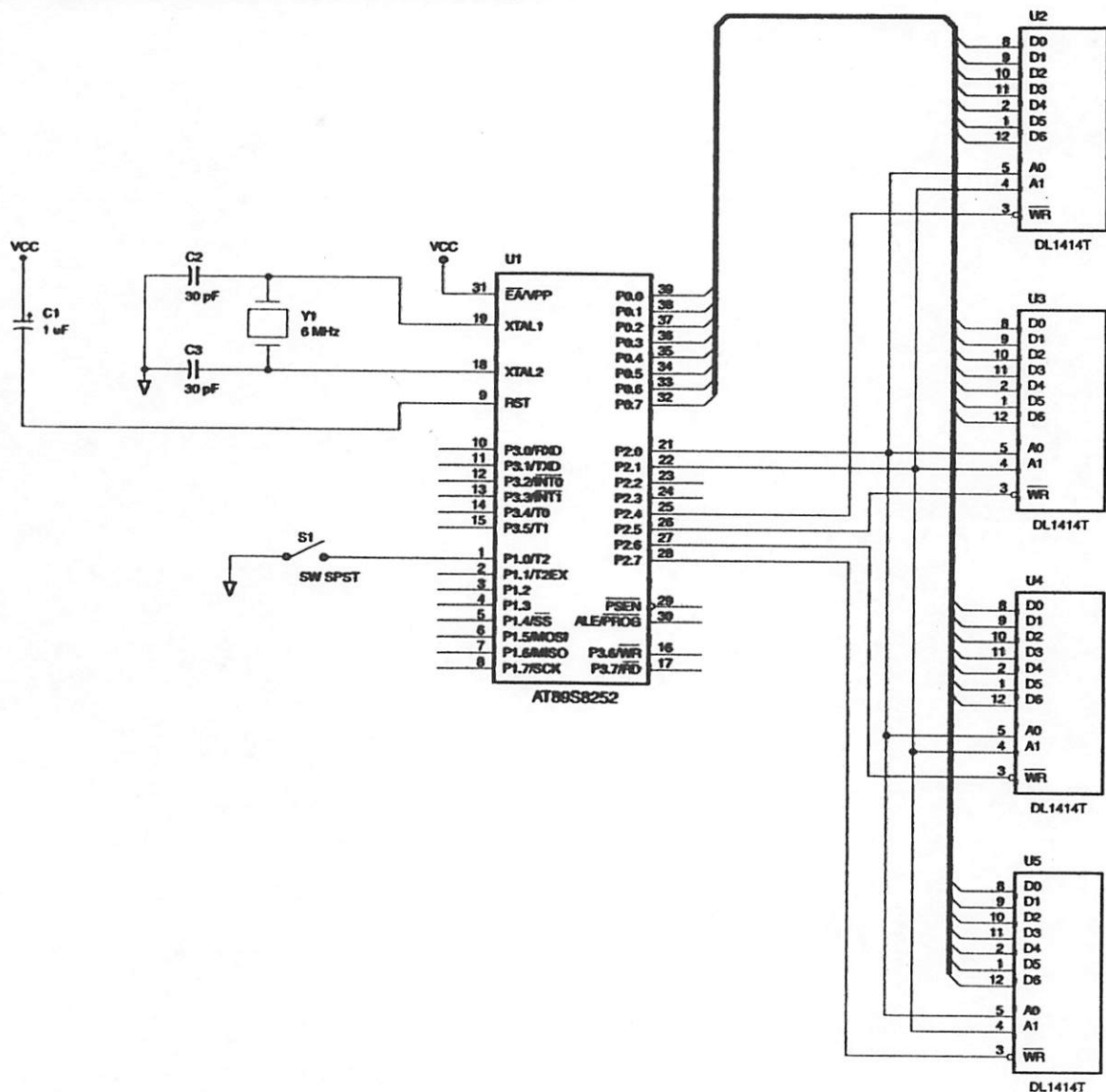
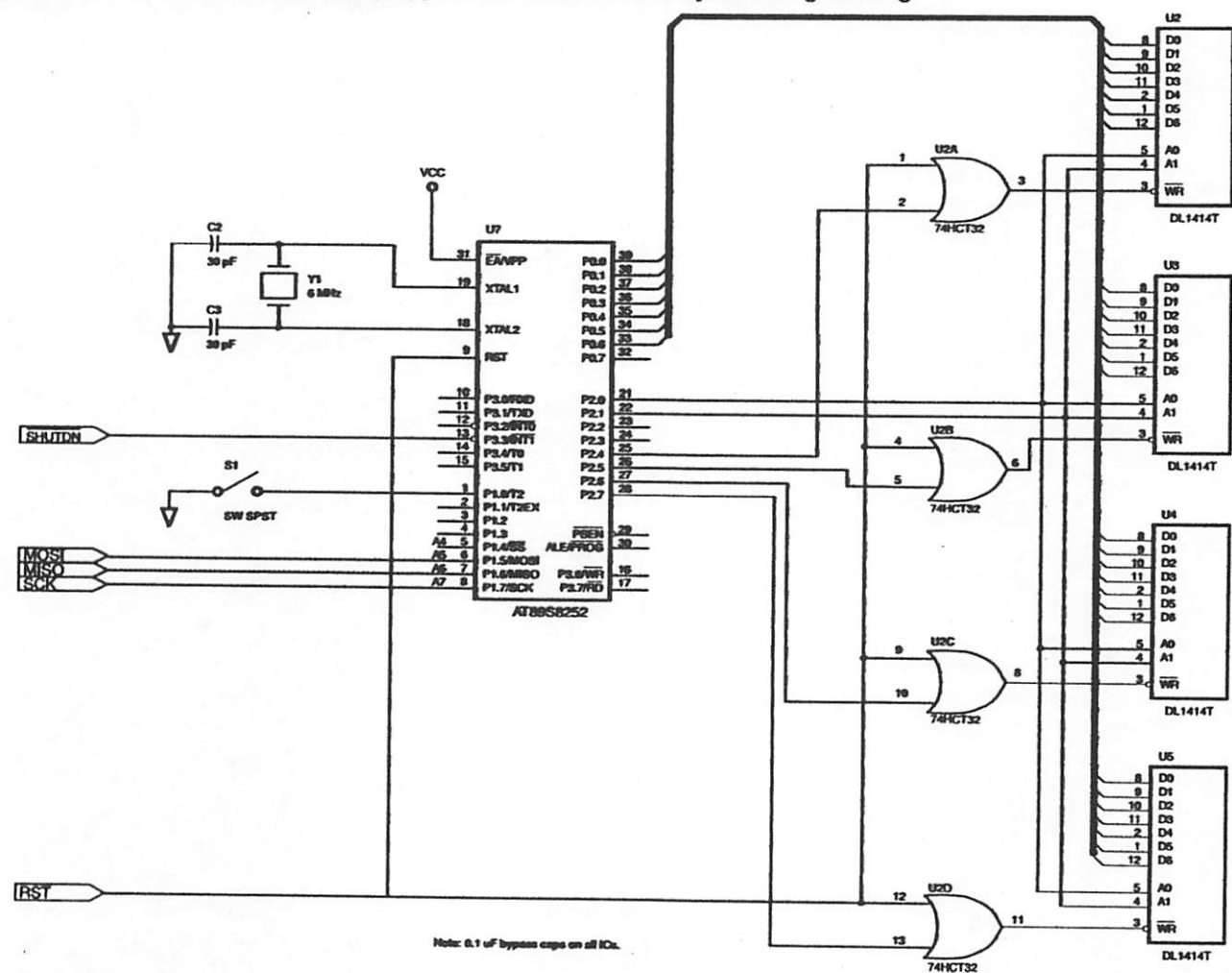


Figure 2. AT89S8252 Moving Display Application Modified for In-System Programming



Programmer

The programmer shown in Figure 3 interfaces with a modem, from which it receives packetized data. After dissecting the data packets, the programmer generates the signals required to program the data into the AT89S8252 microcontroller in the modified application. Code for the programmer is shown in Appendix 3.

The programmer circuitry consists of little more than an Intel 20-pin AT89C2051 microcontroller and a Maxim MAX232 line driver/receiver. The microcontroller runs at 5.92 MHz, which allows the serial port to operate at a number of standard baud rates. The line driver/receiver produces RS-232 levels at the modem interface while requiring only a 5-V power supply. The AT89C2051 microcontroller does not support external program or data memory, which requires that program code be kept small enough to fit into on-chip memory.

The serial interface, through which the programmer connects to the modem, supports two handshaking signals, DTR and DSR. On power up, the programmer asserts DTR, to which the modem responds by asserting DSR. If the modem should fail to respond to any command, including the command to hang up, the programmer deasserts DTR, which forces the modem to hang up.

The programmer controls the modem by sending ASCII command strings over the serial interface, to which the modem responds with Hayes-style ASCII numeric codes. The programmer code is optimized for use with the U.S. Robotics Sportster 14,400 baud external modem used in the test configuration and may require modifications if used with other modems.

Since a reset circuit is absent from the modified application, the programmer provides the power-on reset function to the AT89S8252 microcontroller. The programmer powers up with RST asserted, resetting the microcontroller. Some



ing mode, preventing it from executing the incomplete or valid firmware which it contains.

is important to note that invalid packets are NEVER programmed into the application microcontroller. To do so might over-write valid program data which could not be covered.

on receipt of an end-of-file packet, the programmer turns its control outputs to the inactive, power-on state, allowing the application microcontroller to begin execution of its new firmware. The programmer then resumes polling for a valid packet header, subject to the 30-second reset delay. If a valid packet is received prior to the expiration of the 30-second delay, another programming cycle begins, which can only be terminated by the reception of a valid end-of-file packet.

If the reset delay expires prior to the reception of a valid end-of-file packet, the modem will hang up and the programmer will return to sleep, waiting for the next call. In this case, the application microcontroller is left in programming mode, preventing it from executing its firmware. To return the application to normal operation, another call must be received, and a valid program file downloaded, terminated by an end-of-file packet.

Setting Up the Hardware

Local Station

Install the selected modem into the IBM PC AT-compatible computer and connect it to a standard analog telephone line. The modem must support a data rate of at least 9600 baud.

Remote Station

Connect the programmer and modified display application to the U.S. Robotics Sportster 14,400 baud external modem. Connect the modem to a standard analog telephone line and set the modem switches as indicated below.

Modem switch settings:

1	UP	DTR normal
2	DOWN	Numeric result codes
3	DOWN	Display result codes
4	DOWN	Suppress command echo
5	UP	Auto answer
6	UP	CD normal
7	UP	Load NVRAM defaults
8	DOWN	Smart mode

Turn the modem on and apply power to the programmer and display application. The microcontroller in the application will begin executing its firmware, if it contains any. The programmer will initialize the modem, as indicated by the activity on the modem status indicators. If it should become

necessary to reinitialize the modem, briefly interrupt power to the programmer.

Installing and Configuring Procomm Plus for Windows, Version 3.0

Install Procomm Plus as instructed in the User Manual. When prompted to specify the modem in use, select the installed modem from the list.

Put the provided ASPECT script (ATX.WAX) into the Procomm Plus ASPECT directory. If the default directories were utilized during installation, the correct directory is: `PROWIN3\ASPECT.ATX.WAX` is the executable ASPECT script which results from compiling the source file `ATX.WAS`, shown in Appendix 4. Source files may be edited from within Procomm Plus using the ASPECT Editor, available in the Tools menu. The ASPECT Editor provides the option to compile a source file in the Editor Tools menu.

Launch Procomm Plus and create a Connection Directory entry for the remote station. Under Port Settings, set the baud rate to 9600, parity to EVEN, number of data bits to 7, number of stop bits to 1, plex to FULL.

Creating a Hex File

The example source code for the modified display application (Appendix 2) contains a string at location "usr_msg" which is written repeatedly to the alphanumeric displays. The user may substitute a different message, as long as it is enclosed in single quotes and is null-terminated. Long messages may require that the value in the subsequent ORG directive be increased to prevent the message from being over-written by code. The message may contain only characters with ASCII codes from 20-5F (hexadecimal). The modified source code may then be assembled, linked and an Intel hex file produced.

During the development of this application note, code was assembled and hex files generated utilizing the tools in a vintage copy of the Intel MCS-51 Software Development Package for the IBM PC. The source code may require cosmetic changes for compatibility with other assemblers and software tools. It is especially important to note that variations exist in Intel hex file format. This application requires that record data fields be limited to 16 or fewer entries and that address fields contain 4 hex digits. The user must verify that the hex files produced by the selected tools conform to the format documented in Appendix 1.

Uploading a Hex File

Launch Procomm Plus and select the correct entry from the list box in the toolbar to dial the remote site. If the line is busy and remains busy for more than 30 seconds, the programmer must be reset.

After a connection with the remote site has been established, run the ATX ASPECT script by selecting it from the list box in the toolbar. When prompted by the script, enter

the path and file name (including extension) of the hex file to upload to the programmer at the remote site. The programmer must receive the first record from the file within 30 seconds of the time the connection was established or it will hang up and the user will be required to redial.

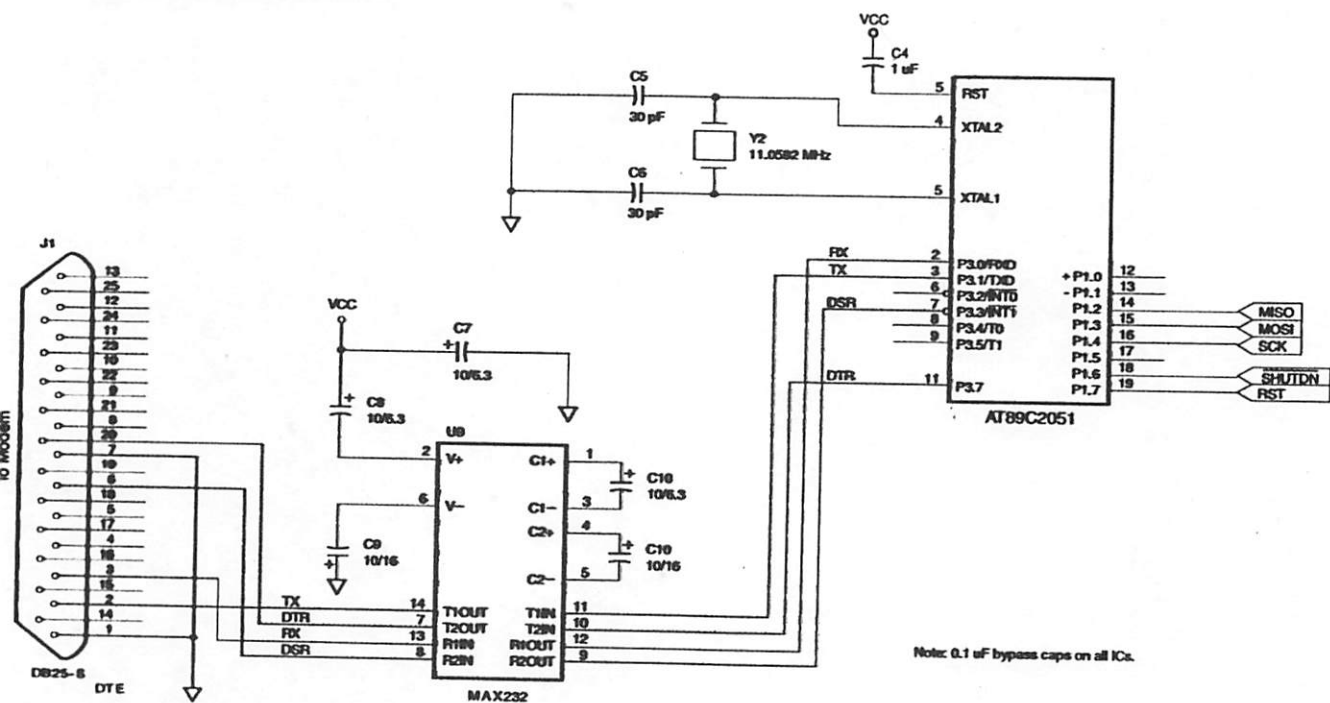
During the data transfer, data and status information is displayed in the Procomm Plus Terminal Window. If the transfer completes successfully, the message "End of File" will appear in the Terminal Window. The user has 30 seconds from the appearance of messages "End of File" or "EXCESSIVE RETRIES: UPLOAD ABORTED" to rerun the script and upload another file, if desired, before the programmer hangs up. If the message "UPLOAD ABORTED BY REMOTE" appears, the programmer has hung up and the user must redial before uploading another file.



me later, RST is deasserted under firmware control, allowing the application microcontroller to run normally. When

programming is required, the programmer again asserts RST.

Figure 3. AT89S8252 Programmer



During programming, the programmer outputs serial data to the MOSI pin, synchronized to a software-generated clock output on the SCK pin. Serial data is input on the MISO pin, also synchronized to SCK. The maximum frequency of SCK must be less than 1/40th the crystal frequency of the AT89S8252 microcontroller being programmed, as specified in the AT89S8252 data sheet. The documented code produces a maximum SCK frequency of approximately 90 KHz, permitting a minimum AT89S8252 crystal frequency of approximately 3.6 MHz.

Remote Programming Over a Standard Telephone Line

The programmer and modified application described previously are connected to a phone line through a modem at a remote site. Using a personal computer with a modem, a user can upload code containing a new message, which is programmed into the AT89S8252 microcontroller in the application. When programming is complete, the microcontroller executes the new firmware, which displays the new message.

Local Station

The local station in the test configuration consists of an IBM AT-compatible personal computer with a Cardinal PV34ILC 33,600 baud internal modem. Any modem may be used, as long as it is compatible with the data com-

munications software and matches the data rate and error correction protocols of the modem at the remote site.

Procomm Plus for Windows, version 3.0, a commercial data communications package, is used to configure the modem, set up communications parameters, and establish a link with the remote modem. Procomm Plus includes a macro language called ASPECT, which allows the user to write and compile scripts which implement custom file transfer protocols. A simple ASPECT script was written to read the contents of a code file and upload it to the remote programmer. The ASPECT script is shown in Appendix 4.

The file transfer protocol (FTP) implemented is a simple send-and-wait, packet-oriented protocol. The FTP transmit and receive modes are diagrammed in the flowcharts in figures 4 and 5, respectively. The computer sends each packet without flow control and waits for a response. The programmer may acknowledge the packet by sending an ACK or may negatively acknowledge the packet by sending a NAK. Upon receipt of an ACK, the computer sends the next packet. If the clone receives a NAK, it resends the same packet. Transmission proceeds in this manner until the entire file has been transferred.

The programmer might respond to a packet by sending a CAN, which indicates that a non-recoverable error has occurred and that the computer should immediately abort the file transfer. If the programmer fails to respond to a

Microcontroller

packet within a limited period of time, the computer will resend the same packet. The computer will continue to resend the same packet until a valid response is received or until the allowed number of attempts is exceeded, at which time the file transfer is aborted.

The send-and-wait nature of the FTP allows the time required for the programmer to program the packet data to the application microcontroller to be easily absorbed. Programming verification requires no explicit command or result codes, or additional data transfers. The programmer's response to a packet reflects the result of the programming verification operation performed by the programmer. ACK indicates success, CAN indicates failure.

Hexadecimal object file format (Intel hex) was chosen as the format of the files to be uploaded to the programmer. The records in a hex file serve, unchanged, as the packets of the FTP described above; no service fields need to be added. The fields in Intel hex file records are shown in appendix 1. The colon which begins each record serves as a packet signature field. The load address field serves as a packet sequence number. A checksum is provided as the last field in each record. Since 7-bit ASCII coding is utilized, the eighth bit of each byte is available to be used for parity checking.

Since the AT89C2051 microcontroller in the programmer does not utilize external data memory, necessary packet buffering must be done using internal RAM. Limited memory precludes the use of conventional FTPs which utilize packets of 128 bytes or more. The hex packet format used in this application limits packet data fields to 16 or fewer bytes, requiring little memory for buffering.

A disadvantage of the hex packet format is the use of ASCII, which requires each program data byte to be represented as two hex characters. This demands that nearly twice as many bytes be transferred as might otherwise be required. This is not a severe limitation, however, since typical file transfer times are on the order of a few seconds.

Remote Station

The remote station in the test configuration consists of the programmer and modified application, previously described, connected to a U.S. Robotics Sportster 14,400-baud external modem.

When power is applied, the programmer resets the AT89S8252 microcontroller in the application, and then sets its control outputs inactive, allowing the application to start normally. The programmer configures the modem to answer incoming calls and puts itself to sleep. While the programmer sleeps, the modem monitors the phone line, waiting for an incoming call. When a call is detected, the modem answers and attempts to establish communication with the caller. If a connection is established, the modem sends a connect code to the programmer, waking it up. The

programmer verifies the connect code and begins polling for a valid packet header. Invalid connect codes are ignored.

Incoming packets must arrive fewer than 30 seconds apart, or the modem hangs up and the programmer returns to sleep, waiting for the next call. If the caller hangs up, the 30-second period must expire before another call will be answered. Calls incoming during the reset delay period are ignored.

If a valid packet header is received prior to the expiration of the reset delay period, the programmer will attempt to read and validate the incoming packet. At any time during packet reception, an invalid character, parity error or timeout during character reception will cause the partial packet to be declared invalid and discarded.

Two packet types are defined: data and end-of-file. A data packet contains five fields in addition to the packet header, one of which is a variable length data field. The data field contains program data to be written into the application microcontroller. The load address field contains the address at which the data is to be written. The end-of-file packet contains the same fields as the data packet, except that the data field is empty. This packet type has special meaning to the programmer, as explained below.

Any packet which contains an invalid record type, record length or checksum is invalid. Program data accumulated during the processing of an invalid packet is discarded. The programmer sends a NAK to the computer to signal reception of an invalid packet and resumes polling for a valid packet header.

Receipt of the first valid data packet causes the programmer to interrupt the application microcontroller. The microcontroller responds to the interrupt by abandoning its usual routine and displaying a message ("PROGRAMMING") indicating that programming is taking place. If this is the first valid data packet since power was applied or an end-of-file packet was received, the programmer asserts the control signals necessary to place the microcontroller into programming mode.

The first and subsequent valid data packets are dissected as they are received and the data which they contain is programmed into the application microcontroller at the address indicated in the packet load address field. After programming, the data is read back from the microcontroller and verified against the received packet data. If programming was successful, the programmer sends ACK to the computer. The programmer then resumes polling for a valid packet header, subject to the thirty second reset delay.

If programming fails, the programmer sends CAN to signal the computer to abort the file transfer. The modem hangs up and the programmer returns to sleep, waiting for the next call. The application microcontroller is left in program-



Appendix 1: Intel Hex File Definition

Each record in hexadecimal object file format (Intel hex) contains the following fields:

<:> <rec length> <load address> <rec type> <data> <checksum>

The colon is the record header.

The record length field consists of two hex digits, and represents the number of entries in the data field.

The load address field consists of four hex digits, and indicates the absolute address at which the data in the data field is to be loaded.

The record type field consists of two hex digits, which are always zero in data records.

The data field contains from one to 16 pairs of hex digits.

The last two hex digits are a checksum on the record length, load address, record type, and data fields. The sum of the binary equivalents of these fields and the checksum itself is zero.

Each record in the file is terminated by a carriage return (0D hex) and line feed (0A hex).

The type one record marks the end of the file. The record always contains ":00000001FF".

Appendix 2: Code for Modified Display Application

AME LEDShow1

Displays predefined text strings on the LED display in one of two modes.

The display mode can be changed at run time with the switch.

The program may be interrupted by External Interrupt 1. This will cause the

processor to display a string and enter a wait loop with interrupts disabled.

Only reset will restore normal operation. This facility is provided so that

the programmer can trigger an orderly shutdown before reprogramming the part.

The LED display consists of four devices of four elements each,

for a total display capacity of 16 characters.

The display devices are numbered 0 to 3, from the right.

The display elements are numbered from 0 to 3, from the right.

Character positions are numbered 1 to 16, from the right.

```
DEVS    EQU    4        ; number of devices
ELMS    EQU    4        ; number of elements in each device
BLANK   EQU    20h     ; blank
DSEG AT 60h          ; stack origin
stack:DS 20h         ; stack depth
WATCH BIT p1.0      ; display mode select input
CSEG
ORG 0000h           ; power on/reset vector
jmp init
ORG 0003h           ; external interrupt 0 vector
reti              ; undefined
ORG 000bh          ; timer 0 overflow vector
reti              ; undefined
ORG 0013h          ; external interrupt 1 vector
```

```

jmp shutdown
ORG 001bh           ; timer 1 overflow vector
reti               ; undefined
ORG 0023h          ; serial I/O interrupt vector
reti               ; undefined
ORG 30h            ; begin constant data space

_msg: DB ' PROGRAMMING', 0
msg: DB ' ATMEL AT89S8252 CMOS MICROCONTROLLER'
DB ' WITH FLASH MEMORY AND SPI PORT', 0
ORG 0100h          ; begin code space
USING 0            ; Register bank 0 (RB0)

mov sp, #(stack-1) ; initialize stack pointer
setb IT1           ; ext 1 interrupt edge triggered
mov IE, #10000100b ; enable ext 1 and global interrupts

0:
jb SWITCH, m1     ; check position of switch
call rotate_msg   ; display message
jmp m0            ; again

1:
call shift_msg    ; display message
mov a, #3         ; pause 3 sec between displays
call delay_sec    ;
jmp m0            ; again

shutdown:
; Respond to interrupt generated by serial programmer.
clr ea            ; prevent interrupts
mov dptr, #pgm_msg ; point to message
call show_string  ; display message
jmp $            ; wait for reset

show_string:
Display null-terminated string pointed to by DPTR. The string is
left-justified in the display. If the length of the string exceeds
the number of display positions the excess characters are ignored.
call clear_display; begin by blanking display
mov b, #(NDEVS*NELMS) ; total display positions

s1:
clr a             ; get char
mov ca, @a+dptr,
jz gs2           ; done if string terminator
call put_char    ; display char at position in B

```





```
inc dptr          ; point to next char
djnz b, gs1      ; done when last position is filled
gs2:
ret
clear_display:
                ; Fill display with blanks.
                ; All registers preserved.

push acc
push b
mov b, #(NDEVS*NELMS) ; total display positions
c1:
mov a, #SPACE
call put_char    ; write space char
djnz b, c1      ; do all positions
pop b
pop acc
ret
```

ft_msg:
Display null-terminated string. Each character in the string, in turn, enters the display from the right and is moved quickly through each element of the display to its final position. The string may contain any number of characters, including none. If the length of the string exceeds the number of display positions, the excess characters are ignored.

```
call clear_display ; begin by blanking display
mov r5, #(NDEVS*NELMS) ; total display positions
mov dptr, #usr_msg ; point to message
s1:
mov b, #1 ; first display position
s2:
clr a
movc a, @a+dptr ; get char
jz ps4 ; done if string terminator
call put_char ; display char at position in B
mov a, #25 ; 25 ms
call delay_ms ; delay so char can be seen
mov a, b ; set up for compare
clr c ; ready for subtraction
subb a, r5 ; compare next position to final
jnc ps3 ; jump if char is in final position
mov a, #SPACE
call put_char ; blank out char
```

```

inc    b                ; next position
jmp    ps2
ps3:
inc    dptr             ; point to next char
djnz  r5, ps1          ; final position for next char
ps4:
ret

```

otate_msg:
; Display null-terminated string. The string moves through the
; display, from right to left, with the display acting as a window
; onto the string. The string may contain any number of characters,
; including none.

```

mov    dptr, #usr_msg   ; point to string
clr    a                ; get first char
movc  a, @a+dptr;
jz     dd11             ; blank display and exit if null string
call  clear_display    ; begin by blanking display

```

; Phase I. Shift the string into the display from the
; right until the first character is in the left-most
; display element. If the string has fewer characters than
; the display has elements, fill the balance with blanks.

```

mov    r7, #0           ; loop counter, one pass per element
dd1:
mov    dptr, #usr_msg   ; point to string
mov    b, r7            ; character position
inc    b                ; adjust
dd2:
clr    a                ; get next char
movc  a, @a+dptr;
jz     dd3              ; jump if string terminator
call  put_char          ; display char at position in B
inc    dptr             ; point to next char
djnz  b, dd2           ; loop until all positions written
jmp    dd5              ; next pass
dd3:
; encountered end of string
mov    a, #SPACE        ; pad balance of display with blanks
call  put_char          ; display char at position in B
djnz  b, dd3           ; next position
dd5:
mov    a, #150          ; 150 ms

```





```
call    delay_ms          ; delay so string can be seen
inc     r7                ; next pass
cjne   r7, #(NDEVS*NELMS), dd1 ; loop until all elements done
; Phase II. Shift the string THROUGH the display from
; the right until the last character is in the left-most
; display element. If the string has fewer characters than
; the display has elements, pad the balance with blanks.

mov     dptr, #usr_msg    ; point to string
inc     dptr              ; start with the second char
d6:
clr     a                 ; get char
movc   a, @a+dptr;
jz     dd11              ; blank display and exit if string end
push   dpl                ; save string pointer
push   dph
mov     b, #(NDEVS*NELMS) ; total char positions
d7:
clr     a                 ; get next char
movc   a, @a+dptr        ;
jz     dd8                ; jump if string terminator
call   put_char          ; display char at position in B
inc    dptr               ; point to next char
djnz   b, dd7            ; loop until all positions written
jmp    dd10              ; next pass
d8:
mov     a, #SPACE        ; pad balance of display with blanks
call   put_char          ; display char at position in B
djnz   b, dd8            ; next position
d10:
pop     dph               ; restore string pointer
pop     dpl                ;
inc    dptr               ; point to next char
mov     a, #150           ; 150 ms
call   delay_ms          ; delay so string can be seen
jmp    dd6                ; process next char
d11:
call   clear_display     ; blank display
mov    a, #150           ; 150 ms
call   delay_ms          ; delay
ret
```

char:
display character in A at position indicated in B.

; All registers preserved.

```

push  acc
push  b
mov   p0, a           ; move character to output port

; Calculate device and element from display position.

mov   a, b           ; position 1..n
dec   a             ; convert to 0..n-1
mov   b, #NELMS     ; elements per device
div   ab            ; A= device, B= element
mov   p2, #0ffh     ; clear display control port

0:
cjne  a, #0, s1     ; check device number
mov   a, #00010000b ; device 0 select
jmp   s5

1:
cjne  a, #1, s2
mov   a, #00100000b ; device 1 select
jmp   s5

2:
cjne  a, #2, s3
mov   a, #01000000b ; device 2 select
jmp   s5

3:
cjne  a, #3, s4
mov   a, #10000000b ; device 3 select
jmp   s5

4:
jmp   init          ; undefined device, restart

5:
orl   a, b           ; add element selector
xrl   a, #11110000b ; invert device selector
mov   p2, a         ; write strobe low
orl   a, #11110000b ; reset device selector
mov   p2, a         ; write strobe high (latch data)
pop   b
pop   acc
ret

```

y_ms:

delay for 1 ms times the value in the accumulator.





```
push acc
push b
mov b, #0
```

dd:

```
djnz b, $ ; 500 us @ 12 MHz
djnz b, $ ; 500 us @ 12 MHz
djnz acc, dd
pop b
pop acc
ret
```

delay_sec:

; Delay for 1 second times the value in the accumulator.

```
push acc
push b
mov b, a
```

ddd:

```
mov a, #250
call delay_ms ; 250 ms
call delay_ms ; 500 ms
call delay_ms ; 750 ms
call delay_ms ; 1000 ms
djnz b, ddd
pop b
pop acc
ret
```

END

Appendix 3: Code for AT89S8252 Programmer

NAME AT89S8252_Programmer

The programmer powers up with the control signals to the target AT89S8252 active, allowing the program in the target to run normally. Upon receipt of the first valid data record, the programmer puts the target into write mode. The first and subsequent valid records are dissected as they are received and their data is written into the target. Receipt of a valid end-of-file record terminates programming and resets the target control signals, allowing the new program in the target to run.

Each record received is checked for validity. If it is invalid, the receiver sends a NAK to the remote system and discards the record. Invalid records are not programmed into the target AT89S8252. Valid records

Microcontroller

is programmed into the target AT89S8252 and verified. If verification succeeds, an ACK is sent to the remote system. If verification fails, the receiver sends CAN to abort the upload. Failure to verify is a fatal error. The target AT89S8252 will be left in program mode (held reset) so that the incomplete or invalid code which it contains cannot be executed.

Incoming records must appear less than 30 seconds apart, or the line is dropped in preparation for the next call. If the remote system drops the line, the programmer will wait 30 seconds before resetting. Calls coming during this time are ignored.

The programmer manages five lines ($\overline{\text{SHUTDN}}$, RST, SCK, MOSI, MISO) which control the target AT89S8252 and 4 lines which handle the modem interface. The AT89S8252 control lines occupy bits of port 1 and the modem interface lines bits of port 3, as defined in the EQUates.

Procedures SHOUT (SHift OUT) and SHIN (SHift IN) manage the serial transfer of data between the programmer and the target AT89S8252. The serial clock is generated and timed by software. The code meets timing requirements when executed by an AT89Cx051 microcontroller with a 12-MHz clock. Code modifications may be required if a faster clock is substituted.

Two long period timers are implemented utilizing Timer Zero and members of register bank one. Timer Zero is configured in 16-bit mode and is loaded with an initial count of zero, which yields the maximum delay of 65.5 ms (at 12 MHz). The timer is allowed to free-run, generating an interrupt each time the count rolls over from FFFF to 0000. At each interrupt, the counts in each of the long period timers are decremented if their respective overflow flags are not set. If the new count in either long timer is zero, the corresponding overflow flag is set. It is not necessary to stop Timer Zero or to disable interrupts to reload the long timers, because they will not be disturbed by the Timer 0 interrupt service routine whenever their overflow flags are set. Because Timer 0 free-runs, it is not possible to know where in a period timing of an event begins. Therefore, one additional count should be added to the calculated long timer count to guarantee that the timed interval is not short.

Long timer 0 is 16 bits, allowing a maximum timed interval of one hour. Long timer 1 is 8 bits, allowing a maximum timed interval of 16 seconds.

The programmer software is compatible with the U.S. Robotics Sportster 1200, 2400, and 4800-baud external modem and may require modifications if used with other modems. The switches on the modem are set as follows:





- 1 UP DTR normal
- 2 DOWN Numeric result codes
- 3 DOWN Display result codes
- 4 DOWN Suppress command echo
- 5 UP Auto answer
- 6 UP CD normal
- 7 UP Load NVRAM defaults
- 8 DOWN Smart mode

Modem switch 7 specifies that the power on and reset configuration be loaded from NVRAM profile zero, which must contain the factory default hardware flow control template. Other switch settings then override the loaded configuration. If NVRAM profile zero does not contain the hardware flow control template, it may be restored with the following command sequence:

```
AT&F1&W0<ENTER>
```

Some of the switch functions can be controlled by software, but making use of the switches simplifies the code required to initialize the modem. The only additional commands which must be issued to the modem are:

- ATR1 Ignore RTS,
- ATA0 Disable ARQ result codes.

"R1" causes the modem to forward incoming data to the programmer regardless of the state of RTS. "&A0" suppresses the extended protocol result codes. Note that suppression of the codes does not affect the connection. If it is desired to disable Error Control, issue the command "&M0".

	EQU	0dh	; carriage return
	EQU	0ah	; line feed
K	EQU	6h	; responses to remote system
K	EQU	15h	;
N	EQU	18h	;
JD_1200	EQU	0e8h	; 1200 baud timer reload values
JD_2400	EQU	0f4h	; 2400 baud
JD_9600	EQU	0fdh	; 9600 baud
	EQU	'0'	; modem status codes
GING	EQU	'2'	;
NNECT_1200	EQU	'5'	;
NNECT_2400	EQU	'10'	;
NNECT_9600	EQU	'13'	;

Microcontroller

```

RIES EQU 5 ; max attempts to access modem
ASE_1 EQU 0ach ; erase chip function, first byte
ASE_2 EQU 04h ; second byte
ABLE_1 EQU 0ach ; enable write function, first byte
ABLE_2 EQU 53h ; second byte
MMY EQU 55h ; function third byte
RITE_CODE EQU 02h ; write code memory function (Flash)
AD_CODE EQU 01h ; read code memory function
RITE_DATA EQU 06h ; write data memory function (EEPROM)
AD_DATA EQU 05h ; read data memory function
lo EQU r2 ; long timer one low byte
hi EQU r3 ; long timer one high byte
EQU r4 ; long timer two only byte
ex EQU r0 ; general purpose index register
sum EQU r5 ; running checksum on record
p EQU r6 ; temporary storage
nt EQU r7 ; loop counter
R_ BIT p3.3 ; modem control signals
R_ BIT p3.7 ;
T BIT p1.7 ; target control signals
JTDN_ BIT p1.6 ;
K BIT p1.4 ; serial clock
SI BIT p1.3 ; serial data out
O BIT p1.2 ; serial data in

```

DSEG AT 20h

```

s DATA 20h ; misc flags
F BIT flags.0 ; long timer 0 overflow flag
F BIT flags.1 ; long timer 1 overflow flag

```

ORG30h

```

type: DS 1 ; record type
r_lo: DS 1 ; record load address, low byte
r_hi: DS 1 ; record load address, high byte
_len: DS 1 ; record data byte count
_buf: DS 32 ; storage for record data field
ORG 60h ; stack origin
k: DS 20h ; stack depth
DN DATA 87h ; address of Power Control register
; (added to enlighten the assembler)

```

CSEG

```

ORG 0000h ; power on/reset vector
jmp init

```





```
ORG 0003h          ; external interrupt 0 vector
reti              ; undefined
ORG 000Bh          ; timer 0 overflow vector
jmp timer_int
ORG 0013h          ; external interrupt 1 vector
reti              ; undefined
ORG 001Bh          ; timer 1 overflow vector
reti              ; undefined
ORG 0023h          ; serial I/O interrupt vector
jmp serial_int
ORG 40h            ; begin constant data space
tn_cmd: DB '+++', 0 ; modem return to command mode
set_cmd: DB 'ATZ', CR, 0 ; modem reset string
; must be last command on line and
; modem returns code before executing
t_cmd: DB 'AT&R1&A0', CR, 0 ; modem init string
ingup_cmd: DB 'ATH', CR, 0 ; modem on-hook string
ORG 0080h          ; begin code space
USING 0           ; register bank 0

mov sp, #(stack-1) ; initialize stack pointer
call initialize    ; initialize controller registers
setb LT0F          ; disable long timer 0
setb LT1F          ; disable long timer 1
; Initialize the modem.
setb TI            ; set transmit interrupt flag
; (kludge for first use)
setb ET0           ; enable timer 0 interrupt
call modem_init    ; initialize modem
clr ET0            ; disable timer 0 interrupt
jnc m1             ; jump if modem init passes
clr EA             ; global interrupt disable
orl PCON, #1       ; idle the controller, reset exits

; Clear pending interrupts before enabling serial interrupts.
jnb TI, $          ; wait for transmitter to clear
clr TI             ; clear transmit interrupt flag
clr RI             ; clear receive interrupt flag
setb ES            ; enable serial ints to wake controller
clr F0             ; clear connect flag / PSW.5 bit

orl PCON, #1       ; idle the controller, serial int exits
jnb F0, idle       ; return to idle if not connected
; Connection has been established.
```

```

; Begin polling for valid record header.
clr    ES                ; disable serial interrupts
setb   TI                ; set transmit interrupt flag
                        ; (kludge for first use)

clr    F0                ; clear program mode flag
setb   ET0               ; enable timer 0 interrupt

n2:
call   init_longtimer0   ; start 30-second timer

n3:
call   get_char          ; get char, 1-second timeout
jc     m8                ; try again if parity error or timeout
cjne   a, #':, m8        ; try again if not record header
                        ; Found header, process hex record.

call   get_record        ; load and dissect record
jnc    m4                ; jump if record is good
mov    a, #NAK           ; tell sender record is bad
call   send_char;
jmp    m2                ; next record

n4:
cjne   a, #0, m6         ; jump if record is not type zero
; Process record type zero (data).
jb     F0, m5            ; jump if target is in write mode
call   shutdown          ; notify target of impending doom
call   erase_chip        ; erase target
call   set_pgm           ; place target in write mode
setb   F0                ; flag target in write mode

n5:
call   write_record      ; program data into target
call   verify_record     ; verify program data
jnc    m7                ; jump if verify OK
mov    a, #CAN           ; tell sender to abort
call   send_char;
jmp    m9                ; hang up and reset for next call

n6:
; Process record type one (end-of-file).
call   clear_pgm         ; take target out of write mode
clr    F0                ; flag target not in write mode

n7:
mov    a, #ACK           ; tell sender record OK
call   send_char;
jmp    m2                ; next record

n8:
jnb    LT0F, m3         ; poll until timer times out

n9:
                        ; timer timed out or upload cancelled

```





```
call hang_up      ; break the connection
clr  ETO          ; disable timer 0 interrupt
jmp  m1           ; return controller to idle
```

erial_int:

Process serial interrupt. Interrupts due to transmit done are cleared and ignored. If interrupt is due to receive data ready, check for a modem connect code, and set the connect flag.

The procedure includes code for identifying both single- and double-character connect codes, but both may not be active simultaneously. The code for identifying double-character connect codes is dependent on the receive baud rate.

Serial interrupts are enabled elsewhere.

```
clr  F0           ; clear connect flag
clr  TI           ; clear transmit interrupt flag
jnb  RI, si2      ; exit if not receive data ready
mov  a, SBUF      ; get character into accumulator
mov  c, p         ; carry set for odd parity (error)
jc   si1         ; ignore char if parity error
; Test for single-character 1200-baud connect code.
anl  a, #7fh     ; strip off parity (eighth) bit
cjne a, #CONNECT_1200, si1 ; ignore char if wrong code
; Test for double-character 9600-baud connect code.
anl  a, #7fh     ; strip off parity (eighth) bit
cjne a, #(HIGH CONNECT_9600), si1; ignore wrong char
clr  RI          ; reset receive flag
mov  a, #2       ; expect next char in about 1 ms
call delay_ms    ; wait for next char
jnb  RI, si2      ; exit if not receive data ready
mov  a, SBUF      ; get character into accumulator
mov  c, p         ; carry set for odd parity (error)
jc   si1         ; ignore char if parity error
anl  a, #7fh     ; strip off parity (eighth) bit
cjne a, #(LOW CONNECT_9600), si1; ignore wrong char
setb F0          ; set connect flag
1:
clr  RI          ; reset receive flag
2:
reti
```

er_int:

Process Timer Zero interrupt, which occurs about every 65.5 ms.

Each long timer count is decremented if its overflow flag is clear.

When a long timer count reaches zero, its overflow flag is set.

Counts are reloaded and overflow flags are reset elsewhere.

```

push  psw          ; save flags
setb  RS0          ; select register bank one
jb    LT0F, ti2    ; skip if long timer 0 overflow set
cjne  It0_lo, #0, ti1 ; test low byte
dec   It0_hi       ; low byte is zero, borrow from high

1:
djnz  It0_lo, ti2  ; dec low byte, skip if not zero
cjne  It0_hi, #0, ti2 ; low byte is zero, test high byte
      ; both bytes equal zero
setb  LT0F        ; set overflow flag

2:
jb    LT1F, ti3    ; skip if long timer 1 overflow set
djnz  It1, TI3     ; decrement count and skip if not zero
setb  LT1F        ; count is zero, set overflow flag

3:
pop   psw         ; restore flags and reg bank zero
reti

```

alize:

Initialize controller registers and I/O lines.

```

mov   PCON, #0    ; initialize power control register
mov   IE, #0      ; deactivate all interrupts
mov   SCON, #01000000b; serial port mode 1
mov   TMOD, #00100001b; timer 1 8-bit auto-reload,
      ; timer 0 16-bit
mov   TH1, #BAUD_1200 ; timer 1 reload value
mov   TH1, #BAUD_9600 ; timer 1 reload value
mov   TCON, #01000000b; start timer 1
mov   TLO, #0     ; set timer 0 to max count
mov   TH0, #0     ;
setb  TR0        ; start timer 0
setb  REN        ; enable serial reception
setb  EA        ; global interrupt enable
; Initialize I/O lines.
setb  DTR_
setb  SHUTDN_
setb  MISO
setb  MOSI
clr   SCK
clr   RST        ; remove reset from target
ret

```





odem_init:

; Reset and initialize the modem.

; Return with carry set if modem fails to respond as expected.

```
clr    DTR_           ; assert DTR to talk to modem
```

; First must ensure that the modem is in command mode.

```
mov    a, #1          ; wait 1 second
```

```
call   delay_sec      ;
```

```
mov    dptr, #attn_cmd ; point to attention string
```

```
call   send_string    ; transmit string
```

```
mov    a, #1          ; wait 1 second
```

```
call   delay_sec      ;
```

; Reset modem, causing the switches to be read.

```
mov    dptr, #reset_cmd ; point to reset string
```

```
call   modem_cmd      ; transmit string
```

```
jc     nn1            ; jump on fail
```

```
mov    a, #1          ; wait 1 second before next command
```

```
call   delay_sec      ;
```

; Modem is powered up and on-line.

; Send required software parameters.

```
mov    dptr, #init_cmd ; point to init string
```

```
call   modem_cmd      ; transmit string
```

```
jnc    nn2            ; jump on pass
```

nn1:

; Modem is misbehaving, so deactivate it.

; The controller must be reset to exit this state.

```
setb   DTR_           ; deassert DTR to deactivate modem
```

nn2:

```
ret
```

hang_up:

; Force the modem to drop the line.

; First must return the modem to command mode.

```
mov    a, #1          ; wait 1 second
```

```
call   delay_sec      ;
```

```
mov    dptr, #attn_cmd ; point to attention string
```

```
call   send_string    ; transmit string
```

```
mov    a, #1          ; wait 1 second
```

```
call   delay_sec      ;
```

; Issue command to hang up.

```
mov    dptr, #hangup_cmd ; point to hang up string
```

```
call   modem_cmd      ; transmit string
```

```
jnc    hh             ; jump on pass
```

; The polite way didn't work, so drop DTR.

; The controller must be reset to exit this state.
 setb DTR_ ; force modem to drop the line

hh:

ret

odem_cmd:

; Transmit command string to modem and validate the response.
 ; Return with carry set if modem fails to respond as expected,
 ; or if excessive parity errors or receive timeouts occur.
 ; Valid responses consist of a byte code followed by a carriage
 ; return. Parity errors and timeouts cause the command to be
 ; resent. Expected delays for command responses are absorbed
 ; by GET_CHAR. On entry, DPTR must point to a null-terminated
 ; command string.

```

mm1:    push    b
        mov    b, #MTRIES    ; number of attempts

        call   send_string   ; transmit command string
        clr   RI             ; discard any waiting character

mm2:    call   get_char       ; receive result code
        jc    mm3           ; jump on parity error or timeout
        cjne  a, #OK, mm2    ; loop if response is not valid
        call   get_char       ; receive carriage return
        jc    mm3           ; jump on parity error or timeout
        cjne  a, #CR, mm2    ; loop if response is not valid
                                ; valid response complete
        clr   c              ; clear error flag
        jmp   mm4           ; return

mm3:    djnz  b, mm1         ; resend command
        setb  c              ; out of retries, set error flag

mm4:    pop    b
        ret
  
```

nd_string:

; Transmit string pointed to by DPTR.
 ; String may be of any length, but must be null-terminated.

```

push    acc
push    dpl
push    dph
  
```





ss1:

```
clr    a
movc  a, @a+dptr    ; get character
jz    ss2          ; check for terminator
call  send_char    ; send character
inc   dptr         ; point to next character
jmp   ss1
```

ss2:

```
pop   dph
pop   dpl
pop   acc
ret
```

nd_char:

Wait for transmitter to clear, add even parity bit to character in accumulator and transmit it. Does not wait for transmitter to clear before returning.

```
jnb   TI, $        ; wait here for transmitter to clear
clr   TI           ; clear transmit flag
push  acc          ; save char
movc, p            ; get parity bit
mov   acc.7, c     ; add parity bit to data
mov   SBUF, a      ; load character into transmitter
pop   acc          ; restore char
ret
```

_char:

Read a character from the serial port and check for even parity. Return the character in the accumulator with parity stripped off. The routine will wait for approximately 1 second before timing out. Return with carry set on parity error or timeout.

```
jb    RI, gc2      ; jump if char is waiting
call  init_longtimer1 ; start 1-second timer
```

1:

```
jb    RI, gc2      ; exit loop when char received
jnb   LT1F, gc1    ; loop until timer times out
setbc                ; set error flag
jmp   gc3          ; return
```

2:

```
mov   a, SBUF      ; get character into accumulator
mov   c, p         ; carry set for odd parity (error)
and   a, #7fh      ; strip off parity (eighth) bit
```

```

gc3:      clr    RI            ; reset receive flag
          ret

```

t_byte:

Read two hexadecimal ASCII characters from the serial port and return their binary equivalent in the accumulator. Return with carry set if either character was invalid or contained a parity error.

```

          call   get_char    ; get first char from serial port
          jc    gb          ; exit on parity error
          call   ascii2bin   ; convert hex to binary
          jc    gb          ; exit on invalid char
          swap  a           ; first hex digit times 16
          mov   b, a        ; save value
          call   get_char    ; get second char from serial port
          jc    gb          ; exit on parity error
          call   ascii2bin   ; convert hex to binary
          jc    gb          ; exit on invalid char
          orl   a, b        ; combined binary equivalent
          ret

```

ci2bin:

Convert hexadecimal digit in the accumulator to its binary equivalent and return it in the accumulator. Valid hex digits are 0..9 and A..F (upper case only). Return with carry set if the character received is not a valid hex digit.

```

          mov   temp, a     ; save char
          clr   c           ; prepare for subtraction
          subb  a, #'9'+1   ; compare to '9'
          jnc  a1          ; jump if char above '9'
          mov   a, temp     ; get original char
          clr   c           ; prepare for subtraction
          subb  a, #'0'     ; compare to '0'
          jmp  a4          ; return error if char below '0'
                          ; else binary value in accumulator

          mov   a, temp     ; get original char
          subb  a, #'F'+1   ; compare to 'F'
          cpl   c           ; invert error flag
          jc    a4          ; return error if char is above 'F'

```





```
mov a, temp ; get original char
subb a, #'A' ; compare to 'A'
jc a4 ; return error if char is below 'A'

add a, #10 ; adjust binary value

ret
```

cord:

and dissect record. Two record types are accepted: data and
-of-file. If the record type is data, the appropriate values
extracted and stored. If the record type and checksum are
d, the carry bit is cleared and the record type is returned
the accumulator. Return with carry set to signal an invalid
ord type, checksum error, or other problem. Errors returned
outine GET_BYTE (invalid char or parity) cause an immediate
m with carry set.

```
mov chksum, #0 ; clear running checksum
call get_byte ; get record data length field
jc rr4 ; jump on error
mov data_len, a ; save data length
clr c ; prepare for subtraction
subb a, #(16+1) ; data length limited to 16 bytes
jnc rr4 ; jump if max size exceeded
call get_byte ; get high byte of load address field
jc rr4 ; jump on error
mov laddr_hi, a ; save it
call get_byte ; get low byte of load address field
jc rr4 ; jump on error
mov laddr_lo, a ; save it
call get_byte ; get record type field
jc rr4 ; jump on error
mov rec_type, a ; save type
cjne a, #0, rr2 ; jump if not type zero (data)
; Process data in data type record.
mov index, #data_buf ; pointer to data buffer
mov kount, data_len ; byte counter

call get_byte ; get data from serial port
jc rr4 ; jump on error
mov @index, a ; save data in buffer
add a, chksum ; update checksum
```

```

mov   chksum, a           ;
inc   index              ; point to next location
djnz  kount, rr1        ; decrement byte count and loop
jmp   rr3                ; done with data, do checksum

```

```

r2:   mov   a, rec_type    ; get record type
      cjne a, #1, rr4     ; jump if not type one (end-of-file)

```

```

r3:   ; Process checksum.
      call  get_byte      ; get record checksum
      jc   rr4           ; jump on error
      add  a, chksum     ; update running checksum
      add  a, data_len   ;
      add  a, laddr_lo   ;
      add  a, laddr_hi   ;
      add  a, rec_type   ;
      jnz  rr4           ; jump if record checksum is not zero
      ; Discard CR/LF which terminates record.

```

```

      call  get_byte
      jc   rr4           ; jump on error
      call  get_byte
      jc   rr4           ; jump on error
      mov  a, rec_type   ; return record type in accumulator
      clr  c             ; no errors
      jmp  rr5           ; return

```

```

r4:   ; Error: data field too large, invalid type or bad checksum.
      setb c             ; set error flag

```

```

r5:   ret

```

e_record:

```

; Write the data extracted from the most recently received record
; into the target AT89S8252. Timing delays are enforced by software.
; This routine assumes that the target has already been prepared
; for programming. Returns nothing.

```

```

mov   r2, laddr_lo      ; save low byte of load address
mov   r3, laddr_hi      ; save high byte of load address
mov   a, r3             ; get high byte of load address
andl  a, #00011111b    ; isolate 5 bits
rl    a                 ; move 5 bits to top
rl    a                 ;
rl    a                 ;

```





```
ori    a, #WRITE_CODE ; specify code write function
mov    temp, a         ; save adjusted high byte
mov    index, #data_buf ; pointer to data buffer
mov    kount, data_len ; byte counter

p1:
mov    a, temp         ; send adjusted high byte of address
call   shout          ;
mov    a, r2           ; send low byte of address
call   shout          ;
mov    a, @index       ; send data from buffer
call   shout          ;
mov    a, #3           ; wait 3 ms
call   delay_ms
; Next address.
mov    a, r2           ; get low byte of address
add    a, #1           ; increment low byte
movr2, a               ; save incremented value
jnc    pp2             ; jump if no carry out of low byte
; carry out of low byte
mov    a, r3           ; get high byte of address
add    a, #1           ; increment high byte
mov    r3, a           ; save incremented value
andl   a, #00011111b  ; isolate 5 bits
rl     a               ; move 5 bits to top
rl     a               ;
rl     a               ;
ori    a, #WRITE_CODE ; specify code write function
mov    temp, a         ; save adjusted high byte

2:
; Next data.
inc    index          ; point to next buffer location
djnz   kount, pp1     ; decrement byte count and loop
ret
```

y_record:

Verify the data extracted from the latest record against that written into the target AT89S8252. Timing delays are enforced by software. This routine assumes that the target has already been prepared for programming. Return with carry set if verify fails.

```
mov    r2, laddr_lo    ; save low byte of load address
mov    r3, laddr_hi    ; save high byte of load address
mov    a, r3           ; get high byte of load address
andl   a, #00011111b  ; isolate 5 bits
```

```

rl    a                ; move 5 bits to top
rl    a                ;
rl    a                ;
orl   a, #READ_CODE  ; specify code read function
mov   temp, a         ; save adjusted high byte
mov   index, #data_buf ; pointer to data buffer
mov   kount, data_len ; byte counter

```

vv1:

```

mov   a, temp         ; send adjusted high byte of address
call  shout           ;
mov   a, r2           ; send low byte of address
call  shout           ;
; Read data and verify.
call  shin            ; read data
mov   b, @index       ; get record data
cjne  a, b, vv2       ; jump on verify fail
jmp   vv3             ; verify OK, do next address

```

vv2:

```

setb  c               ; set error flag
jmp   vv5             ; return

```

vv3:

```

; Next address.
mov   a, r2           ; get low byte of address
add   a, #1           ; increment low byte
mov   r2, a           ; save incremented value
jnc   vv4             ; jump if no carry out of low byte
; carry out of low byte
mov   a, r3           ; get high byte of address
add   a, #1           ; increment high byte
mov   r3, a           ; save incremented value
andl  a, #00011111b  ; isolate 5 bits
rl    a               ; move 5 bits to top
rl    a               ;
rl    a               ;
orl   a, #READ_CODE  ; specify code write function
mov   temp, a         ; save adjusted high byte

```

vv4:

```

; Next data.
inc   index           ; point to next buffer location
djnz  kount, vv1     ; decrement byte count and loop
clr   c               ; clear error flag

```

vv5:

```
ret
```





out:

; Shift out a byte, most significant bit first.
; SCK expected low on entry. Return with SCK low.
; Called with data to send in A.

```
    push    b
    mov     b, #8           ; bit counter
x42:   rlc     a             ; move bit into CY
    mov     MOSI, c        ; output bit
    nop                    ; enforce data setup
    nop                    ;
    setb    SCK            ; raise clock
    nop                    ; enforce SCK high
    nop                    ;
    nop                    ;
    nop                    ;
    clr     SCK            ; drop clock
    djnz   b, x42         ; next bit
    pop     b
    ret
```

in:

Shift in a byte, most significant bit first.
SCK expected low on entry. Return with SCK low.
Returns received data byte in A.

```
    push    b
    mov     b, #8           ; bit counter
x43:   setb    SCK            ; raise clock
    mov     c, MISO        ; input bit
    rlc     a             ; move bit into byte
    nop                    ; enforce SCK high
    nop                    ;
    clr     SCK            ; drop clock
    nop                    ; enforce SCK low
    nop                    ;
    djnz   b, x43         ; next bit
    pop     b
    ret
```

se_chip:

Erase target AT89S8252.

```

setb  RST           ; force target into reset
mov   a, #ERASE_1  ; send first byte of erase function
call  shout        ;
mov   a, #ERASE_2  ; send second byte
call  shout        ;
mov   a, #DUMMY    ; send third byte
call  shout        ;
mov   a, #10       ; wait 10 milliseconds
call  delay_ms     ;
clr   RST         ; remove reset from target
ret

```

shutdown:

; Force target to abandon execution of its internal program.

```

clr   SHUTDN_      ; notify target of impending reset
mov   a, #5        ; give target 5 ms to shut down
call  delay_ms     ;
setb  SHUTDN_      ; deassert interrupt
ret

```

t_pgm:

; Prepare the target AT89S8252 for programming.

```

setb  RST           ; force target into reset
mov   a, #1        ; wait 1 ms (arbitrary)
call  delay_ms     ;
; Enable writes to code and data memory.
mov   a, #ENABLE_1 ; send first byte of enable code
call  shout        ;
mov   a, #ENABLE_2 ; send second byte
call  shout        ;
mov   a, #DUMMY    ; send third byte
call  shout        ;
ret

```

ar_pgm:

; Allow target AT89S8252 to resume execution of its own program.

```

clr   RST         ; remove reset from target
ret

```

_longtimer0:

; Load and start long timer 0.





; System Timer 0 count loaded and interrupt enabled elsewhere.

```
setb  LT0F          ; disable counter
setb  RS0           ; select register bank one
mov   It0_lo, #0c8h ; load 30-second count
mov   It0_hi, #1    ;
clr   RS0           ; back to bank zero
clr   LT0F          ; enable counter
ret
```

t_longtimer1:

; Load and start long timer 1.

; System Timer Zero count loaded and interrupt enabled elsewhere.

```
setb  LT1F          ; disable counter
setb  RS0           ; select register bank one
mov   It1, #17      ; load 1-second count
clr   RS0           ; back to bank zero
clr   LT1F          ; enable counter
ret
```

lay_ms:

; Delay for 1 ms times the value in the accumulator.

```
push  acc
push  b
mov   b, #0
```

dd:

```
djnz  b, $          ; 500 us @ 12 MHz
djnz  b, $          ; 500 us @ 12 MHz
djnz  acc, dd
pop   b
pop   acc
ret
```

lay_sec:

; Delay for 1 s times the value in the accumulator.

```
push  acc
push  b
mov   b, a
```

ddd:

```
mov   a, #250
call  delay_ms; 250 ms
call  delay_ms; 500 ms
```

04

```
call    delay_ms; 750 ms
call    delay_ms; 1000 ms
djnz   b, ddd
pop     b
pop     acc
ret
```

```
END
```



Appendix 4: ASPECT Script for Procomm Plus

PROCOMM ASPECT script to read and transmit an Intel hex file.

The script does not set up communications parameters, initialize the modem, dial out or establish a connection with the receiver; this is done manually via the PROCOMM Connection Directory.

Each record in the hex file is terminated by a CRLF. The receiver is expected to respond with an ACK after each record is validated and programmed into the target processor. If the receiver cannot validate the record, it responds with a NAK. If the receiver cannot verify the record data after programming the target processor, it responds with CAN, which tells the transmitter to abort the upload. The transmitter waits 2 seconds between records for a response. If a response is not received in the allowed interval, or if the response is other than an ACK or a CAN, the record is retransmitted.

```
#define ACK          6          ; ^F
#define NAK          21         ; ^U
#define CAN          24         ; ^X
#define MAXRETRIES  4

proc main
string filename, record
integer retry, rxcodes
if !file filename ; get file name failed
exit
endif
if !file filename ; validate path and file name
if !fopen 0 filename read; open file for read
fgets 0 record; read record
else
errormsg "FILE OPEN FAILED"
exit
endif
else
errormsg "FILE DOES NOT EXIST"
exit
endif
set aspect rxdata on ; script processes receive data
while not feof 0 ; check for EOF
termwrites record ; show record
rxflush ; purge pending receive data
transmit record raw ; send record including CR/LF
comgetc rxcodes 2 ; wait max 2 seconds for answer
call show_rxcodes with rxcodes ; show received code
retry = 0 ; initialize counter
```

```
while (rxcode != ACK) && (retry < MAXRETRIES)
  if (rxcode == CAN); abort ordered by remote
    errmsg "UPLOAD ABORTED BY REMOTE"
    fclose 0; close file
    set aspect rxdata off
    exit
  endif
  termwrites "Resending record^M^J"
  termwrites record; show record
  rxflush                ; purge pending receive data
  transmit record raw    ; send record
  comgetc rxcode 2      ; get response
  call show_rxcode with rxcode; show received code
  ++retry                ; advance counter and try again
endwhile
if (rxcode != ACK)
  errmsg "EXCESSIVE RETRIES: UPLOAD ABORTED"
  fclose 0; close file
  set aspect rxdata off
  exit
endif
fgets 0 record; read next record
dwhile
  mwrites "End of file^M^J"
  close 0 ; close file
  set aspect rxdata off
  exit
proc
  show_rxcode
  ram integer rxcode
  mmsg "%#X`r`n", rxcode
  switch rxcode
  case -1
    termwrites "Timed out^M^J"
  endcase
  case ACK
    termwrites "Received ACK^M^J"
  endcase
  case NAK
    termwrites "Received NAK^M^J"
  endcase
  case CAN
    termwrites "Received CAN^M^J"
  endcase
```

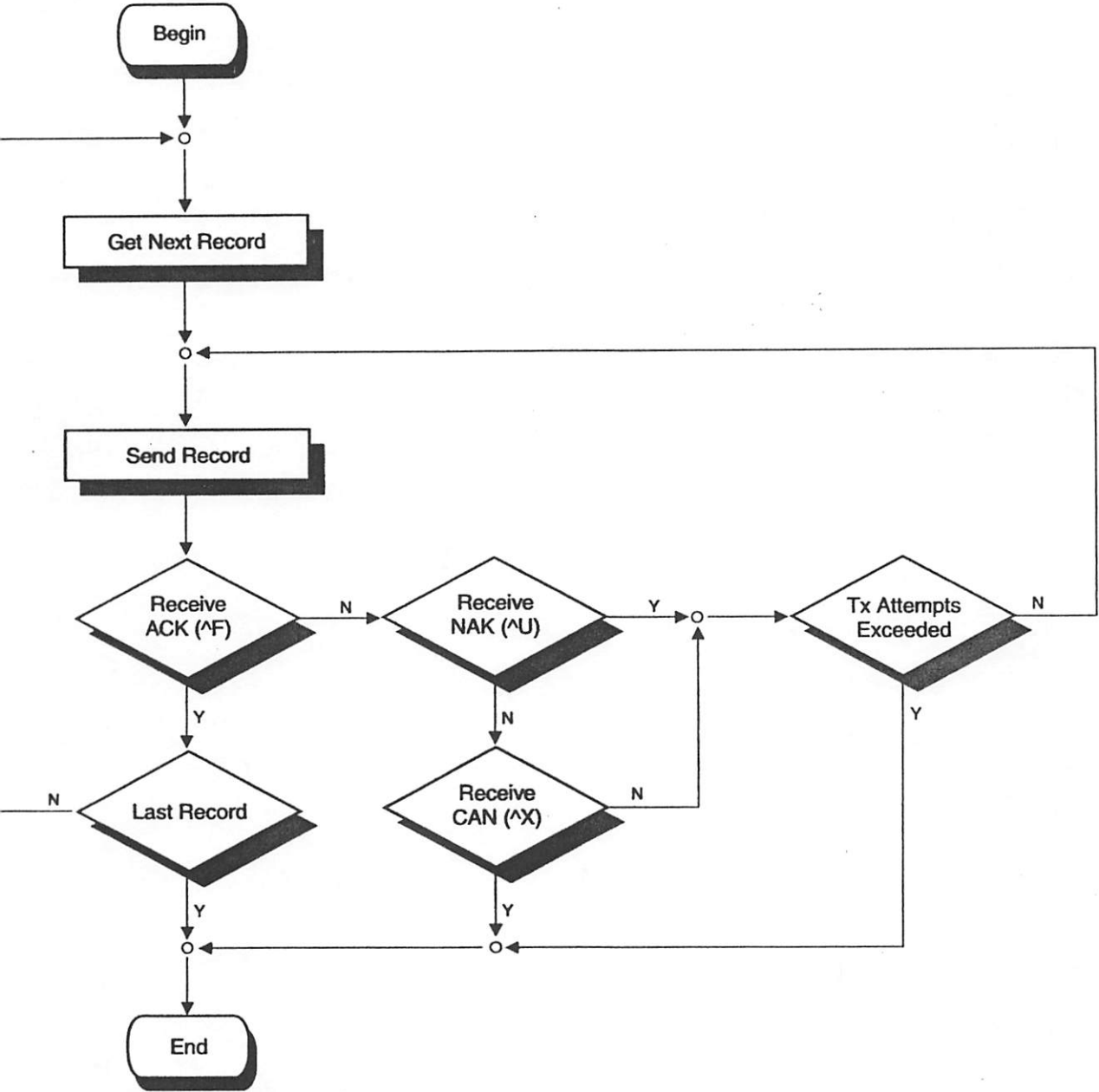




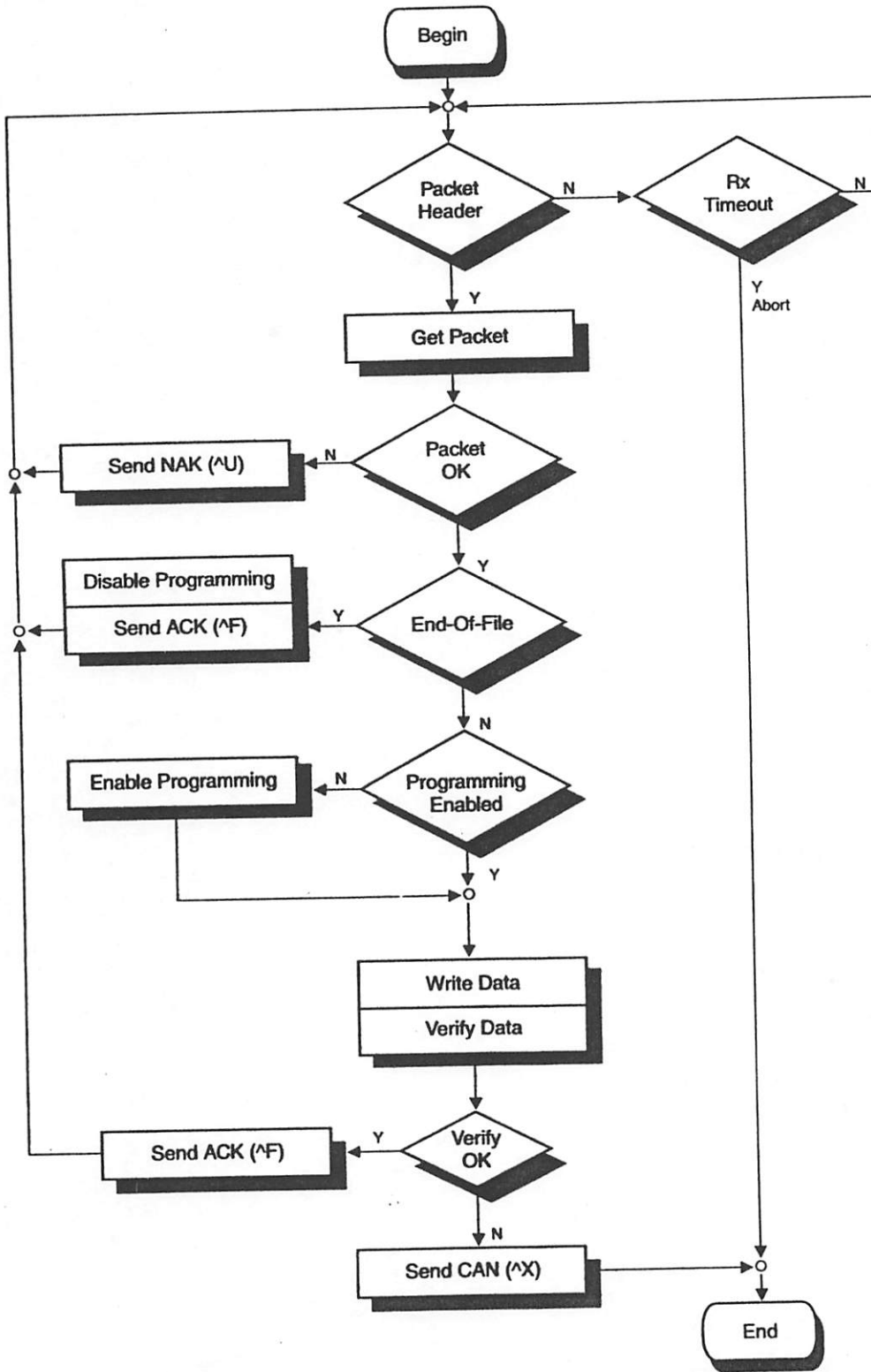
default
termwrites "Received garbage^M^J"
endcase
ndswitch
proc



Figure 4. FTP Transmit Mode



5. FTP Receive Mode



Prosedur Pengujian modul TLP / RLP

AN-03

Oleh: Tim Digiware

Untuk mengetahui bahwa modul RF tersebut bisa menerima atau mengirimkan data dengan baik, terlebih dahulu harus dilakukan suatu pengujian. Cara menguji modul RF biasanya hanya memberikan logika 1 atau 0 pada modul transmitter, kemudian sinyal tersebut diterima oleh modul penerima dan outputnya juga 1 atau 0 sesuai dengan logika yang dikirimkan. Pada modul – modul tertentu hal tersebut tidak dapat dilakukan, karena adanya batas kecepatan minimal di dalam pengiriman data.

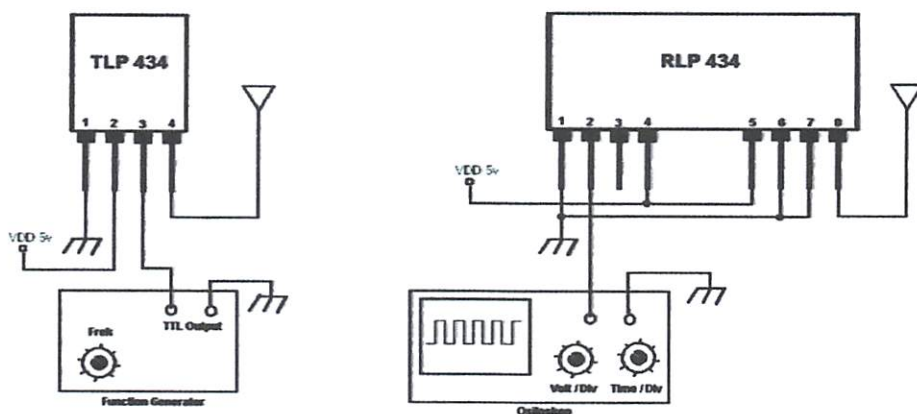
❖ **Macam – macam pengujian**

Modul yang akan dipakai sebagai contoh adalah TLP/RLP 434 dan 916 buatan Laipac. Modul ini tidak dapat diuji dengan cara memberikan logika 1 atau 0 saja, tetapi harus diberikan pulsa. Sumber pulsa bermacam – macam antara lain Function generator, Timer, dll. Di dalam artikel ini akan dilakukan pengujian dengan 2 cara yaitu menggunakan IC HT12E dan HT12D atau Osiloskop dengan Function generator. Apabila belum memiliki osiloskop dan function generator disarankan memakai IC HT12E, HT12D serta beberapa komponen tambahan. Kedua IC ini dibuat oleh Holtek dan sering dipasangkan pada modul RF tipe TLP/RLP 434 dan 916, sebagai contoh aplikasi pengiriman / penerimaan data.

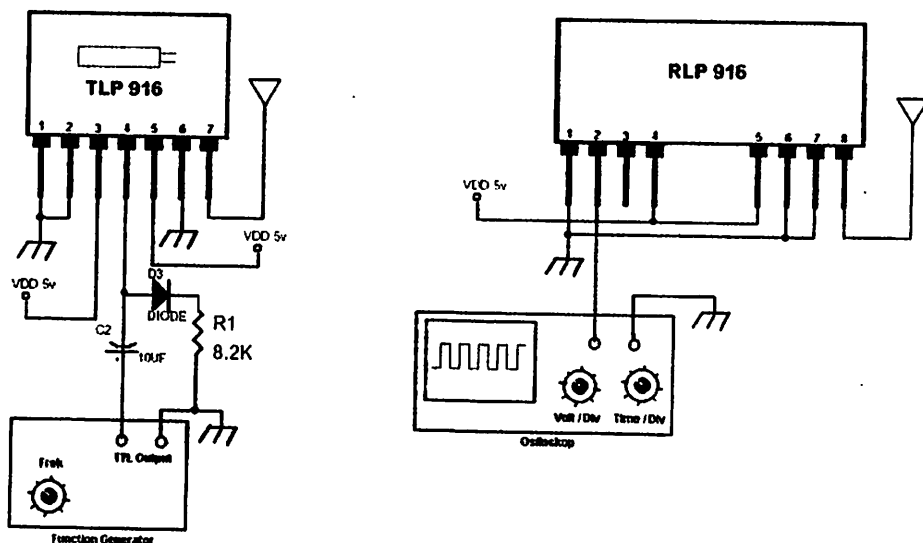
❖ **Prosedur Pengujian menggunakan Osiloskop**

Untuk melakukan pengujian terhadap modul ini menggunakan osiloskop dan Function generator, membutuhkan beberapa peralatan antara lain : Function generator, Osiloskop dan Power supply serta beberapa komponen tambahan khusus untuk tipe TLP916. Sedangkan tahap pengujian adalah sebagai berikut:

- Rangkai modul – modul tersebut seperti gambar di bawah.



Gambar 1 . Rangkaian untuk menguji TLP/RLP 434.



Gambar 2. Rangkaian untuk menguji TLP/RLP 916.

TLP 434	RLP 434
1. GND	1. GND
2. VCC	2. Digital Output
3. RF Output	3. Linier Output
4. Digital Data Input	4. VCC
	5. VCC
	6. GND
	7. GND
	8. Antenna (17cm)

TLP 916	RLP 916
1. DCL	1. GND
2. CHP	2. Digital Output
3. E	3. Linier Output
4. DTH	4. VCC
5. VCC	5. VCC
6. GND	6. GND
7. Antenna	7. GND
	8. Antenna (17 cm)

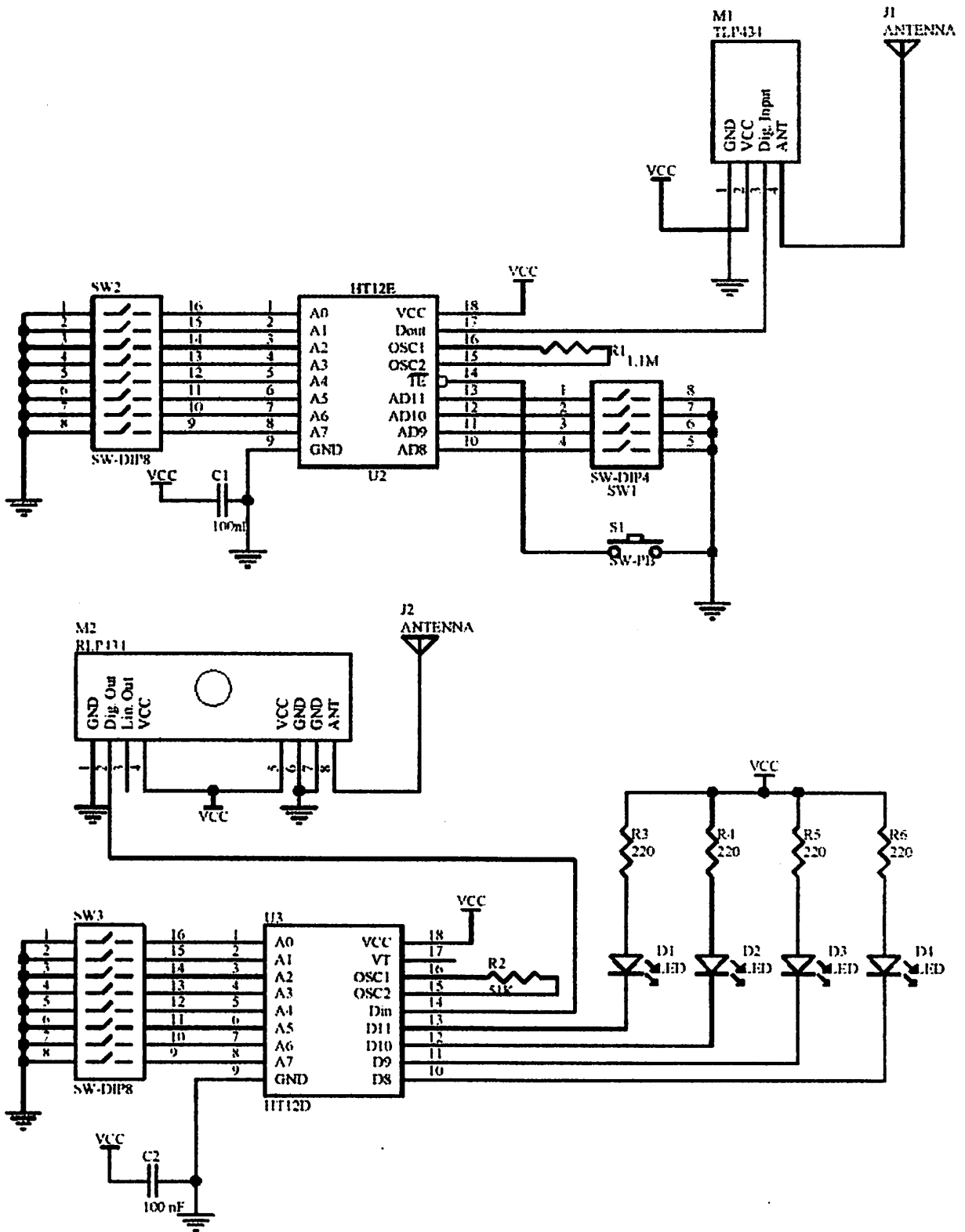
Tabel 1. Konfigurasi Pin TLP/RLP.

- Konfigurasi Function Generator anda dengan output TTL. (PERINGATAN: JANGAN MEMASUKKAN INPUT UNTUK MODUL TLP DENGAN SINYAL ANALOG KARENA MODUL DAPAT RUSAK).
- Atur frekuensi pada function generator dan lihat bentuk sinyal output pada RLP. Apabila bentuk sinyal output yang keluar pada RLP ikut berubah maka kedua modul tersebut masih baik.

❖ Prosedur Pengujian menggunakan IC HT12E dan HT12D

Pengujian dilakukan dengan cara merangkai IC HT12E dan HT12D seperti pada gambar 3. Cara untuk melakukan pengujian adalah sebagai berikut:

1. Masukkan Alamat yang sama pada HT12E dan HT12D dengan cara menggeser kedua DIP Switch kearah ground. Contoh: apabila alamat HT12E adalah 0 maka HT12D juga 0.
2. Kirimkan data dari HT12E dengan cara menggeser SW1 menuju ground.
3. Lalu tekan push button S1 pada HT12E. Jika modul RLP dan TLP bekerja maka D1 – D4 akan menyala sesuai dengan penggeseran SW1 yang terdapat pada HT12E.



Gambar 3. Rangkaian HT12x pada modul RF.

Prosedur Pengujian modul TLP / RLP

AN-03

Oleh: Tim Digiware

Untuk mengetahui bahwa modul RF tersebut bisa menerima atau mengirimkan data dengan baik, terlebih dahulu harus dilakukan suatu pengujian. Cara menguji modul RF biasanya hanya memberikan logika 1 atau 0 pada modul transmitter, kemudian sinyal tersebut diterima oleh modul penerima dan outputnya juga 1 atau 0 sesuai dengan logika yang dikirimkan. Pada modul – modul tertentu hal tersebut tidak dapat dilakukan, karena adanya batas kecepatan minimal di dalam pengiriman data.

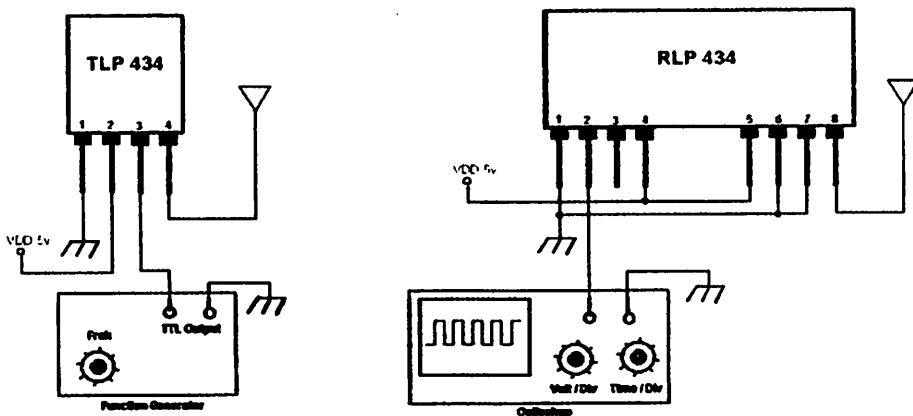
❖ **Macam – macam pengujian**

Modul yang akan dipakai sebagai contoh adalah TLP/RLP 434 dan 916 buatan Laipac. Modul ini tidak dapat diuji dengan cara memberikan logika 1 atau 0 saja, tetapi harus diberikan pulsa. Sumber pulsa bermacam – macam antara lain Function generator, Timer dll. Untuk melakukan pengujian dilakukan pengujian dengan 2 cara yaitu menggunakan IC 7412E dan 7412D atau menggunakan IC 7412E, 7412D serta beberapa komponen tambahan. Kedua IC ini dibuat oleh Holtek dan sering digunakan pada modul TLP/RLP 434 dan 916. Sedangkan untuk pengujian penerimaan / pengiriman data.

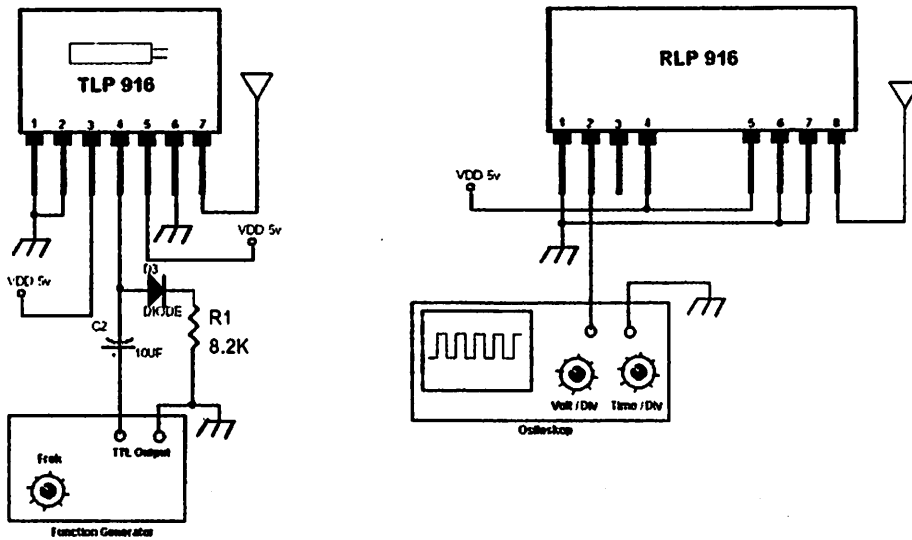
❖ **Prosedur Pengujian menggunakan Osiloskop**

Untuk melakukan pengujian terhadap modul ini menggunakan osiloskop dan Function generator, membutuhkan beberapa peralatan antara lain : Function generator, Osiloskop dan Power supply

- Rangkai modul – modul tersebut seperti gambar di bawah:



Gambar 1 . Rangkaian untuk menguji TLP/RLP 434.



Gambar 2. Rangkaian untuk menguji TLP/RLP 916.

TLP 434	RLP 434
1. GND	1. GND
2. VCC	2. Digital Output
3. RF Output	3. Linier Output
4. Digital Data Input	4. VCC
	5. VCC
	6. GND
	7. GND
	8. Antenna (17cm)

TLP 916	RLP 916
1. DCL	1. GND
2. CHP	2. Digital Output
3. E	3. Linier Output
4. DTH	4. VCC
5. VCC	5. VCC
6. GND	6. GND
7. Antenna	7. GND
	8. Antenna (17 cm)

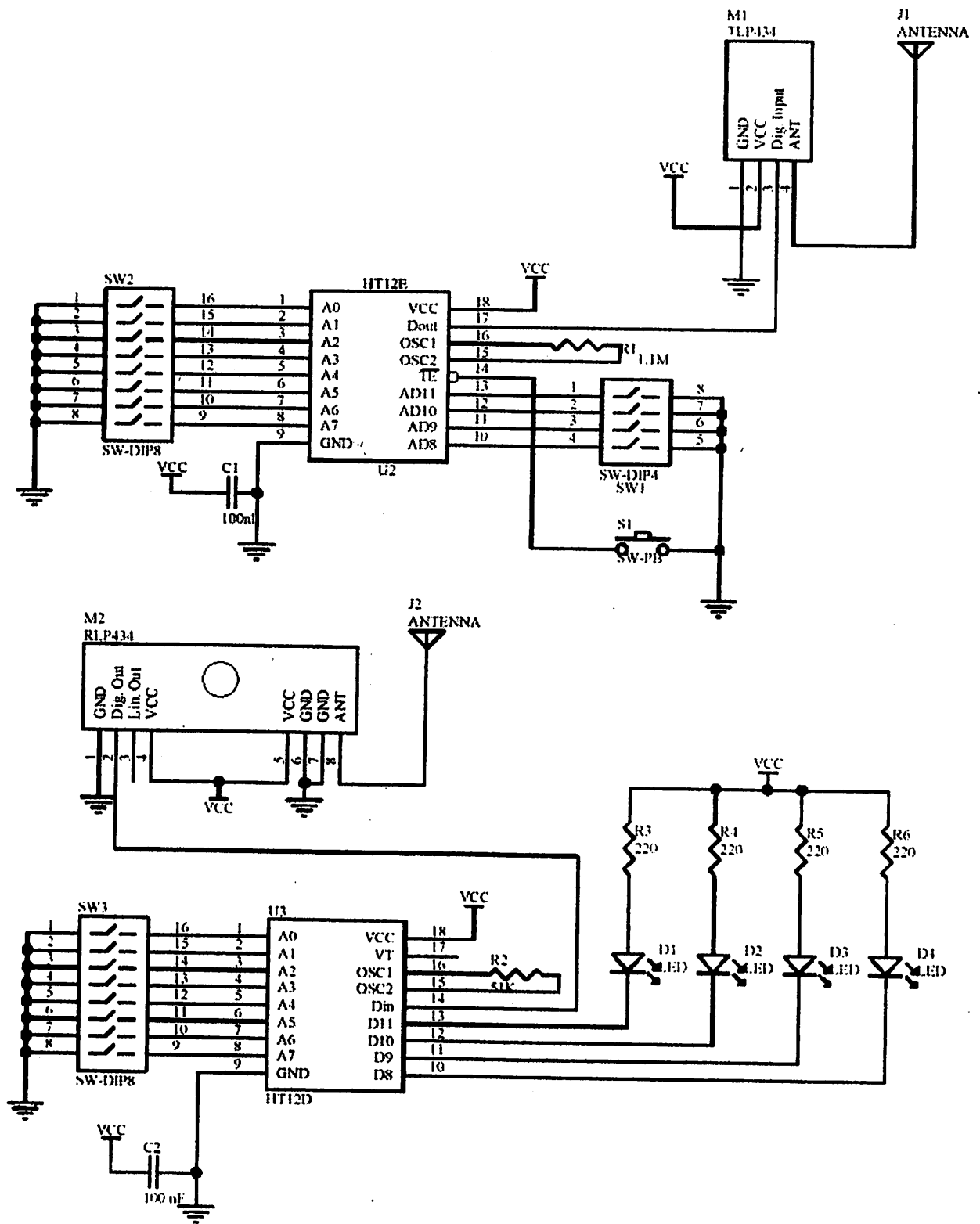
Tabel 1. Konfigurasi Pin TLP/RLP.

- Konfigurasi Function Generator anda dengan output TTL. (**PERINGATAN: JANGAN MEMASUKKAN INPUT UNTUK MODUL TLP DENGAN SINYAL ANALOG KARENA MODUL DAPAT RUSAK**).
- Atur frekuensi pada function generator dan lihat bentuk sinyal output pada RLP. Apabila bentuk sinyal output yang keluar pada RLP ikut berubah maka kedua modul tersebut masih baik.

◆ **Prosedur Pengujian menggunakan IC HT12E dan HT12D**

Pengujian dilakukan dengan cara merangkai IC HT12E dan HT12D seperti pada gambar 3. Cara untuk melakukan pengujian adalah sebagai berikut:

1. Masukkan Alamat yang sama pada HT12E dan HT12D dengan cara menggeser kedua DIP Switch kearah ground. Contoh: apabila alamat HT12E adalah 0 maka HT12D juga 0.
2. Kirimkan data dari HT12E dengan cara menggeser SW1 menuju ground.
3. Lalu tekan push button S1 pada HT12E. Jika modul RLP dan TLP bekerja maka D1 – D4 akan menyala sesuai dengan penggeseran SW1 yang terdapat pada HT12E.



Gambar 3. Rangkaian HT12x pada modul RF.

Wireless Serial With RF Module

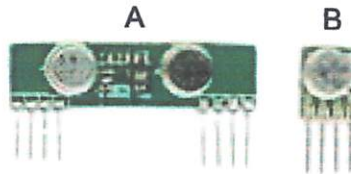
AN-04

Oleh: Tim Digiware dan Redi Yunianto K
(Universitas Katolik Widya Mandala)

Komunikasi data secara wireless (tanpa kabel) seringkali kita jumpai sehari – hari, terutama pada hal – hal yang berhubungan dengan komputer. Misalnya untuk wireless modem, mouse, keyboard, dll. Di dalam artikel ini akan dibahas mengenai cara penggunaan sebuah modul RF untuk komunikasi data secara wireless antara komputer dengan DT-51 MinSys. Modul RF yang digunakan adalah TLP-434A (Pemancar) dan RLP-434A (Penerima). Digunakannya TLP dan RLP 434A sebagai modul RF (Radio Frekuensi) pada artikel ini, selain kemampuannya di dalam pengiriman dan penerimaan data yang cukup baik, harganya tergolong relatif murah.

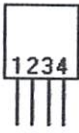
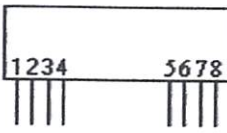
❖ **Pengenalan TLP-434A dan RLP-434A**

Modul RF buatan LAIPAC ini sering sekali digunakan sebagai alat untuk komunikasi data secara wireless menggunakan media udara. Biasanya kedua modul ini dihubungkan dengan mikrokontroler atau peralatan digital yang lainnya. Input masukan data adalah serial dengan level TTL (Transistor – Transistor Logic). Jarak pancar maksimum dari modul RF ini adalah 100 meter tanpa halangan dan 30 meter di dalam gedung. Ukuran ini dapat dipengaruhi oleh faktor antena, kebisingan, dan tegangan kerja dari pemancar. Panjang antena yang digunakan adalah 17 cm, dan terbuat dari kawat besi.



Bentuk fisik modul tampak depan.
RLP-434A (gb A) dan TLP-434 (gb B).

Untuk susunan kaki dari modul TLP dan RLP 434A dapat dilihat pada tabel di bawah:

 <p>modul tampak dari depan</p>	<p>Pin 1: GND Pin 2: Data In Pin 3: VCC Pin 4: Antenna (RF Output)</p>	 <p>modul tampak dari depan</p>	<p>Pin 1: GND Pin 2: Digital Data Output Pin 3: Linear Output / Test Pin 4: VCC Pin 5: VCC Pin 6: GND Pin 7: GND Pin 8: Antenna (RF Output)</p>
--	--	--	---

RANGE TESTING REPORT

by John Piskulic 6/25/00

PURPOSE:

To evaluate both range capability and noise immunity for several TX/RX pairs.

PROCEDURE:

All transmitters were powered from 12VDC and all receivers were powered from 5VDC. Three testing locations were chosen: field (open field with no structures with a 300' radius), shop1 (a commercial wood shop that had metal stud walls, tools, warehouse shelves), shop2 (home wood shop). Tests performed in shop2 were done with a minimum of 3 tools running to test for possible interference of AC motor generated RF noise. Range measurements are distances at which reception was on the border of being intermittent. Intermittent ranges could extend the apparent distance, however this was not considered for these tests. Shop 1 was limited to a maximum testable distance of 300'. If this distance was reached and reception was still good the word "MAX" appears in the table. Shop 2 had a maximum testable distance of 60'.

Transmitter	Description	Antenna
TX1	LC based	loop
TX2	TLP-315	8.9" whip
TX3	TLP-315	4" PC trace

Receiver	Description	Antenna
RX1	Micrel MICRF001 eval brd	8.9" whip
RX2	RLP-315	8.9" whip
RX3	RLP-315	11' PC trace

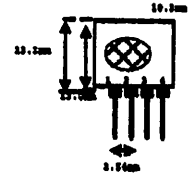
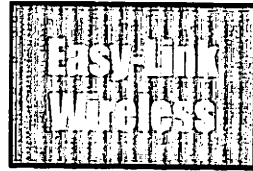
TRANSMITTER	RECEIVER	FIELD	SHOP1	SHOP2
TX1	RX1	144	125	max
TX2	"	330	max	max
TX3	"	138	130	max
TX1	RX2	405	max	max
TX2	"	500	max	max
TX2 w/ 5.6" whip	"	415	-	-
TX2 w/ 5" whip	"	405	-	-
TX2 w/ 3" whip	"	355	-	-
TX2 no whip	"	185	-	-
TX2 no whip	RX2 w/ 5.6" whip	159	-	-
TX3	RX2	350	max	max
TX1	RX3	320	max	max
TX2	RX3	340	max	max
TX3	RX3	300	max	max

CONCLUSION:

Product range goal is 100' indoors. All combinations passed this criteria. The Micrel MICRF001 required tuning in order to achieve best range for that receiver. The TLP and RLP modules did not seem to benefit from any tuning, but simply performed better with longer antennas.

RF ASK Hybrid Modules for Radio Control (New Version)

TLP434A Ultra Small Transmitter

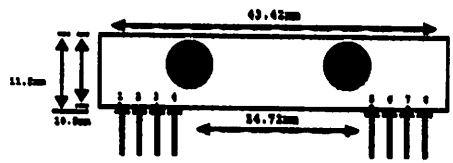


pin 1 : GND
 pin 2 : Data In
 pin 3 : Vcc
 pin 4 : Antenna (RF output)

Frequency 315, 418 and 433.92 Mhz

Modulation : ASK
 Operation Voltage : 2 - 12 VDC

RLP434A SAW Based Receiver



pin 1 : Gnd
 pin 2 : Digital Data Output
 pin 3 : Linear Output /Test
 pin 4 : Vcc
 pin 5 : Vcc
 pin 6 : Gnd
 pin 7 : Gnd
 pin 8 : Antenna

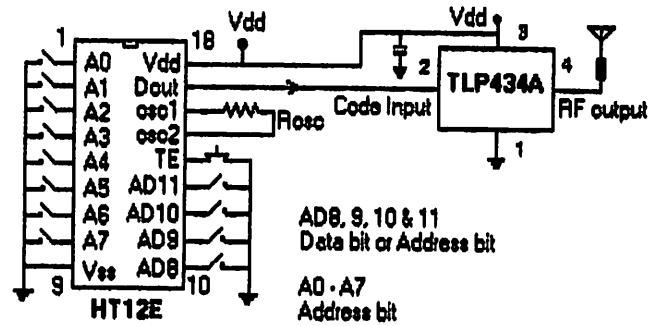
Frequency 315, 418 and 433.92 Mhz

Modulation : ASK
 Supply Voltage : 3.3 - 6.0 VDC
 Output : Digital & Linear

Symbol	Parameter	Conditions	Min	Typ	Max	Unit
Vcc	Operating supply voltage		2.0	-	12.0	V
Icc 1	Peak Current (2V)		-	-	1.64	mA
Icc 2	Peak Current (12V)		-	-	19.4	mA
Vh	Input High Voltage	Idata= 100uA (High)	Vcc-0.5	Vcc	Vcc+0.5	V
VI	Input Low Voltage	Idata= 0 uA (Low)	-	-	0.3	V
FO	Absolute Frequency	315Mhz module	314.8	315	315.2	MHz
PO	RF Output Power- 50ohm	Vcc = 9V-12V	-	16	-	dBm
		Vcc = 5V-6V	-	14	-	dBm
DR	Data Rate	External Encoding	512	4.8K	200K	bps

Notes : (Case Temperature = 25°C +/- 2°C , Test Load Impedance = 50 ohm)

Application Circuit :
 Typical Key-chain Transmitter using HT12E-18DIP, a Binary 12 bit Encoder from Holtek Semiconductor Inc.

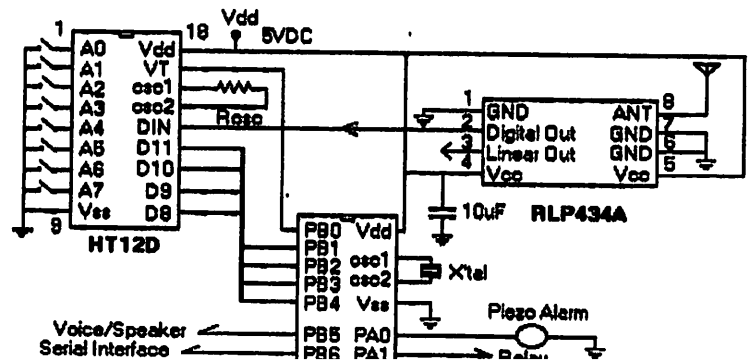


AD8, 9, 10 & 11
 Data bit or Address bit
 A0 - A7
 Address bit

Symbol	Parameter	Conditions	Min	Typ	Max	Unit
Vcc	Operating supply voltage		3.3	5.0V	6.0	V
Itot	Operating Current		-	4.5	-	mA
Vdata	Data Out	Idata = +200 uA (High)	Vcc-0.5	-	Vcc	V
		Idata = -10 uA (Low)	-	-	0.3	V

Electrical Characteristics					
Characteristics	SYM	Min	Typ	Max	Unit
Operation Radio Frequency	FC	315, 418 and 433.92			MHz
Sensitivity	Prof	-110			dBm
Channel Width		+500			Khz
Noise Equivalent BW		4			Khz
Receiver Turn On Time		5			ms
Operation Temperature	Top	-20	-	80	C
Baseboard Data Rate		4.8			KHz

Application Circuit :
 Typical RF Receiver using HT12D-18DIP, a Binary 12 bit Decoder with 8 bit uC HT48RXX from Holtek Semiconductor Inc.



Graph ?

